

การศึกษาอุณหภูมิและความหนาแน่นของพลาสมาระหว่างการใช้เชื้อเพลิง
แบบแข็งในเครื่องปฏิกรณ์นิวเคลียร์ฟิวชันแบบโทคาแมค



วิทยานิพนธ์นี้เป็นส่วนหนึ่งของการศึกษาตามหลักสูตร
ปริญญาวิทยาศาสตรมหาบัณฑิต สาขาวิชาฟิสิกส์
มหาวิทยาลัยทักษิณ



ใบรับรองวิทยานิพนธ์
ปริญญาวิทยาศาสตร์มหาบัณฑิต สาขาวิชาพิสิกส์
มหาวิทยาลัยทักษิณ

ชื่อวิทยานิพนธ์ : การศึกษาอุณหภูมิและความหนาแน่นของพลาสมาระหว่างการใช้เชือเพลิง
แบบแข็งในเครื่องปฏิกรณ์นิวเคลียร์ฟิวชันแบบโถกาเมค

ชื่อ - ชื่อสกุลผู้ทำวิทยานิพนธ์ : ว่าที่ร้อยตรีพลดกฤษณ์ คล้ายวิทกัทร

อาจารย์ที่ปรึกษาวิทยานิพนธ์

(อาจารย์ ดร. ประسن เกียรติคุณ)

ประธานที่ปรึกษา

(ผู้ช่วยศาสตราจารย์ ดร. นวัชชัย อ่อนจันทร์)

กรรมการที่ปรึกษา

(ดร. รพน พิชา)

กรรมการที่ปรึกษา

(ดร. รพน พิชา)

กรรมการ

คณะกรรมการสอบปากเปล่าวิทยานิพนธ์

(รองศาสตราจารย์ ดร. นิคม ชูศรี)

ประธานกรรมการ

(อาจารย์ ดร. ประسن เกียรติคุณ)

กรรมการ

(ผู้ช่วยศาสตราจารย์ ดร. นวัชชัย อ่อนจันทร์)

กรรมการ

(ดร. รพน พิชา)

กรรมการ

(อาจารย์ ดร. นพพร พูลยรัตน์)

กรรมการ

มหาวิทยาลัยทักษิณอนุมัติให้รับวิทยานิพนธ์ฉบับนี้ เป็นส่วนหนึ่งของการศึกษาตามหลักสูตร
ปริญญาวิทยาศาสตร์มหาบัณฑิต สาขาวิชาพิสิกส์ ของมหาวิทยาลัยทักษิณ

(รองศาสตราจารย์ ประดิษฐ์ มีสุข)

คณบดีบัณฑิตวิทยาลัย

วันที่ 11 เดือน มีนาคม พ.ศ. 2553

ลิขสิทธิ์ของมหาวิทยาลัยทักษิณ

ประกาศคุณปการ

การทำวิทยานิพนธ์ให้สำเร็จเป็นประสบการณ์ที่ทั้งเจ็บปวดและรื่นรมย์ มันเหมือนกับการปีนไปสู่ส่วนที่สูงที่สุดของยอดเขาทีละขั้น ซึ่งเต็มไปด้วยความเข้มข้นทุกช่วง ความยากลำบาก ความไม่พอใจ ความผิดหวัง ความท้าทาย ความเขื่องใจและการช่วยเหลือของผู้ใจดีมากmany เมื่อพบว่าตัวเองอยู่บนจุดสูงสุดของเห็นทิวทัศน์ที่สวยงาม ข้าพเจ้าครองหลักในสิ่งที่เกิดขึ้น โดยความจริงที่ว่า ด้วยการทำงานเป็นกลุ่มจึงสามารถทำให้ข้าพเจ้ามารู้สึกดี การที่จะส่งผ่านความชอบคุณในรูปของถ้อยคำสู่ทุกคนที่ช่วยเหลือข้าพเจ้าคงไม่เพียงพอที่จะทดแทนการช่วยเหลืออย่างจริงใจที่ทุกคนมีให้กับข้าพเจ้า แต่ข้าพเจ้าก็ยังคงประณีตที่จะส่งผ่านคำขอบคุณของข้าพเจ้าไปสู่ทุกๆคนที่ให้ความช่วยเหลือแก่ข้าพเจ้า

อันดับแรกของคำขอบคุณทั้งหมดขอมอบด้วยความจริงใจสู่อาจารย์ที่ปรึกษาของข้าพเจ้า อ.ดร.ประสงค์ เกษราธิคุณ และ พศ.ดร.รัชชัย อ่อนจันทร์ อาจารย์ที่ปรึกษาร่วมผู้ชี้แจงเสนอแนะและให้คำแนะนำเป็นอย่างมากในการทำวิทยานิพนธ์ เพื่อที่ข้าพเจ้าจะได้ดำเนินไปในแนวทางที่ถูกต้อง ข้าพเจ้าได้เรียนรู้วิธีการทำงานเป็นอย่างมากจากอาจารย์ทั้งสองท่าน โดยปราศจากการความช่วยเหลือของอาจารย์ทั้งสองท่าน วิทยานิพนธ์ฉบับนี้คงจะไม่สามารถสำเร็จลุล่วงลงไปได้

ขอส่งความขอบคุณอย่างพิเศษไปสู่อาจารย์ที่ปรึกษาร่วมอีกท่านหนึ่ง ดร.รพพน พิชา ซึ่งเป็นคนสำคัญคนหนึ่งในการจัดทำฐานการศึกษาให้ข้าพเจ้าภายใต้ความร่วมมือโครงการผลิตนักวิจัยของสำนักงานปลัดกระทรวงวิทยาศาสตร์และเทคโนโลยีและสถาบันเทคโนโลยีวิศวกรรมศาสตร์แห่งชาติ (องค์กรมหาชน) อีกทั้งยังช่วยเหลือข้าพเจ้าในการหาอาจารย์ที่ปรึกษาเมื่อข้าพเจ้าได้ตัดสินใจทำวิทยานิพนธ์เรื่องนี้ ดร.รพพน พิชา ช่วยเหลือข้าพเจ้าค่อนข้างมากในการใช้วิทยากรณ์ในวิทยานิพนธ์ของข้าพเจ้า และยังให้คำแนะนำในการปรับปรุงอีกหลายอย่างซึ่งคงจะไม่พอที่จะส่งผ่านความซึ้งใจทั้งหลายในรูปของคำขอบคุณด้วยถ้อยคำ

ข้าพเจ้าขอขอบคุณ ความช่วยเหลือและคำแนะนำของ รศ.ดร.นิคม ชูศิริ อาจารย์ผู้สอน ข้าพเจ้า เกี่ยวกับพื้นฐานของวิชาฟิสิกส์ กลศาสตร์ความตัน ฟิสิกส์เชิงสถิติ ซึ่งเป็นพื้นฐานที่สำคัญให้กับข้าพเจ้าในการทำวิทยานิพนธ์เรื่องนี้ ระหว่างที่ข้าพเจ้าทำงานวิจัยที่สถาบันเทคโนโลยีนานาชาติ สิรินธร พี่ยุทธ พี่ชาติ พี่ตัน น้อยปุ้ย น้องจิน และน้องฟัน ได้ช่วยเหลือข้าพเจ้าด้วยมิตรภาพที่จริงใจอย่างมาก และอาจารย์ ดร.นพพร พูลบัตรตน์ สำหรับเทคนิคในการใช้งานโปรแกรม MATLAB ขอขอบคุณในมิตรภาพที่จริงใจเหล่านี้

ข้าพเจ้าขอส่งผ่านความขอบคุณไปยังมหาวิทยาลัยเทคโนโลยีพระจอมเกล้าพระนครเหนือ มหาวิทยาลัยทักษิณ และมหาวิทยาลัยธรรมศาสตร์ สำหรับบรรยายกาศความเป็นอิสระในการทำงาน ทำให้ข้าพเจ้ามีสามารถในการทำงานวิจัยและเพื่อนๆ หลายคนที่ให้ความช่วยเหลืออย่างดีขอส่งผ่านคำขอบคุณนี้ไปสู่พากษา

ท้ายที่สุด แต่ไม่น้อยที่สุด ขอบคุณ คุณแม่ น้องสาว สุดที่รัก จากส่วนลึกของหัวใจ ความรัก และการสนับสนุนในทุกๆ อย่างที่ทำให้ข้าพเจ้าสามารถทำวิทยานิพนธ์ฉบับนี้เสร็จสมบูรณ์ลงได้ สำหรับแม่ ความเข้าใจและความรักของแม่เป็นแรงกระตุ้นให้ข้าพเจ้าทำงานวิจัยที่หนักได้อย่างต่อเนื่อง ความเด็ดเดี่ยวและเข้มแข็งของแม่เป็นตัวอย่างสำคัญที่ทำให้ข้าพเจ้าไม่เคยยอมแพ้และอุปสรรค แม่ยังคงแสดงให้ข้าพเจ้าเห็นอยู่เสมอว่าแม่ภูมิใจในตัวของข้าพเจ้า เป็นแรงจูงใจให้ข้าพเจ้าตั้งใจทำงานอย่างหนักเพื่อให้ได้งานที่ดี

พลกฤษณ์ คล้ายวิทวัท



บทคัดย่อ

ชื่อวิทยานิพนธ์ : การศึกษาผลกระทบของอุณหภูมิและความหนาแน่นของพลาสมาระหว่างการใช้เชื้อเพลิงแบบแข็งในเครื่องปฏิกรณ์นิวเคลียร์พิวชันแบบโตกามแมค

ชื่อ- ชื่อสกุลผู้ทำวิทยานิพนธ์ : ว่าที่ร้อยตรีพลกฤษณ์ กล้ายวิตกัทร

อาจารย์ที่ปรึกษาวิทยานิพนธ์ : อาจารย์ ดร. ประสงค์ เกษราธิคุณ

ผู้ช่วยศาสตราจารย์ ดร. ธรรมชาติ อ่อนจันทร์
ดร. รพน พิชา

ปริญญาและสาขาวิชา : ปริญญาวิทยาศาสตรมหาบัณฑิต สาขาวิชาฟิสิกส์

ปีการศึกษาที่สำเร็จ : 2552

การศึกษาผลกระทบของอุณหภูมิและความหนาแน่นของพลาสมาระหว่างการใช้เชื้อเพลิงแบบแข็งในเครื่องปฏิกรณ์นิวเคลียร์พิวชันแบบโตกามแมค ทำการศึกษาผ่านการคำนวณด้วยระบบเบียนวิธีเชิงตัวเลขของแบบจำลองการเสียดกร่อนสองรูปแบบ แบบจำลองแรกคือแบบจำลองการเสียดกร่อนแบบปกคลุมด้วยก้าชที่เป็นกลาง ซึ่งได้รับการพัฒนา สำหรับเม็ดเชื้อเพลิงแข็งที่เป็นไอโซโทปของไฮโตรเจน โดยสมมุติให้เกิดการเสียดกร่อนในสภาวะคงตัว ไม่มีคลื่นกระแทก มีการไหลแบบทราบโฉนด และสมมาตรเชิงทรงกลม ทั้งพลังงานที่เข้ามากระทบและการขยายของกลุ่มหมอกที่ปักกลุ่มระบบสำหรับการขยายตัวในการเสียดกร่อน อีกแบบจำลองหนึ่งคือแบบจำลองแบบปกคลุมด้วยก้าชที่เป็นกลางและพลาสม่า ซึ่งได้รวมเอาการคำนวณเกี่ยวกับสนามแม่เหล็ก และส่วนของสารเสียดกร่อนที่ถูกไอออกไอน้ำคำนวณด้วย โดยการขยายแบบสมมาตรเชิงทรงกลม ถูกแทนที่โดยแบบจำลองที่ประกอบด้วยส่วนที่เป็นการไหลในท่อ แต่อัตราการเสียดกร่อนยังคำนวณอยู่บนพื้นฐานของการขยายแบบสมมาตรของทรงกลม (การขยายแบบสมมาตรเชิงทรงกลมวางแผนอยู่ในท่อที่รักษาเส้นผ่านศูนย์กลาง) ผลของสนามแม่เหล็กทำให้สารที่เสียดกร่อนที่ถูกไอออกไอน้ำคำนวณที่ปักกลุ่มเม็ดเชื้อเพลิงอีกหนึ่งชั้น โดยการแปรค่าขนาดและความเร็วของเม็ดเชื้อเพลิงแข็ง อุณหภูมิและความหนาแน่นของพลาสม่าได้รับการศึกษาผ่านการจำลองแบบ ผลที่ได้มีแนวโน้มไปในทางเดียวกันทั้งการแปรค่าขนาดและความเร็วของเม็ดเชื้อเพลิง เมื่อขนาดของเม็ดเชื้อเพลิงเพิ่มขึ้นหลังจากการยิงเม็ดเชื้อเพลิงเข้าไป ความหนาแน่นของพลาสม่าอิเล็กตรอนจะเพิ่มขึ้น และเมื่อเพิ่มความเร็วในการยิงเชื้อเพลิงแข็ง เม็ดเชื้อเพลิงแข็งสามารถเข้าไปในท่อที่ถูกยิงขึ้น เนื่องจากพลังงานจลน์ที่เพิ่มขึ้น ในทางตรงกันข้าม อุณหภูมิของพลาสม่าอิเล็กตรอนจะลดลงหลังจากการยิงเม็ดเชื้อเพลิงแข็งเข้าไป เนื่อง

อุณหภูมิที่ต่ำของเม็ดเชื้อเพลิง แห่งนี้ แต่อย่างไรก็ตามแบบจำลองทั้งสองมีความแตกต่างกันในส่วนของโปรไฟล์ของอัตราการเสียดกร่อนและระยะการหลุดละลายของเม็ดเชื้อเพลิงแห่งนี้ โดยสรุป ผลจากการจำลองแบบผ่าน แบบจำลองทั้งสอง โดยการแปรค่าทั้งขนาดและความเร็วของเม็ดเชื้อเพลิง แสดงให้เห็นอย่างชัดเจนว่าการยิงเม็ดเชื้อเพลิงแห่งนี้ดีกว่าเรียม สามารถเพิ่มความหนาแน่นของพลาสนาให้เพิ่มขึ้น นั่นหมายถึงการเติมเชื้อเพลิงโดยการยิงเชื้อเพลิงแห่งนี้เข้าไปสามารถเพิ่มประสิทธิภาพของพลาสนาได้ ใน การปรับปรุงแบบจำลองในอนาคต ควรมีการเพิ่มผลกระทบของสนานแม่เหล็กและสนานไฟฟ้า $E \times B$ ที่ทำให้สารเสียดกร่อนเลื่อนตำแหน่งเข้าไปด้วย



Abstract

Thesis Title : A study of plasma temperature and density during pellet injection in
Tokamak

Student 's Name : Acting Sub Lt Ponkris Klaywittaphat

Advisory Committee : Dr. Prasong Kessaratikoon Advisor

Asst. Prof. Dr Thawatchai Onjun Co-Advisor

Dr. Roppon picha Co-Advisser

Degree and Program : Master of Science in Physics

Academic Year : 2009

A study of plasma temperature and density during pellet injection in a tokamak was conducted by using a numerical code for computing the ablation rate with two ablation models. The first is neutral gas shielding (NGS), which is developed for hydrogen isotope pellets by assuming steady state, shock-free transonic flow and spherical symmetry both for the energy flux affecting the pellet plus cloud system and for the expansion of the ablatant. The other model is the neutral gas plasma shielding (NGPS) models, in which the magnetic confinement of the ionized ablatant was taken into account, the spherical expansion models were replaced by models resembling linear channel flows, but the ablation rates were still calculated on the basis of the old spherically symmetric schemes (spherically ablating pellets placed in tubes of given diameters). Magnetic constriction of the ionized particles yields additional collision shielding. By varying sizes and velocities of the pellet, plasma temperature and density was studied from a simulations. The results of the two models agree well on the dependence of pellet size and velocity. When pellet size is increased the density of plasma electrons after pellet injection also increased when the pellet velocity is increased the pellet can penetrate deeply into a core plasma because of kinetic energy is increase. On the contrary temperature of plasma electrons is decrease due to a low temperature of pellet. The two ablation models give different ablation rate profile and pellet penetration. To summarize, the results of simulations conducted in two different ablation models at different pellet sizes and velocities definitely showed that the injection of deuterium pellets can increase plasma density which serve as an effective means to replenish the fuel particles and

improve the plasma performance. To improve the ablation model, an effect of $\vec{E} \times \vec{B}$ drift should be included in the future.



สารบัญ

| บทที่ | หน้า |
|---|------|
| 1 บทนำ | 1 |
| 1.1 พลังงานนิวเคลียร์แบบฟิวชันในสถานะของแหล่งพลังงานหลักแห่งอนาคต . | 1 |
| 1.2 พลังงานนิวเคลียร์ฟิวชัน | 4 |
| 1.3 วิธีการที่ใช้ในการควบคุมปฏิกรณ์นิวเคลียร์ฟิวชัน | 6 |
| 1.3.1 การกัดด้วยวิธีการทำงานแม่เหล็ก | 7 |
| 1.3.1.1 โตกาแมค | 7 |
| 1.3.1.2 สเตเดลาร์เตอร์ | 7 |
| 1.3.2 การหยอดแม่เหล็ก | 7 |
| 1.4 พัฒนาการของพลังงานนิวเคลียร์ฟิวชัน | 7 |
| 1.4.1 ความสำเร็จของการวิจัยเกี่ยวกับพลังงานนิวเคลียร์ฟิวชัน | 9 |
| 1.4.2 เครื่องปฏิกรณ์นิวเคลียร์ทดลองนานาชาติ (ITER) | 10 |
| 1.4.3 ช่วงเวลาหลังจาก ITER | 13 |
| 1.5 ระบบเชือกเพลิงของ ITER | 14 |
| 1.5.1 หน้าที่การทำงานต่างๆ ของระบบเชือกเพลิง | 14 |
| 1.6 ข้อมูลเบื้องต้นของระบบเติมเชือกเพลิงแห่งแรก | 16 |
| 1.6.1 ความต้องการพื้นฐานในการออกแบบระบบเติมเชือกเพลิง | 16 |
| 1.6.2 วิธีการทำตรีเตียมเยือกแข็ง | 16 |
| 1.6.3 เครื่องบีบอัดเชือกเพลิงแห่งแรก | 17 |
| 1.7 วัตถุประสงค์ของวิทยานิพนธ์ | 20 |
| 1.8 คุณค่าของวิทยานิพนธ์ | 20 |
| 2 เอกสารและงานวิจัยที่เกี่ยวข้อง | 21 |
| 2.1 บทนำ | 21 |
| 2.2 นิยามของพลาสma | 22 |
| 2.3 สมการของโบลมาනซ์ | 22 |
| 2.4 สมการของปีวชองส์ | 22 |
| 2.5 ความสัมพันธ์ของความหนาแน่นของ โบลมาනซ์ | 23 |
| 2.6 ความยาวเดอบายด์ | 23 |
| 2.7 สมการสถานะ | 24 |
| 2.8 สมการของแมกแวรล์ | 26 |
| 2.9 การแยกแข่งแบบ โบลมาනซ์ | 26 |
| 2.10 แบบจำลองการเสียดกร่อนของเชือกเพลิงแห่งแรก | 29 |
| 2.10.1 แบบจำลองการเสียดกร่อนแบบปกคลุมด้วยก๊าซที่เป็นกลาง | 29 |

สารบัญ (ต่อ)

| บทที่ | หน้า |
|--|------|
| 2.10.2 แบบจำลองการเสียดกร่อนแบบปกคลุมด้วยก้าชที่เป็นกลาง และพลาสma | 39 |
| 2.11 การทดสอบของเชื้อเพลิงแช่แข็ง | 48 |
| 2.12 โปรแกรมจำลองแบบในการทำนายผลแบบรวม | 52 |
| 2.12.1 โปรแกรม BALDUR | 53 |
| 3 วิธีดำเนินการวิจัย | 54 |
| 3.1 การจำลองแบบโดยแบบจำลองการเสียดกร่อนแบบปกคลุมด้วยก้าช ที่เป็นกลาง | 54 |
| 3.2 การจำลองแบบโดยแบบจำลองการเสียดกร่อนแบบปกคลุมด้วยก้าช ที่เป็นกลางและพลาสma | 55 |
| 4 ผลและการอภิปรายผล | 56 |
| 4.1 ผลและการอภิปรายผลการจำลองแบบจากการใช้แบบจำลองการเสียดกร่อน แบบ NGS | 56 |
| 4.1.1 เมริยนเทียบผลจากการจำลองแบบของแบบจำลอง NGS 2 รูปแบบ ... | 56 |
| 4.1.2 ผลการจำลองแบบโดยการแปรค่ารคมีของเชื้อเพลิงแช่แข็ง | 58 |
| 4.1.3 ผลการจำลองแบบโดยการแปรค่าความเร็วของเชื้อเพลิงแช่แข็ง | 59 |
| 4.1.4 ความสัมพันธ์ระหว่างรคมีของเชื้อเพลิงแช่แข็งขณะเติมเชื้อเพลิง และอัตราการเสียดกร่อนแบบจำลองของปาร์คโดยการแปรค่าขนาด และความเร็วของเชื้อเพลิงแช่แข็ง | 60 |
| 4.2 ผลและการอภิปรายผลการจำลองแบบโดยใช้แบบจำลองการเสียดกร่อน แบบ NGPS | 62 |
| 4.2.1 ผลการจำลองแบบโดยการแปรค่ารคมีของเชื้อเพลิงแช่แข็ง | 62 |
| 4.2.2 ผลการจำลองแบบโดยการแปรค่าความเร็วของเชื้อเพลิงแช่แข็ง | 62 |
| 5 สรุปและข้อเสนอแนะ | 65 |
| 5.1 ผลกระทบของขนาดและความเร็วของเชื้อเพลิงแช่แข็งที่มีต่อแบบจำลอง ... | 65 |
| 5.2 การทดสอบของรคและรูปร่างของไฟล์อัตราการเสียดกร่อน ที่มีต่อแบบจำลอง | 65 |
| บรรณานุกรม | 68 |
| ประวัติย่อผู้วิจัย | 72 |

สารบัญตาราง

| ตารางที่ | หน้า |
|--|------|
| 1.1 แหล่งพลังงานตามแหล่งที่มาซึ่งใช้ในการผลิตไฟฟ้าของโลก | 3 |
| 1.2 พารามิเตอร์หลักและขนาดของ ITER | 11 |
| 1.3 ความท้าทายหลักที่สามารถทำให้สำเร็จด้วยเครื่อง ITER | 12 |
| 2.1 แสดงค่ายกกำลังที่ได้ของ ความหนาแน่นอุณหภูมิ และรัศมีสำหรับ แบบจำลอง NGS และ แบบจำลอง NGPS | 47 |
| 4.1 ความสัมพันธ์ระหว่างรัศมีของเชื้อเพลิงแข็งและความหนาแน่นอิเล็กตรอน สูงสุดขณะที่เชื้อเพลิงแข็งมีความเร็วคงที่ | 61 |
| 4.2 ความสัมพันธ์ระหว่างรัศมีของเชื้อเพลิงแข็งและความหนาแน่นอิเล็กตรอน สูงสุดขณะที่เชื้อเพลิงแข็งมีรัศมีคงที่ | 61 |



สารบัญภาพประกอบ

| ภาพที่ | หน้า |
|---|------|
| 1.1 การเพิ่มขึ้นของประชากรโลกตามข้อมูลขององค์การสหประชาติ | 1 |
| 1.2 การเพิ่มขึ้นของความเข้มข้นของ CO_2 ในชั้นบรรยากาศ | 2 |
| 1.3 ภาพแสดงการลดลงของปริมาณน้ำมันที่สามารถได้ | 3 |
| 1.4 แผนภาพแสดงปฎิกริยาอนิวเคลียร์แบบฟิวชันและนิวเคลียร์ฟิวชัน | 4 |
| 1.5 การเกิดปฎิกริยาอนิวเคลียร์ฟิวชัน | 5 |
| 1.6 การเกิดปฎิกริยาอนิวเคลียร์ฟิวชัน | 9 |
| 1.7 แผนภาพแสดงเครื่องปฏิกรณ์นิวเคลียร์ฟิวชันแบบสเตล่าเตอร์ | 9 |
| 1.8 พัฒนาการของเครื่องปฏิกรณ์นิวเคลียร์แบบฟิวชันเปรียบเทียบกับการ เติบโตของความสามารถในระบบการประมวลผลของคอมพิวเตอร์ | 10 |
| 1.9 แผนภาพแสดงส่วนประกอบหลักของ ITER | 11 |
| 1.10 แผนกลยุทธ์สู่การเป็นเครื่องปฏิกรณ์นิวเคลียร์ฟิวชันในเชิงพาณิชย์ | 13 |
| 1.11 ระบบเชือกเลิกของ ITER | 14 |
| 1.12 แสดงแผนผังการวางท่อที่ใช้การเติมเชือกเลิกแข็ง (1) | 15 |
| 1.13 แสดงแผนผังการวางท่อที่ใช้การเติมเชือกเลิกแข็ง (2) | 15 |
| 1.14 สรุปใช้ในการนับอัดเชือกเลิกแข็ง | 17 |
| 1.15 เครื่องนับอัดเชือกเลิกแข็ง | 18 |
| 1.16 การทดสอบเครื่องนับอัดสำหรับทำเชือกเลิกแข็ง | 18 |
| 1.17 สรุปสำหรับทำเครื่องนับอัดเชือกเลิกแข็ง | 19 |
| 1.18 แผนภาพแสดงระบบนิวแมติกของเครื่องยิงเชือกเลิกแข็ง | 19 |
| 2.1 แผนภาพแสดงแบบจำลอง NGS กระบวนการเสียดกร่อนและรูปร่าง | 29 |
| 2.2 แผนภาพแสดงแบบจำลอง NPGS กระบวนการเสียดกร่อนและรูปร่าง | 39 |
| 2.3 แสดงถึงค่าที่คำนวณได้จากแบบจำลอง NGPS เปรียบเทียบกับค่าจาก การทดลอง | 45 |
| 2.4 แผนภาพแสดงการทำงานของโปรแกรมจำลองแบบในการทำนายผล แบบรวม | 52 |
| 4.1 การเปรียบเทียบอัตราการเสียดกร่อนของแบบจำลอง NGS ของปาร์ค และคุณทิฟ | 56 |
| 4.2 ผลกระทบของรัศมีของเชือกเลิกแข็งที่มีต่อความหนาแน่นของพลาสม่า อิเล็กตรอนจากการจำลองแบบโดยใช้แบบจำลอง NGS ของปาร์ค | 58 |
| 4.3 ผลกระทบของรัศมีของเชือกเลิกแข็งที่มีต่ออุณหภูมิของพลาสม่า อิเล็กตรอนจากการจำลองแบบโดยใช้แบบจำลอง NGS ของปาร์ค | 58 |

สารบัญภาพประกอบ (ต่อ)

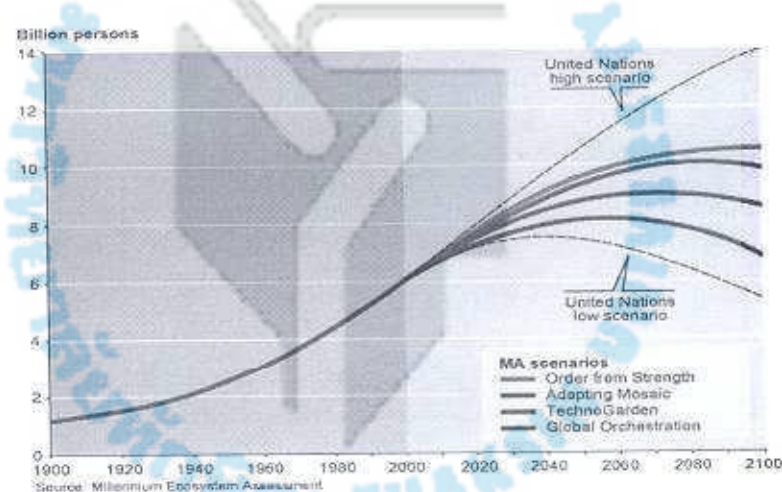
| ภาพที่ | หน้า |
|---|------|
| 4.4 ผลกระทบของความเร็วของเชือเพลิงแซ่เบ็งที่มีต่อความหนาแน่นของพลาสม่าอิเล็กตรอนจากการจำลองแบบโดยใช้แบบจำลอง NGS ของปาร์ค | 59 |
| 4.5 ผลกระทบของความเร็วของเชือเพลิงแซ่เบ็งที่มีต่ออุณหภูมิของพลาสม่าอิเล็กตรอนจากการจำลองแบบโดยใช้แบบจำลอง NGS ของปาร์ค | 59 |
| 4.6 กราฟแสดงความสัมพันธ์ระหว่างรัศมีของเชือเพลิงแซ่เบ็งและอัตราการเสียดกร่อนสูงสุด ระหว่างเคลื่อนที่ผ่านรัศมีร่องของโตกาเมค | 60 |
| 4.7 ผลกระทบของรัศมีของเชือเพลิงแซ่เบ็งที่มีต่อความหนาแน่นของพลาสม่าอิเล็กตรอนจากการจำลองแบบโดยใช้แบบจำลอง NGPS | 63 |
| 4.8 ผลกระทบของรัศมีของเชือเพลิงแซ่เบ็งที่มีต่ออุณหภูมิของพลาสม่าอิเล็กตรอนจากการจำลองแบบโดยใช้แบบจำลอง NGPS | 63 |
| 4.9 ผลกระทบของความเร็วของเชือเพลิงแซ่เบ็งที่มีต่อความหนาแน่นของพลาสม่าอิเล็กตรอนจากการจำลองแบบโดยใช้แบบจำลอง NGPS | 64 |
| 4.10 ผลกระทบของความเร็วของเชือเพลิงแซ่เบ็งที่มีต่ออุณหภูมิของพลาสม่าอิเล็กตรอนจากการจำลองแบบโดยใช้แบบจำลอง NGPS | 64 |
| 5.1 ผลของการเสียดกร่อนจากการจำลองแบบและการทดลอง | 66 |

บทที่ 1

บทนำ

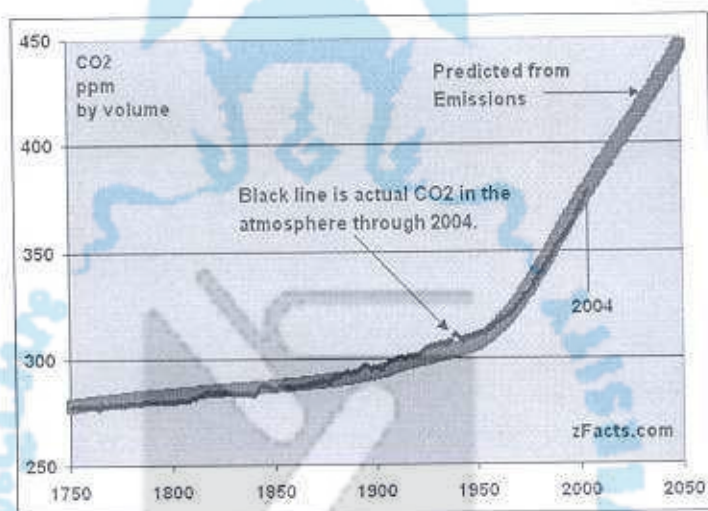
1.1 พลังงานนิวเคลียร์แบบฟิวชันในสถานะของแหล่งพลังงานหลักแห่งอนาคต

ปัญหารือถึงพลังงานกษาเป็นปัญหาที่สำคัญสำหรับประเทศไทย มีสาเหตุมาจากการปัญหาด่างๆ หลากหลายประการ ทั้งปัญหานำในการได้มาซึ่งแหล่งพลังงานและวิกฤตการณ์พลังงาน เช่น การขยายตัวทางเศรษฐกิจและการเพิ่มขึ้นของประชากร พฤติกรรมการบริโภคและการใช้เทคโนโลยีที่ก้าวหน้าซึ่งส่วนประกอบทั้งหมดล้วนมีความสัมพันธ์กันอย่างเชื่อม ไม่ว่าจะเป็นการขยายตัวทางเศรษฐกิจนำมารวมซึ่งการกำหนดพฤติกรรมของผู้บริโภคให้มีพฤติกรรมการบริโภคนิยมแบบตะวันตกทำให้เพิ่มการบริโภคพลังงานในอัตราที่สูงขึ้น การใช้เทคโนโลยีที่มีช่วยเหลืออย่างมากในการสนับสนุนชีวิตประจำวัน เช่น เทคโนโลยีที่ช่วยให้การทำงานง่ายขึ้น ซึ่งเท็จจริงนี้ทำให้ประชากรโลกเพิ่มจำนวนขึ้น ในขณะเดียวกันการเพิ่มขึ้นของประชากรก็นำมาซึ่งการปลดปล่อยก๊าซที่ทำลายชั้นบรรยากาศ(เนื้องจากกระบวนการเผาเชื้อเพลิงฟอสซิล) และนำมายังปัญหาการเปลี่ยนแปลงของระบบบนพื้นโลก



ภาพที่ 1.1 การเพิ่มขึ้นของประชากรโลกตามชื่อมูลขององค์กรสภาพประชาติ [1]

ตามข้อมูลของสหประชาชาติในภาพที่ 1.1 ประชากรของโลกจะเพิ่มขึ้นอีก 9 ล้านคนในปี ค.ศ. 2050 ซึ่งหมายถึงการเพิ่มขึ้นถึง 1.5 เท่าเมื่อเทียบกับจำนวนในปัจจุบัน บังคับความต้องการเพิ่มขึ้นอย่างต่อเนื่องนี้ยังคงเกิดขึ้นจนกระทั่งปี ค.ศ. 2100 ข้อเท็จจริงจากการคำนวณนี้ แสดงให้เห็นว่าประชากรที่เพิ่มขึ้นของประเทศกำลังพัฒนา ซึ่งตอนนี้ซึ่งขาดแคลนเทคโนโลยีที่กันสมัย แต่ในไม่ช้านี้จะเข้าถึงเทคโนโลยีสมัยใหม่ๆ และจะทำให้อัตราความต้องการพลังงานเพิ่มมากขึ้นอย่างมีนัยสำคัญ ในประเทศที่พัฒนาแล้วได้มีการตัดสินใจที่จะกำหนดนโยบายลดความต้องการพลังงานนี้ วิธีการที่ง่ายที่สุดในการแก้ไขวิกฤตพลังงานคือ การหักงูให้ประชากรต่ำกว่าที่มีการใช้พลังงานอย่างฟุ่มเฟือย และพยายามนำกลับมาใช้ใหม่ แผนการนี้ให้ผลในเชิงบวกในประเทศที่พัฒนาแล้ว เพราะความต้องการพลังงานเริ่มอยู่ในสภาวะที่คงที่ อย่างไรก็ตามวิธีการดังๆ เหล่านี้ไม่สามารถนำมาใช้ได้กับประเทศที่กำลังพัฒนา เนื่องจากความต้องการที่จะเพิ่มคุณภาพในการดำรงชีวิตของประชากรทำให้เกิดการเพิ่มขึ้นของความต้องการพลังงานในประเทศที่กำลังพัฒนาอย่างหลีกเลี่ยงไม่ได้



ภาพที่ 1.2 การเพิ่มขึ้นของความตื้นขึ้นของ CO_2 ในชั้นบรรยากาศ (ในหน่วย ppm) [2]

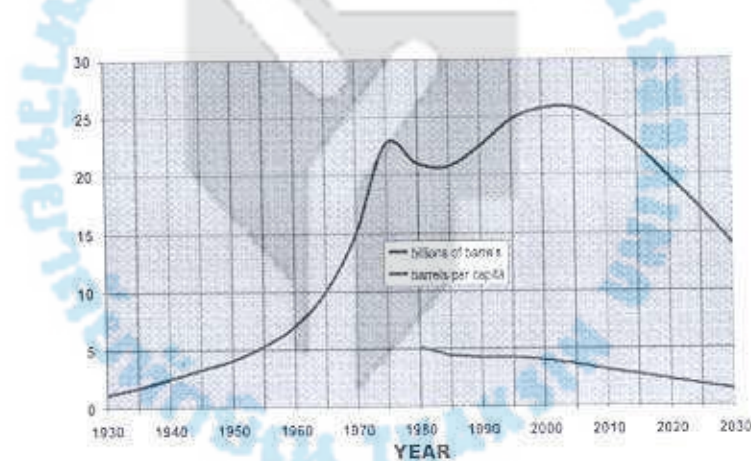
ในปัจจุบันความต้องการดำเนินการพลังงานต่ำกว่าที่ของประชากรโลกได้รับการตอบสนองจากวิธีการเผาไหม้เชื้อเพลิงฟอสซิลทำให้ก๊าซ CO_2 ถูกปล่อยออกสู่บรรยากาศ ประชาชนโลกจึงได้มีความพยายามร่วมกันในพันธสัญญาโดยเกี่ยว ได้มีระบุถึงการลดจำนวนการปลดปล่อย CO_2 ในบรรยากาศที่น้อยลงเป็นไปได้ยากในทางปฏิบัติ ซึ่งก้าวหน้าประเทศในกลุ่ม EEUU ซึ่งปลดออกก๊าซ CO_2 จำนวนมากยังไม่ได้เข้าร่วมพันธสัญญา ดังนั้นความเข้มข้นของก๊าซ CO_2 ที่ถูก

ปลดปล่อยในบรรทัดก้าวเพิ่มขึ้นมาเกือบตลอด 200 ปีมานี้ จะยังคงเพิ่มขึ้นต่อไป คั่งแสลงในภาพที่ 1.2 ซึ่งข้อมูลที่ได้จากคำนวณรวมถึงประเทศไทยใหม่ เช่น ประเทศจีน

ตารางที่ 1.1 แหล่งพัฒนาตามแหล่งที่มาซึ่งใช้ในการผลิตไฟฟ้าของโลก [3]

| แหล่งพัฒนา | อัตราส่วนที่ใช้ (%) |
|--------------------------|---------------------|
| น้ำมัน | 6% |
| ก๊าซธรรมชาติ | 20% |
| ถ่านหิน | 40% |
| พลังงานน้ำ | 16% |
| พลังงานน้ำเคลื่อนไฟชั้น | 16% |
| อื่นๆ (พลังงานหมุนเวียน) | 2% |

ตามข้อมูลในตารางที่ 1.1 มีความเป็นไปได้น้อยมากที่จะลดปริมาณ CO_2 ซึ่งถูกปลดปล่อยสู่บรรทัดก้าว เนื่องจากพัฒนาหมุนเวียนซึ่งคงไม่เพียงพอที่จะผลิตให้กับประชากรของโลกและซึ่งคงต้องปรับปรุงในเรื่องประสิทธิภาพ ยิ่งกว่านี้พลังงานน้ำเคลื่อนไฟชั้นถึงแม้ว่าจะไม่มีการปลดปล่อย CO_2 ก็ยังไม่เป็นที่ยอมรับในมุมมองทางสังคมศาสตร์ เนื่องจากการมีภารกิจกั้นมันตั้งเรื่องสิ่งต้องใช้เวลาค่อนข้างนานในการคุ้นเคยและเก็บรักษาและยุ่งยากและความมั่นคงทางการทหาร

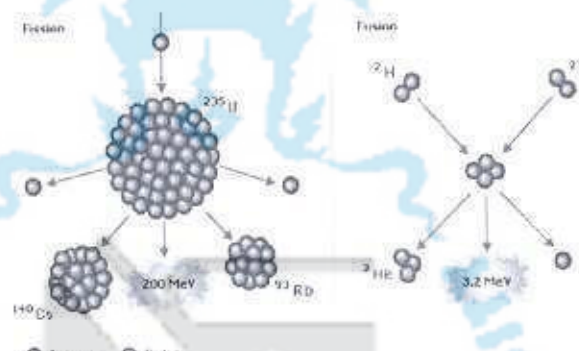


ภาพที่ 1.3 กราฟแสดงการลดลงของปริมาณน้ำมันที่สามารถได้ [4]

ปัญหาอีกสิ่งหนึ่งที่เกิดขึ้นกับพลังงานที่สำคัญคือปัญหาเกี่ยวกับน้ำมันซึ่งถือเป็นแหล่งพลังงานหลักในขณะนี้ ซึ่งสามารถดูได้จากภาพที่ 1.3 ปริมาณที่หายใจในแต่ละปีจะลดลง ตั้งแต่ปี พ.ศ. 2005

เนื่องจากผลลัพธ์ของปริมาณน้ำมันสำรองความจริงขึ้นนี้เกิดขึ้นจากการเพิ่มขึ้นของจำนวนประชากร ซึ่งทำให้ความต้องการพลังงานเพิ่มขึ้น ซึ่งอาจนำมาสู่การเพิ่มขึ้นของราคาน้ำมันและการขาดแคลนของพลังงานปิโตรเลียม ในความเป็นจริงพฤติกรรม คุณลักษณะเช่นนี้ ได้แสดงให้เห็น ตั้งแต่ปี ก.ศ. 2004 และเพิ่มขึ้นอย่างต่อเนื่องในปี ก.ศ. 2005 มีความเป็นไปได้ อญี่ 2 ประการที่จะแก้ปัญหาด้วยกับวิถีดั้งเดิมคือ ประการแรกจะต้องทิ้งภารกิจก้าวพัฒนาเกี่ยวกับ พลังงานหมุนเวียน ให้มากขึ้น โดยการปรับปรุงประสิทธิภาพและเพิ่มความเป็นไปได้ที่จะใช้ พลังงานชนิดนี้ไม่เพียงเฉพาะประเทศไทยเพียงเดียวแต่เป็นประเทศที่กำลังพัฒนา ประการที่สอง พัฒนาเกี่ยวกับพลังงานนิวเคลียร์แบบฟิวชันซึ่งสามารถตอบสนองความต้องการหลายแห่งทั่วโลกได้ บรรยายมาแล้ว เพื่อผลลัพธ์ที่ต้องใช้สารเคมีที่หลากหลายและก่อให้เกิดประโยชน์กับมนุษยชาติ

1.2 พลังงานนิวเคลียร์ฟิวชัน

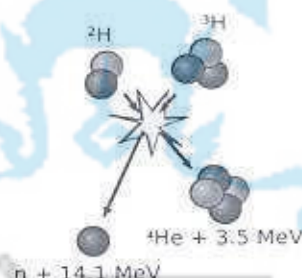


ภาพที่ 1.4 แผนภาพแสดงปฏิกิริยานิวเคลียร์แบบฟิวชันและนิวเคลียร์ฟิวชัน

ในหัวข้อที่ผ่านมาพลังงานนิวเคลียร์ฟิวชันถูกยกขึ้นมาก็ให้เป็นความหวังที่จะนำไปสู่ การแก้ปัญหาด้านพลังงาน แหล่งที่มาของพลังงานนิวเคลียร์ฟิวชันสามารถหาได้ทั่วไปในโลกและ ที่สำคัญพลังงานนิวเคลียร์ฟิวชันเป็นมิตรกับสิ่งแวดล้อม เพราะไม่มีการปล่อยก๊าซ CO_2 ซึ่งเป็น บรรยาการและบังคงเด็กต่างกับพลังงานนิวเคลียร์ฟิวชันเนื่องจากมีการปลดปล่อยกัมมันตภาพรังสี ในปริมาณที่น้อยมาก ซึ่งกว่าหนึ่งพลังงานนิวเคลียร์แบบฟิวชันซึ่งมีข้อได้เปรียบในด้านของความ ปลอดภัยเมื่อนำมาเปรียบเทียบกับพลังงานนิวเคลียร์แบบฟิวชัน เพราะว่าการที่กระเสพคลาสม่าเกิด การสูญเสียการควบคุมนั้นไม่ได้นำมาสู่การปลดปล่อยกัมมันตภาพรังสีและพลังงานในระดับที่สูงสู่ สิ่งแวดล้อม และที่สำคัญปฏิกิริยาจะหยุดในไม่กี่วินาที พลังงานนิวเคลียร์แบบฟิวชันเกิดจากการ

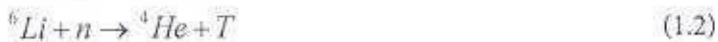
รวมตัวกันของนิวเคลียสของธาตุเบนซันนำมาเชื่อมต่อพัฒนาของอะตอมสุดท้ายที่มีมวลน้อยกว่าอะตอมของสารตั้งต้นคั่งภาพที่ 1.4 ซึ่งคาดว่ามวลที่หายไปนี้จะถูกแปลงค่าไปเป็นพลังงานตามสมการ $E = (\Delta m)c^2$ ซึ่งจำเป็นต้องอาศัยพลังงานจำนวนมาก (อุณหภูมิประมาณ 1,000 ล้านองศา) เพื่อที่จะเอาชนะแรงผลักทางไฟฟ้าในอะตอม อุณหภูมิระดับนี้อาจมีการพบได้ที่ในกลางของดวงดาว เช่น ดวงอาทิตย์ เนื่องจากความคันจากแรงโน้มถ่วงจึงทำให้ทำงานมาก อ่างไรก็ตามปฏิกริยานี้สามารถทำให้เกิดขึ้นได้แล้วนน ได้ก่อนมนุษย์โดยใช้อุปกรณ์การทดลองที่สร้างขึ้นมาเพื่อใช้ในการศึกษาปฏิกริยานิวเคลียร์ฟิวชันในปัจจุบัน

โดยมนุษย์เชิงพาณิชย์ของเครื่องปฏิกรณ์นิวเคลียร์ ปฏิกริยานิวเคลียร์ฟิวชันที่เป็นที่น่าสนใจเป็นปฏิกริยานิวเคลียร์ฟิวชันที่แสดงดังภาพที่ 1.5



ภาพที่ 1.5 การเกิดปฏิกริยานิวเคลียร์ฟิวชัน

ในปฏิกริยานี้คือเทอร์เมกโนตรีติยม หลอมรวมตัวกันเพื่อที่จะผลิตอนุภาคแอ็คฟ้าและนิวตรอนทั้งคู่เทอร์เมกโนตรีติยมคือ ไอโซโทปของไฮโดรเจน ดิวเทอร์เมกโนตรีติยมมีเสถียรภาพ ราคานี้ไม่แพงและมีมากในโลก ถูกค้นพบได้ในน้ำทะเลในอัตราความเข้มข้น 0.034 g/L ส่วนตัวติยมไม่สามารถพบได้ในธรรมชาติตัดแต่สามารถหาได้จากการใช้ตัวติยมเป็นตัวคุกซับนิวตรอนที่ถูกผลิตในเครื่องปฏิกรณ์ของปฏิกริยานิวเคลียร์ฟิวชันเอง



ในการเป็นจริงนั้น จากการคำนวณติยมมีจำนวนมากและหาได้ทั่วโลก ซึ่งจากสมการของปฏิกริยาจะเห็นได้ว่าปฏิกริยาที่เกิดขึ้นไม่มีการผลิตเศษสารกัมมันตรังสีโดยตรง อ่างไรก็ตามนิวตรอนสามารถกระตุ้นให้ผ่านของเครื่องปฏิกรณ์กลาบเป็นสารกัมมันตรังสีได้ ดังนั้นความท้าทาย

อย่างหนึ่งของการวิจัยเกี่ยวกับพลังงานนิวเคลียร์ฟิวชันก็คือการที่จะหาวัสดุที่มีค่าความเป็นกันมันตรังสีในระดับที่ต่ำหลังจากได้รับการกระตุ้นในเครื่องปฏิกิริยามาเป็นส่วนประกอบของเครื่อง อย่างไรก็ตามหากกันมันตรังสีที่ถูกผลิตจากปฏิกิริยานิวเคลียร์แบบฟิวชันมีค่าต่ำกว่าปฏิกิริยานิวเคลียร์ฟิชชันมาก ยังมีคู่ปฏิกิริยาอย่างอื่นที่สามารถเกิดปฏิกิริยาฟิวชันได้ เช่น ดิวเทอเรียม-ดิวเทอเรียม ($D - D$)



ปฏิกริยานี้มีข้อได้เปรียบคือไม่ได้ใช้ตรีเตียมเป็นเชื้อเพลิงและไม่ได้ผลิตนิวตรอนที่มีพลังงานสูง แต่ต่ำกว่า ไร์ก์ตามอุณหภูมิที่สามารถทำให้เกิดปฏิกริยาอันนี้มีค่าสูงกว่าอุณหภูมิที่สามารถเกิดปฏิกริยาระหว่างดิวทีเรียม-ตรีเตียมถึง 10 เท่า ดังนั้นปฏิกริยาระหว่างดิวเทอเรียม-ดิวเทอเรียนจึงอาจจะสามารถนำพาการผลิตในเครื่องปฏิกรณ์นิวเคลียร์ฟิวชันในรุ่นถัดไป

ท้ายที่สุด ปฏิกริยานิวเคลียร์ที่เป็นไปได้อีกแบบหนึ่งคือ ปฏิกริยาระหว่างดาวเทียม-ชีเลียน 3($D - {}^3He$)



ซึ่งน่าสนใจเป็นอันมากเนื่องจากไม่ได้ใช้ตรีเติบมและไม่ได้ผลิตนิวตรอนอย่างไรก็ตามกีบัมมีข้อด้อยอีกหลายประการ เช่น จำเป็นต้องใช้อุณหภูมิสูงขึ้นในการเกิดปฏิกิริยาและจำนวน He_3 ที่อยู่น้อยบนโลก (ซึ่งไม่เหมือนดวงจันทร์ที่สามารถหาได้ยังมาก)

1.3 วิธีการที่ใช้ในการควบคุมปฏิกริยานิวเคลียร์ฟิวชัน

เป้าหมายสุดท้ายของการควบคุมปฏิกริyanivakleibร์ฟิวชันก็เพื่อที่จะให้สามารถดำเนินการใช้เชิงพาณิชย์ได้เมื่อเปรียบเทียบกับพลังงานแหล่งอื่น เพื่อที่จะบรรลุวัตถุประสงค์ข้อนี้ พลังงานที่เกิดขึ้นจากปฏิกริyanivakleibร์ฟิวชันต้องเกิดขึ้นได้อย่างยั่งยืนหรือในอีกความหมายหนึ่งก็คือการเพื่อใหม่ของพลาสม่าต้องเกิดขึ้นจากพลังงานของตัวพลาสม่าเอง มีวิธีการสองอย่าง ที่นักวิทยาศาสตร์ได้นำมาพัฒนาขึ้นเพื่อใช้ในการควบคุมพลาสม่า คือการควบคุมเก็บกักพลาสม่าโดยพลังงานเลือดและการควบคุมเก็บกักพลาสม่าโดยสนามแม่เหล็ก

ในการควบคุมเก็บกักด้วยวิธีพัล้งงานเมื่อย แคปซูลอันเล็กของตระตีym และดิวเทอเรียมถูกอัดให้ชนกันแล้วรวมกัน โดยพัล้งงานแสงเลเซอร์เมื่อความหนาแน่นของเม็ดแคปซูลเข้าสู่สภาวะวิกฤตจะเกิดปฏิกิริยานิวเคลียร์ฟิวชันขึ้นแล้วแพร่ไปสู่พลาสมาริเวอร์บๆ การควบคุมปฏิกิริยาโดยวิธีนี้ ช่วงเวลาที่ควบคุมปฏิกิริยาให้เกิดขึ้นได้ค่อนข้างต่า ข้อด้อยของวิธีการควบคุมด้วยวิธีนี้ก็คือการควบคุมความถูกต้องแม่นยำของลำแสงเลเซอร์ซึ่งจะต้องสามารถบีบอัดเม็ดแคปซูลให้ได้และหลอมรวมเป็นเนื้อเดียวกันซึ่งทำให้ค่อนข้างยาก

อีกวิธีหนึ่งในการควบคุมปฏิกิริยาฟิวชันคือการควบคุมด้วยวิธีการเก็บกักด้วยวิธีการทางสนานแม่เหล็ก เพราะว่าพลาสม่าประกอบด้วยประจุสองชนิดคือ ไอออนและอิเล็กตรอน พลาสม่าจะถูกเก็บกักด้วยสนานแม่เหล็กที่มีความเข้มสูงในสภาวะเช่นนี้ อนุภาคนะเคลื่อนเป็นเกลียวตามเส้นแรงแม่เหล็ก ระยะเวลาที่สามารถควบคุมให้เกิดปฏิกิริยาโดยวิธีการนี้ค่อนข้างจะนาน

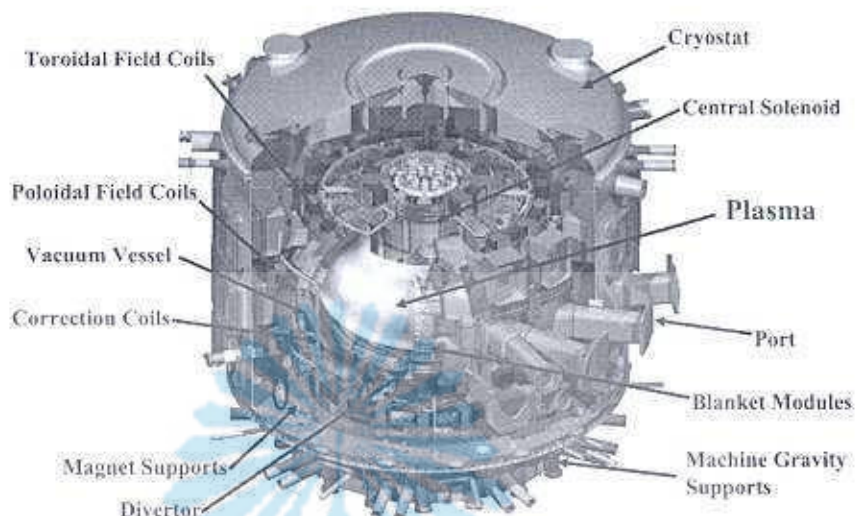
1.3.1 การกักด้วยวิธีการทางแม่เหล็ก วิธีการทางแม่เหล็กสามารถแบ่งออกเป็นสองแบบคือ วิธีการแบบเบิดและปิด ในวิธีการแบบเบิดเส้นแรงแม่เหล็กไม่ได้บรรจบกัน พลาสม่าโดนเก็บกัก ด้วยอาศัยการเพิ่มขึ้นอย่างมหาศาลที่จุดสะท้อน ทำใหอนุภาคนิ่มสามารถหลบหนีไปจากสภาวะเช่นนี้ได้และอีกวิธีคือ วิธีการแบบปิดซึ่งจะประกอบไปด้วยส่วนประกอบหลักคือ ขาดความทอรอยด์ (รูปโคน้ำ) และจากขาดความโพลารอยด์ ซึ่งพลาสม่าจะถูกกักด้วยสนานแม่เหล็กจากอุปกรณ์นี้ การสร้างสนานแม่เหล็กเกิดขึ้นจากการเหนี่ยววนของขาดความภายนอกเพื่อที่จะทำให้เกิดสนานแม่เหล็ก วิธีการเก็บกักด้วยสนานแม่เหล็กนี้สามารถทำได้สองวิธีคือ วิธีแรกสร้างสนานแม่เหล็กขึ้นจากพลาสม่าเองและจากขาดความภายนอกเมื่อขาดความภายนอกถูกเหนี่ยววนให้เกิดกระแส วิธีที่สองสนานแม่เหล็กถูกสร้างจากขาดความภายนอกโดยสมบูรณ์ ซึ่งมีชื่อต่างกันคือ โทคาแมคและสเตลลารऐเตอร์

1.3.1.1 โทคาแมค ในโทคาแมคสนานแม่เหล็กโพลารอยด์ถูกสร้างโดยการเหนี่ยววนจากภายนอกให้เกิดกระแสในพลาสม่าและมีขาดความอิกอันหนึ่งจากข้างนอกเพื่อเพิ่มสนานแม่เหล็กดังภาพที่ 1.6 ซึ่งจะเกิดสนานแม่เหล็กพาร์ล์หลังจากการรวมกันของสนานแม่เหล็กในแนวทอรอยด์และโพลารอยด์ ข้อเสียของโทคาแมคคือ ไม่สามารถสร้างเพื่อให้กระแส เกิดขึ้นได้อย่างต่อเนื่อง ได้อย่างไรก็ตามมีวิธีการหลายวิธีการที่ศึกษาเพื่อจะหลีกเหลี่ยงปัญหานี้ เช่น การใช้ชิงโกรตระนิโโซแนนท์ในการให้ความร้อนหรือการให้ความร้อนด้วยกระแสที่เป็นกลาง

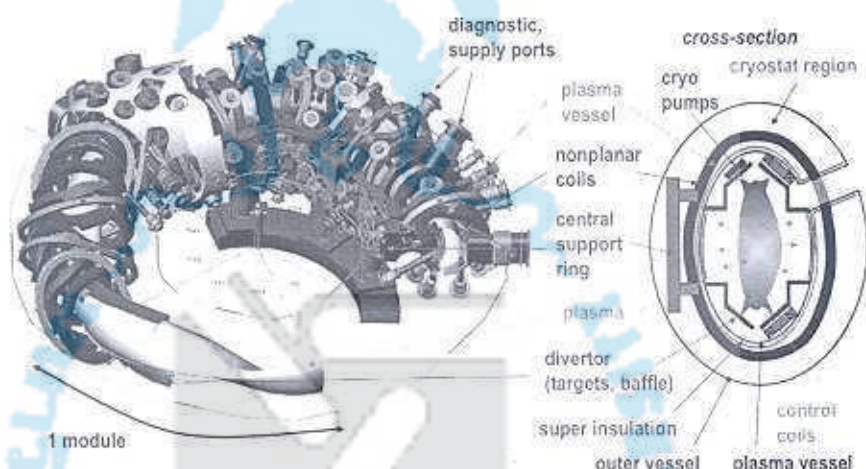
1.3.1.2 สเตลลารऐเตอร์ มีหลักการทำงานคือ สนานแม่เหล็กทั้งหมดถูกสร้างจากภายนอกอย่างสมบูรณ์โดยไม่มีความจำเป็นต้องอาศัยกระแสที่เกิดจากการเหนี่ยววนของพลาสม่าให้เกิดสนานแม่เหล็กซึ่งทำให้สเตลลารऐเตอร์ทำงานได้อย่างต่อเนื่องดังแสดงในภาพที่ 1.7 ข้อเท็จจริงอันนี้ทำให้สเตลลารऐเตอร์มีความได้เปรียบโทคาแมคแต่ก็นำมาซึ่งความยากในการออกแบบ

เนื่องจากสนามแม่เหล็กต้องผ่านการคำนวณที่มีความเที่ยงตรงสูงหากเกิดการเบี่ยงเบนแม้เพียงส่วนน้อย ก็อาจจะทำให้พลาสมาหลุดจากการควบคุมข้อด้วยอิอกอันหนึ่งของสเตลลาร์เตอร์คือ ผลกระทบของการส่งผ่านแบบนิโอลคลาสสิกมีค่าเพิ่มขึ้นเพื่อจะหลีกเลี่ยงข้อเท็จจริงข้อนี้ จำเป็นต้องเพิ่มอัตราส่วนระหว่างระยะทางแกนตั้งและแกนนอนของเครื่องปฏิกรณ์ทั้งหมดให้มีค่าสูง อย่างไรก็ตามผลการศึกษาล่าสุดแสดงให้เห็นว่ามีความเป็นไปได้ที่จะต้องใช้อัตราส่วนแกนตั้ง และแกนนอนที่ต่ำและมีค่าการส่งผ่านแบบนิโอลคลาสสิกที่ต่ำ





ภาพที่ 1.6 การเกิดปฏิกิริยานิวเคลียร์ฟิวชัน

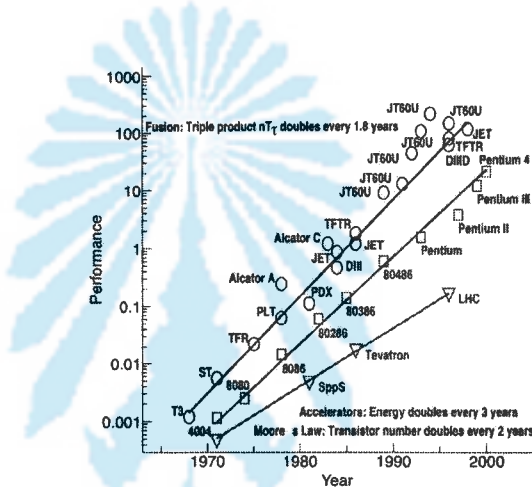


ภาพที่ 1.7 แผนภาพแสดงครึ่งปีกิริยานิวเคลียร์ฟิวชันแบบสเตลเลตอร์

1.4 พัฒนาการของพลังงานนิวเคลียร์ฟิวชัน

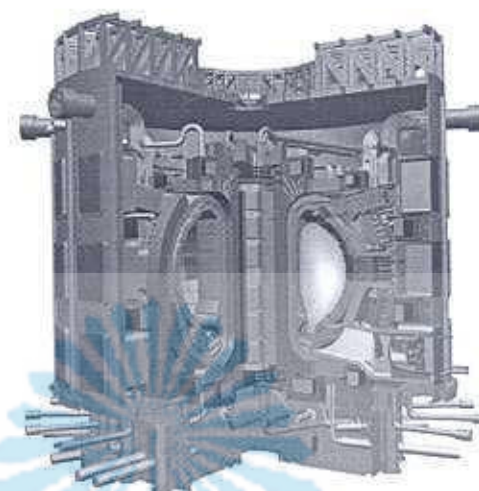
1.4.1 ความล่าเรื่องของการวิจัยเกี่ยวกับพลังงานนิวเคลียร์ฟิวชัน มีอุปกรณ์การทดลองมากมายที่ได้ถูกสร้างขึ้นมาเพื่อปรับปรุงประสิทธิภาพของพลังงานนิวเคลียร์ฟิวชันให้ได้ดีขึ้นซึ่งสามารถดูได้จากการในภาพที่ 1.8 พลังงานนิวเคลียร์ฟิวชันได้ถูกสร้างขึ้นเมื่อประมาณ 30 ปีที่แล้ว และพัฒนาอย่างต่อเนื่อง เมื่อเทียบกับความก้าวหน้าของความสามารถในการประมวลผลของคอมพิวเตอร์ ซึ่งกว่านั้นพลังงานฟิวชันสามารถสร้างໄicide แล้ว 10.7 MW จากเครื่อง TFTR ในปี ค.ศ. 1994 และ 16 MW จากเครื่อง JET ในปี ค.ศ. 1997 ซึ่งให้ค่า Q ประมาณ 0.6 และไม่นานมานี้

สามารถสร้างพลังงานได้ช่วงระยะเวลาที่นานนานขึ้น เช่นเครื่อง Tore-Supra และ LHD โดยผ่านทางตัวนำเยื่อขาด ซึ่งสามารถให้การทดลองแต่ละครั้งได้ถึง 30 นาที ด้วยระยะเวลาเช่นนี้ทำให้สติติล่าสุดของพลังงานที่เกิดขึ้นจากเครื่อง LHD คือ 1.3 GJ ข้อเท็จจริงต่างๆเหล่านี้จึงแสดงให้เห็นถึงความสามารถที่น่าจะเป็นไปได้ของพลังงานนิวเคลียร์ฟิวชันยิ่งกว่าที่นักคาดเดา ความเป็นไปได้จึงมีโครงการ ITER เกิดขึ้น



ภาพที่ 1.8 พัฒนาการของเครื่องปฏิกรณ์นิวเคลียร์แบบฟิวชันเปรียบเทียบกับการเติบโตของความสามารถในระบบการประมวลผลของคอมพิวเตอร์

1.4.2 เครื่องปฏิกรณ์นิวเคลียร์ทดลองนานาชาติ (ITER) ITER เป็นเครื่องปฏิกรณ์นิวเคลียร์ที่แสดงให้เห็นถึงความเป็นไปได้ที่จะใช้พลังงานนิวเคลียร์แบบฟิวชันเป็นแหล่งพลังงานหลักของมนุษย์ เพื่อที่จะบรรลุวัตถุประสงค์หลักข้อนี้เครื่องปฏิกรณ์นิวเคลียร์ ITER จำเป็นต้องรักษาเงื่อนไขการเกิดปฏิกิริยาฟิวชันและคงสภาพวัสดุไว้ให้ได้อย่างไรก็ตามในเบื้องต้น ก่อนที่จะเข้าสู่สภาพคงตัว การกระตุนด้วยกระแสจากภายนอก ได้ถูกนำมาใช้ในโหมดแม่ส่วนใหญ่ในปัจจุบัน ซึ่งข้อมูลพารามิเตอร์เบื้องต้นต่างๆของ ITER ถูกได้จากการ 1.2 ทันทีที่เกิดการทดลองขึ้น ค่าต่างๆ นั้นจะถูกวัดและได้รับการตรวจสอบอย่างละเอียด ไม่ว่าจะเป็นสภาพคงตัวหรือสถานะ ผสมผสานระหว่างการให้พลังงานจากภายนอก



ภาพที่ 1.9 แผนภาพแสดงส่วนประกอบหลักของ ITER

ตารางที่ 1.2 พารามิเตอร์หลักและขนาดของ ITER

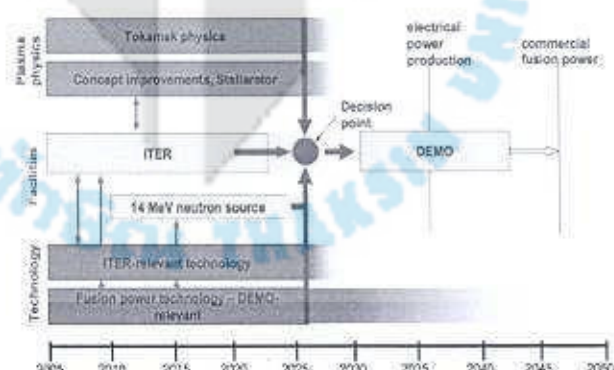
| พารามิเตอร์ | ค่า |
|--------------------------|------|
| รัศมีหลัก | 6.2 |
| รัศมีรอง | 2.0 |
| ปริมาตรของพลาสม่า | 840 |
| กระแส | 15.0 |
| สนามแม่เหล็กในแนวนทรอกต์ | 5.3 |
| พลังงานนิวเคลียร์ฟิวชัน | 500 |
| การเผาไหม้เนนราบช่วงบน | >400 |
| กำลังข่าย | >10 |
| อัตราการกึ่ด | 1.9 |
| อัตราความเป็นสามเหลี่ยม | 0.4 |

ตารางที่ 1.3 ความท้าทายหลักที่สามารถทำให้สำเร็จด้วยเครื่อง ITER

| | ปัญหาที่จำเป็นต้องปรับปรุง | JET | ITER |
|----|---|--|---|
| 1 | รายการค่าประสิทธิภาพ ความมีเสถียรภาพในการ จำกัดพลาสma | ได้รับการยืนยัน | ยืนยันและหาค่าที่เหมาะสมใน อัตราส่วนใหม่ |
| 2 | การให้ความร้อนพลาสมาเพื่อ เพิ่มอุณหภูมิ | ตรวจสอบสมรรถนะ ของแต่ละทางเลือก | หาค่าที่เหมาะสมและมีสมรรถภาพ ของทุกทางเลือก |
| 3 | การควบคุมพลาสมาใน สภาพวงตัว | ตรวจสอบทางเลือกที่ สามารถทำได้สำเร็จ | มีการสาธิตถึงแผนการดำเนินงาน และปฏิบัติจริง |
| 4 | การสร้างตรีเตียมอุณหภูมิสูง จากส่วนของผนังที่ปักกลุ่ม | ไม่สามารถทดสอบได้ | ทดสอบส่วนประกอบและพัฒนา วัสดุรุ่นนานกันไป |
| 5 | การควบคุมการเลื่อนตำแหน่ง จากระยะไกล | ทดสอบวิธีการ | จัดการใช้งานในเครื่องปฏิกรณ์ตาม สถานะการแข่งขัน |
| 6 | การยอมรับในเรื่องความ ปลอดภัยและถึงเวลาด้อม | เป็นหัวข้อที่ยกใน การดำเนินการ | การจัดหาริตรีเตียมจากภายนอก, การ เพิ่มชั้นของอะลูมิเนียม, ต้องกราบทบกับ สิ่งแวดล้อมน้อยที่สุด |
| 7 | ความเป็นไปได้ เชิงเศรษฐศาสตร์ | ไม่ได้พิจารณา | ค่าต้นทุนส่วนใหญ่ถูกจำกัดให้ น้อยลง |
| 8 | การใช้อุปกรณ์กำจัดกาก และ การทำให้พลาสมาริสุทธิ์ | อยู่ในระหว่างทำความ เข้าใจและพัฒนา | แสดงการควบคุมและประสิทธิภาพ |
| 9 | ส่วนประกอบที่เกี่ยวข้องกับ ฟลักซ์ความร้อนสูง | อยู่ในระหว่างทำความ เข้าใจและพัฒนา | แสดงการออกแบบทางวิศวกรรม และเทคโนโลยี |
| 10 | แม่เหล็กที่ทำงานตัวนำไฟฟ้า ขาดยิ่ง | ใช้เพียงแค่ตำแหน่ง เดิกๆสองตำแหน่งเพื่อ การทดลอง | แสดงกระบวนการผลิต ความ เป็นไปได้ สมรรถภาพและความ น่าเชื่อถือ |
| 11 | วัสดุที่ตอบสนองต่อการ กระตุนตัว | อยู่ภายใต้การพัฒนา และใช้งานในปัจจุบัน | คุณสมบัติบางอย่าง ได้รับการวัดใน ส่วนประกอบของ ITER และส่วน อื่นๆ |
| 12 | ความน่าเชื่อถือ | ความน่าเชื่อถือถูกทำ ให้เกิดในช่วง ระยะเวลาสั้นๆ | สามารถแสดงให้เห็นถึงความ น่าเชื่อถือและสมรรถนะสูงช่วงเวลา สั้นๆ |

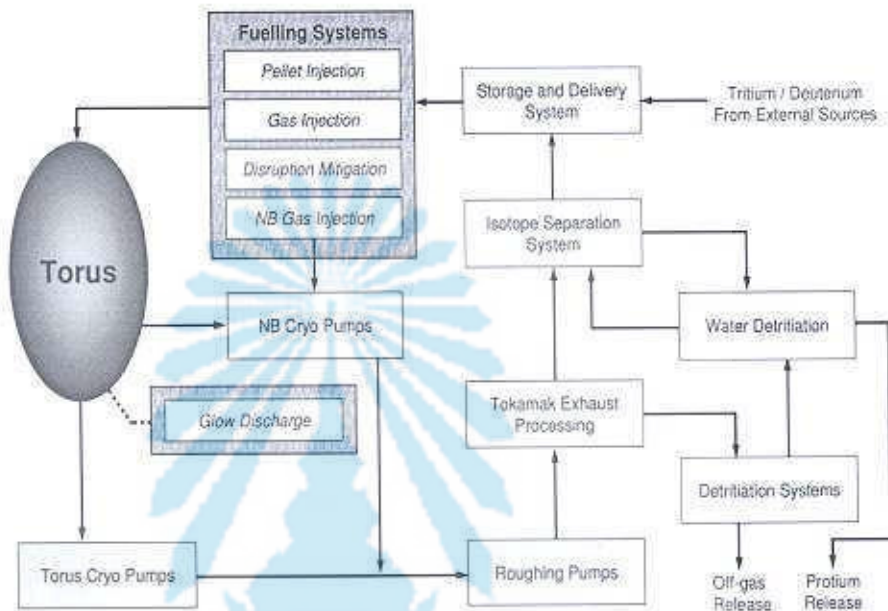
ITER จะแสดงให้เห็นถึงส่วนต่างๆ ในการออกแบบและใช้งานของข้อเขียนดังๆ ใน การแก้ปัญหาซึ่งเครื่องไกคามแมกนีติกไม่เกย์ทำได้สำเร็จรายละเอียดต่างๆ ได้แสดงในตารางที่ 1.3 โดยหัวข้อที่สำคัญได้แก่ 1, 2, 3, 5, 8, 9 และ 10 สามารถอภิปรายการพัฒนาหลังงานนิวเคลียร์ที่ให้ครื่องปฏิกรณ์แบบไกคามแมกนีติกในเชิงพาณิชย์ได้ระหว่างช่วงเวลาในการใช้งาน ITER จะทดสอบ และยืนยันความสามารถในข้อที่ 4 โดย ITER จะต้องแสดงให้เห็นถึงโอกาสและค่าตอบแทนเชิง วิศวกรรมที่จะสามารถสร้างเชือเพลิงคริเติมในทางปฏิบัติจริงของเครื่องปฏิกรณ์ในสภาวะ แวดล้อมอย่างต่ำที่สุดของการหล่อเย็นอย่างไรก็ตามเมื่อจาก ITER มีระดับผลิตงานที่ดำเนินการ ทดลองจะใช้เวลาพิจารณาประมาณ 15 ปี ของ การใช้งานเครื่อง ITER เนื่องความสามารถของดัง ทำงานโดยการเดินตรีดิบมจากนัดระบบแต่ในรุ่นต่อๆ มา เครื่องปฏิกรณ์จะเป็นต้องพึงพาตรีดิบ โดยการสร้างออกจากตัวเครื่อง ถึงแม้ว่าจะไม่สามารถแสดงให้เห็นถึงการใช้งานในระยะยาวในการ พลิกกระแสไฟฟ้าแต่ ITER ก็จะเป็นถึงความมั่นคงของระบบในข้อที่ 12

1.4.3 ช่วงเวลาหลังจาก ITER ITER ได้ถูกออกแบบมาเพื่อจะได้ผลิตงานไฟวันที่ 500 MW ดำเนินอนาคตเครื่องปฏิกรณ์ในเชิงพาณิชย์จะเป็นต้องมีขนาดเท่านี้ หลังงานจากปฏิกริยาไฟวัน ขึ้นต้องเกิดขึ้นสูงกว่าประมาณสี่เท่าเพื่อที่จะให้กำลังไฟฟ้า 500 MW เข้าไปสู่ระบบ ทำให้ฟลักซ์ ความร้อนที่กระทบกับหนังสือขนาดเพิ่มขึ้นเป็นสี่เท่าด้วย และค่าประสิทธิภาพทั้งหมดจะเป็นต้อง เพิ่มขึ้นสี่เท่าด้วย การศึกษานางส่วนที่เกี่ยวกับเรื่องนี้แสดงให้เห็นถึงค่าความหนาแน่นของพลasma ที่จำเป็นเพิ่มขึ้นถึง 30% ของปัจจุบันเพื่อที่จะบรรลุวัตถุประสงค์อันนี้ DEMO จึงถูกพัฒนาขึ้น ดังนั้น DEMO จะเป็นต้นแบบของพลังงานนิวเคลียร์ไฟวันเชิงพาณิชย์ในอนาคต ยุทธศาสตร์เหล่านี้ ควรจะเร่งพัฒนาเพื่อจะไปให้ถึงเป้าหมายสามารถสร้างพลังงานนิวเคลียร์แบบไฟวันในเชิงพาณิชย์ ได้ใน 20 ปี



ภาพที่ 1.10 แผนกลยุทธ์การเป็นเครื่องปฏิกรณ์นิวเคลียร์ไฟวันในเชิงพาณิชย์

1.5 ระบบเชื้อเพลิงของ ITER



ภาพที่ 1.11 ระบบเชื้อเพลิงของ ITER

1.5.1 หน้าที่การทำงานค่าจุลของระบบเชื้อเพลิง

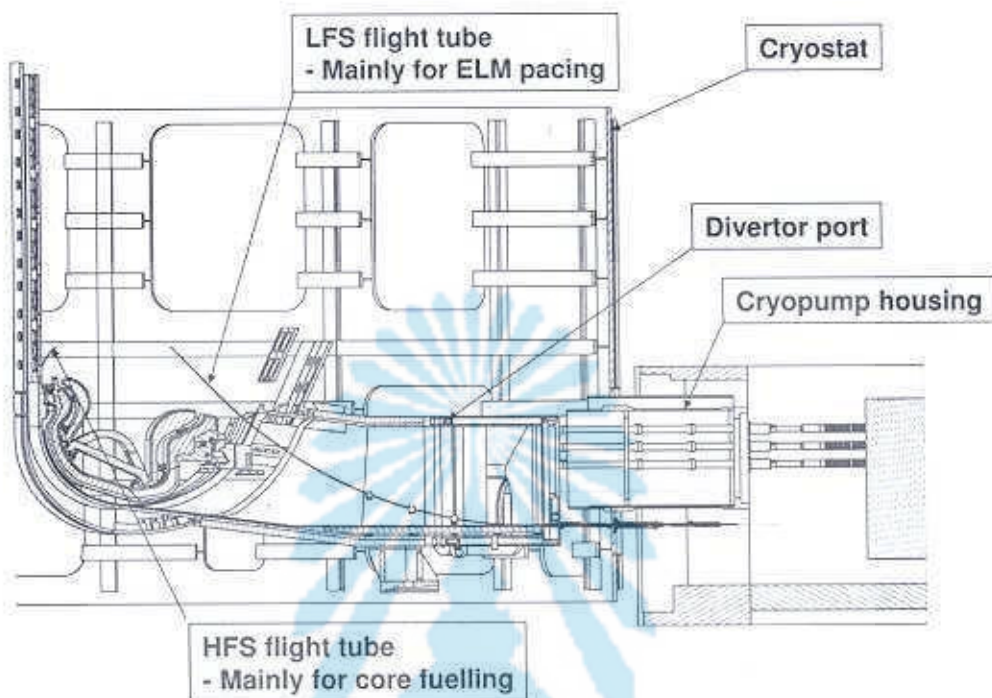
1.5.1.1 ระบบฉีดด้วยก๊าซ ฉีดเชื้อเพลิงที่เป็นก๊าซเทือก๊าซควบคุมความหนาแน่นของพลาสม่า ขึ้นมา H_2 และ D_2 ก๊าซ เพื่อใช้ฉีดในระบบ NB และ DNB ฉีดก๊าซเข้าปืนเพื่อศึกษาและควบคุมพลาสม่า

1.5.1.2 ระบบบิดพลังงานนิวเคลียร์ฟิวชัน จัดเตรียมในการปรับระบบนิวเคลียร์ฟิวชันในกรณีฉุกเฉิน

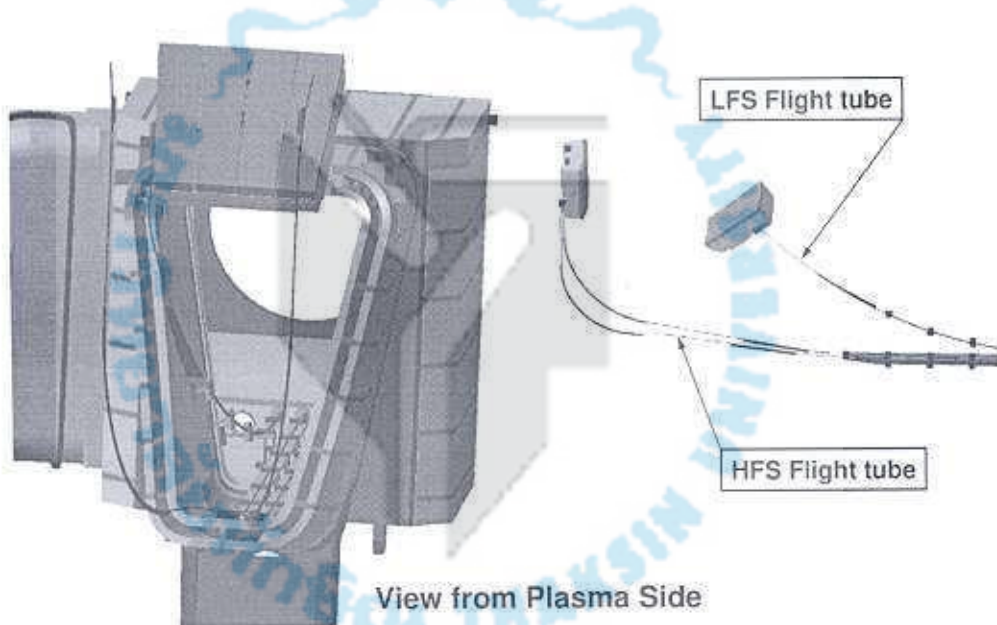
1.5.1.3 ระบบฉีดเชื้อเพลิงแซ่บเบ็ง ฉีดไอโซโทปของไออกเรนแซ่บเบ็งเพื่อควบคุมความหนาแน่นของพลาสม่า จัดเตรียมเชื้อเพลิงแซ่บเบ็ง เพื่อฉีดเข้าไปในร่องขอบเพื่อควบคุมความถี่ ELM ดังแสดงในภาพที่ 1.12 และภาพที่ 1.13 ฉีดเชื้อเพลิงแซ่บเบ็งชนิดเข็ปเป็นเข้าไปสู่พลาสม่าเพื่อศึกษา การส่งผ่านการเจาะปะ การยืนตัวของแรงแพร่ระเหย เพื่อปรับปรุงประสิทธิภาพที่บูรณา

1.5.1.4 ระบบลดการทำลาย จัดมารถของอนุภาคเข้าไปในหลอดสูญญากาศเพื่อลดการทำลายและป้องกันการสูญเสียของอะลีกตรอน

1.5.1.5 ระบบทำความสะอาด ลดและควบคุมศั่มเจ็บเป็นเพื่อทำให้อุปกรณ์ที่สัมผัสพลาสมานี้ความสะอาดและเหมาะสมในการใช้งาน



ภาพที่ 1.12 แสดงแผนผังการวางท่อที่ใช้การเติมเชื้อเพลิงเข้าไปชั้น (1) [8]



ภาพที่ 1.13 แสดงแผนผังการวางท่อที่ใช้การเติมเชื้อเพลิงเข้าไปชั้น (2) [8]

1.6 ข้อมูลเบื้องต้นของระบบเติมเชื้อเพลิงแห้งแบบ

1.6.1 ความต้องการพื้นฐานในการออกแบบระบบเติมเชื้อเพลิง

1.6.1.1 อัตราการเติมเชื้อเพลิงสูงสุดเข้าสู่พลาสม่า

| | |
|--|---------------------------|
| ชนิดของเชื้อเพลิงแห้ง H ₂ , D ₂ และ DT | : 120 Pam ² /s |
| ชนิดของเชื้อเพลิงแห้ง T ₂ (90%T/10%D) | : 110 Pam ² /s |
| ชนิดของเชื้อเพลิงแห้งแบบเจือปน (Ar, Ne, N ₂) | : 10 Pam ² /s |

1.6.1.2 จำนวนของหัวเติมเชื้อเพลิง

| | |
|--|--|
| เชื้อเพลิงแห้งแบบหลัก | : 2 injectors (D ₂ , T ₂) |
| การเติมเชื้อเพลิงแห้งแบบที่ขوبเพื่อควบคุม ELM | : 1 injector (TBD) |
| การเติมเชื้อเพลิงแห้งแบบเจือปนเพื่อคุณสมบัติทางฟิสิกส์ | : 1 injector |
| การเติมเชื้อเพลิงแห้งแบบสำรอง | : 2 injectors |

1.6.1.3 ความถี่ของการเติมเชื้อเพลิงแห้งแบบ

สูงที่สุด 16 Hz. การเติมเชื้อเพลิงแห้งแบบหลักและควบคุม

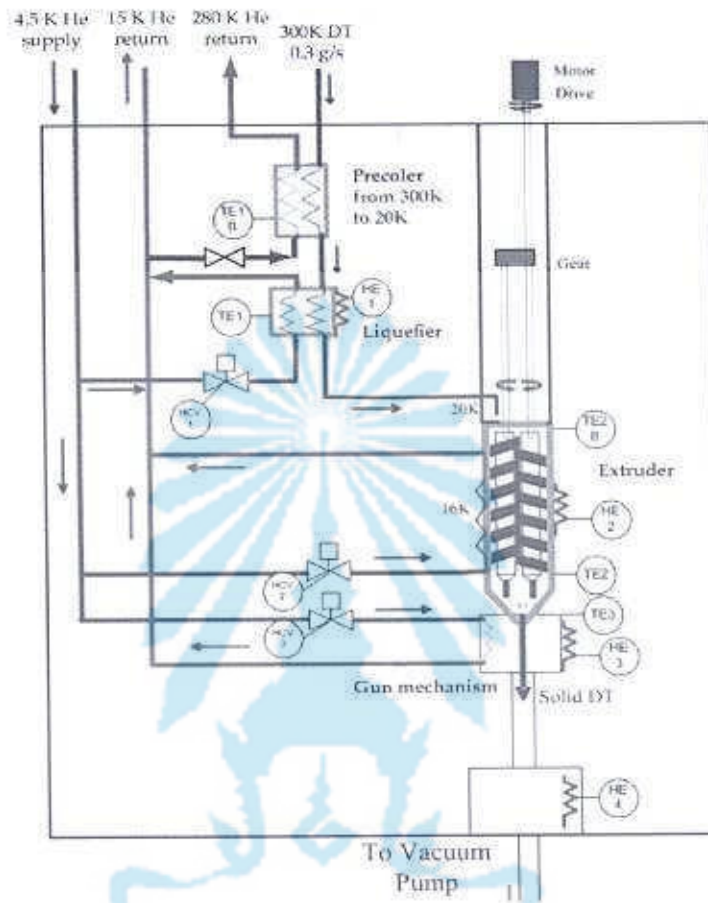
สูงที่สุด 10 Hz. การเติมเชื้อเพลิงแห้งแบบเจือปน

1.6.1.4 ความเร็วของการเติมเชื้อเพลิงแห้งแบบ

ความเร็วอ้างอิง : 300 m/s

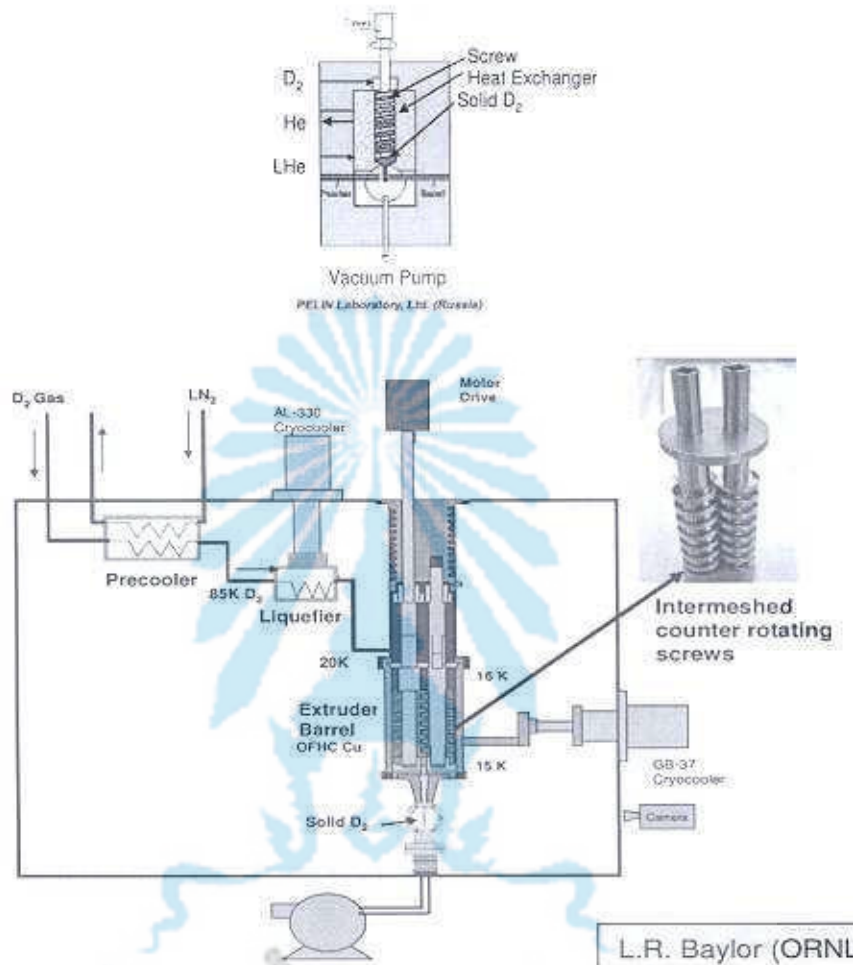
ความเร็วสูงสุด : 500 m/s

1.6.2 วิธีการทำตรีเตียบเยื่อกแบบ ระบบสกรูญี่ ได้รับการพัฒนาเพื่อการผลิต D₂ และ T₂ เยื่อกแบบอย่างต่อเนื่อง สำหรับระบบเติมเชื้อเพลิงแห้งแบบของ ITER โดยการให้ความเย็นจนกระทั่ง อุณหภูมิลดลงเหลือ 4 K หลังจากนั้นของเหลวจะได้รับการเพิ่มความดัน โดยการอัดด้วยสกรูญี่จน เป็นของแข็งในที่สุดซึ่งมีอุณหภูมิประมาณ 14 K ดังแสดงในภาพ 1.14

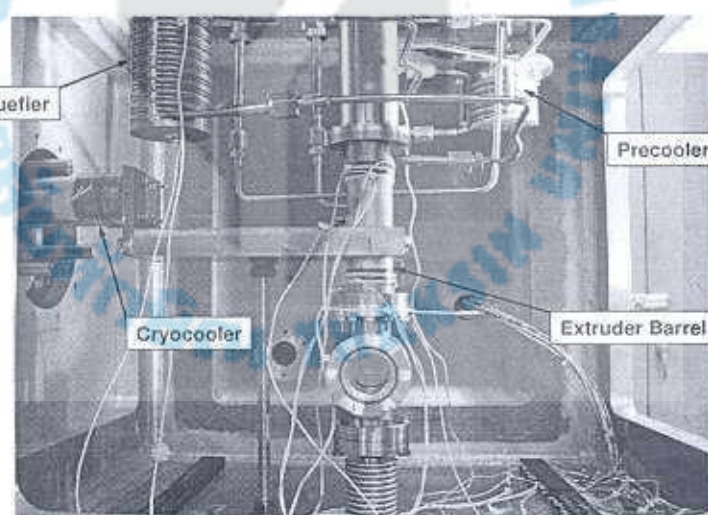


ภาพที่ 1.14 สกอรูไทร์ในการบีบอัดเชือเพลิงแท่ง [8]

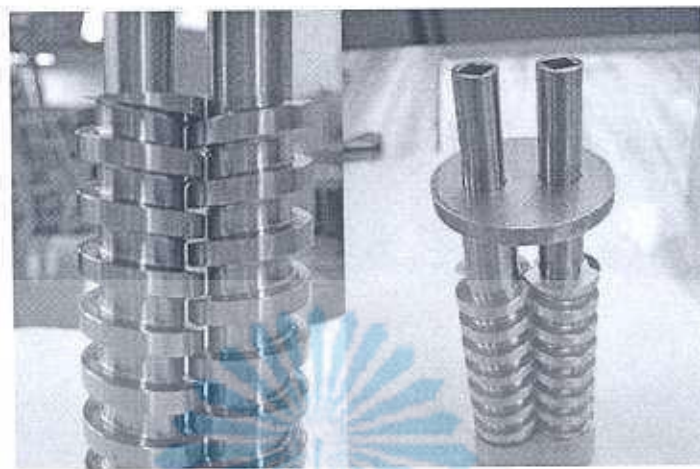
1.6.3. เครื่องบีบอัดเชือเพลิงแท่ง ทำจากสกอรูไทร์เพื่อผลิตเชือเพลิงแท่งสำหรับระบบเติมเชือเพลิงแท่งของ ITER ได้byเริ่มทำการคำนวณและออกแบบในช่วงต้นของปี ก.ศ. 2005 ดังแสดงในภาพที่ 1.15 เพื่อตรวจสอบความเป็นไปได้ที่จะใช้สกอรูไทร์ในการผลิตเชือเพลิงแท่ง ซึ่ง เครื่องดันแบบสามารรถผลิตเชือเพลิงแท่งได้ประมาณ 20 เปอร์เซ็นต์ของการต้องการเชือเพลิงแท่งของเครื่อง ITER ปัจจุบันเครื่องดันแบบได้มีการวิจัยพัฒนาและปรับปรุงแบบใหม่เพื่อ วัดคุณประสิทธิภาพเครื่องมีความสามารถในการบีบอัดได้เร็วขึ้น ดังแสดงในภาพที่ 1.15, 1.16, 1.17 และ 1.18



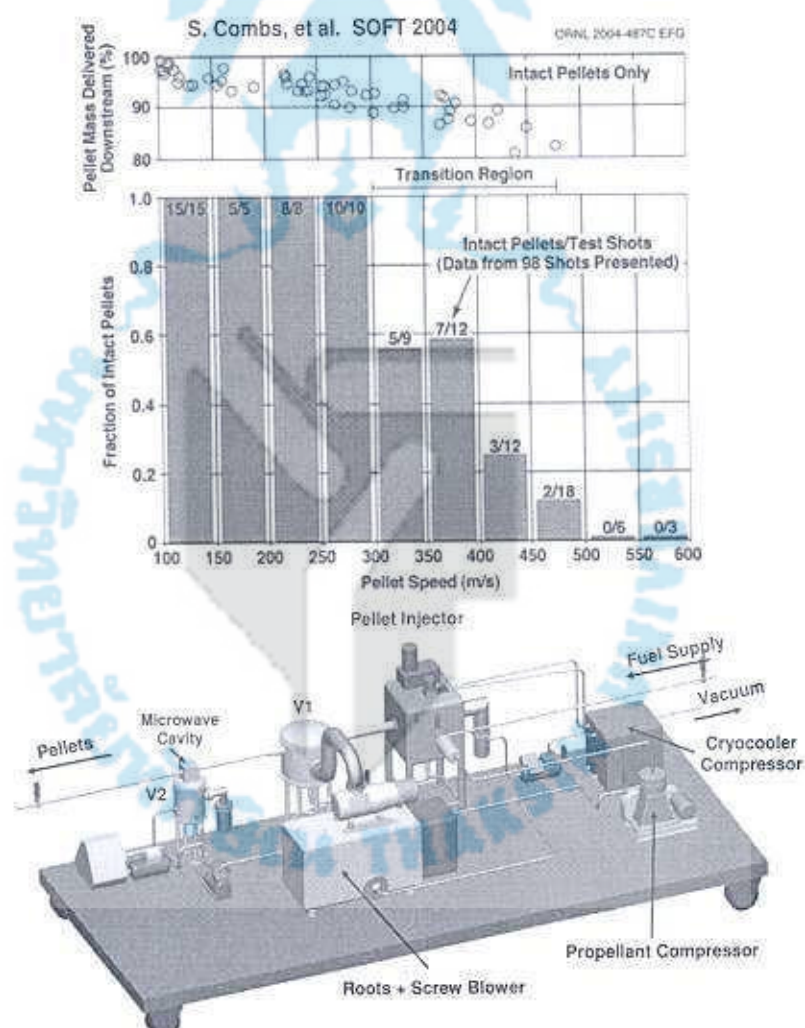
ภาพที่ 1.15 เครื่องบีบอัดเชือกเดี่ยวเพลิงแข็ง [8]



ภาพที่ 1.16 การทดสอบเครื่องบีบอัดตัวหัวรับทำเชือกเพลิงแข็ง [8]



ภาพที่ 1.17 สกรูสำหรับทำเครื่องบินอัคเซ็ปต์ลิฟท์เบร้จ [8]



ภาพที่ 1.18 แผนภาพแสดงระบบนิวเมติกของเครื่องยิงเชื้อเพลิงเบร้จ [8]

1.7 วัตถุประสงค์ของวิทยานิพนธ์

- 1.7.1 เพื่อศึกษาพฤติกรรมของอุณหภูมิและความหนาแน่นของพลาสมาระหว่างการใช้เชือเพลิงแบบแข็งในเครื่องปฏิกรณ์นิวเคลียร์ฟิวชันแบบโทคาแมก
- 1.7.2 ศึกษาแบบจำลองการเสียดกร่อนของเชือเพลิงแข็ง
- 1.7.3 พัฒนาระบบโปรแกรมคอมพิวเตอร์ของแบบจำลองการถ่ายเสียดกร่อนของเชือเพลิงแข็ง เพื่อที่จะศึกษาอันตรายร้ายแรงระหว่างเชือเพลิงแบบแข็งและพลาสม่าในเครื่องปฏิกรณ์นิวเคลียร์ฟิวชันแบบโทคาแมก
- 1.7.4 เพื่อเปรียบเทียบประสิทธิภาพและข้อได้เปรียบของแบบจำลองการเสียดกร่อนแต่ละแบบ
- 1.7.5 หาค่าที่เหมาะสมของความเร็วขนาด และทิศทางของเชือเพลิงแข็งในการเติมเชือเพลิงและควบคุมพลาสม่า

1.8 คุณค่าของวิทยานิพนธ์

- 1.8.1 มีความเข้าใจเกี่ยวกับอุณหภูมิและความหนาแน่นของพลาสมาระหว่างการใช้เชือเพลิงแบบแข็งในเครื่องปฏิกรณ์นิวเคลียร์ฟิวชันแบบโทคาแมก
- 1.8.2 มีความเข้าใจแบบจำลองการถ่ายเสียดกร่อนของเชือเพลิงแข็ง
- 1.8.3 ประยุกต์แบบจำลองการเสียดกร่อนของเชือเพลิงแข็งเพื่อทำนายอุณหภูมิและความหนาแน่นของพลาสมาระหว่างการใช้เพลิงแบบแข็ง
- 1.8.4 มีความเข้าใจในการใช้เชือเพลิงแบบแข็งจากการจำลองแบบทางคอมพิวเตอร์สำหรับการเติมเชือเพลิงและควบคุมพลาสม่า

บทที่ 2

เอกสารและงานวิจัยที่เกี่ยวข้อง

2.1 บทนำ

มากกว่า 30 ปี จนกระทั่งปัจจุบัน ทั้งงานค้านการทดลอง และงานทางด้านทฤษฎีได้รับการศึกษาทำความเข้าใจเกี่ยวกับระบบเติมเชื้อเพลิงด้วยเชือเพลิงแบบแข็ง เช่น งานทั่วหมู่สารรถหาดูได้จากรายงานผลการประชุมทางวิชาการและสารวิจัยต่างๆ สำหรับเครื่องปฏิกรณ์ในปัจจุบันและอนาคต ระบบดีดเชือเพลิงด้วยเชือเพลิงแข็งจะถูกนำมาเป็นระบบที่ถูกนำมาใช้ไม่จำกัด เพียงวัตถุประสงค์ในการเติมเชื้อเพลิงแต่จะถูกนำมาใช้เพื่อควบคุมพลาสม่าด้วย ซึ่งสามารถประยุกต์เข้ากับพลาสมาตรังกลາงและพลาสม่าที่ขอบ ใน การศึกษาครั้งเริ่มแรกนั้นเพื่อที่จะศึกษาความสามารถและประสิทธิภาพของเชือเพลิงแบบเม็ดซึ่งเกี่ยวข้องกับกระแสไฟฟ้าที่ปั่นป่วนทั้งในโหนด L และโหนด H ซึ่งข้อมูลที่ได้จากการทดลองหลายครั้งพบว่า เมื่อฉีดเม็ดเชือเพลิงจากด้านขอบค้านนอกของพลาสม่า โดยที่ประสิทธิภาพของเชือเพลิงถูกนิยามโดยอัตราส่วนของมวลเริ่มนั่นของเชือเพลิงแข็งที่บังคับเหลืออยู่ในพลาสม่าในแต่ละส่วนที่เชือเพลิงแข็งทะลุผ่าน ต่อการเลื่อนตำแหน่งของมวล ซึ่งให้เห็นว่าการเลื่อนของมวลจะเลื่อนตำแหน่งไปในทิศทางของการเพิ่มขึ้นแกรนร่องของโหนดแม่ด ด้วยเหตุผลนี้งานวิจัยส่วนใหญ่จึงมุ่งเน้นเพื่อศึกษาและพัฒนาเทคโนโลยีเพื่อเพิ่มขนาดของความเร็วในการฉีดเชือเพลิงแข็ง เช่น งานวิจัยที่เกี่ยวข้องเหล่านี้สามารถหาได้ในบทความวิจัยทั่วไปเกี่ยวกับระบบเติมเชื้อเพลิงแบบแข็ง [10, 11, 13-15] และการทบทวนวรรณกรรมที่ค่อนข้างจะละเอียดในสองทศวรรษนี้ [11, 13, 15] ในส่วนของเนื้อหาเกี่ยวกับกระบวนการแปรสภาพจากของแข็งไปสู่สภาวะของพลาสมาสามารถศึกษาไว้จาก [15]

ท่ามกลางปรากฏการณ์ที่หลากหลายกระบวนการทางดุลยภาพที่เกิดขึ้นในกระบวนการเสียดกร่อนและกระบวนการส่งผ่านความร้อนโดยอิเล็กตรอน (และไอออน) สู่ก๊าซที่เย็นและหนาแน่นที่ปักลุมเชือเพลิงแข็ง แบบจำลองที่สำคัญซึ่งสอดคล้องกับปรากฏการณ์ค่อนข้างมาก คือแบบจำลองการปักลุมด้วยก๊าซที่เป็นก๊าซ [19] เนื่องจากมีความสามารถที่จะเข้ากันได้กับความหลากหลายของเครื่องปฏิกรณ์ทดลองและใช้ได้ในการส่งผ่านพลังงานของพลาสม่าในช่วงที่กว้าง กระบวนการสำคัญๆ อันอื่นๆ ซึ่งเกิดขึ้นภายหลังสามารถอธิบายเพิ่มเติมจากแบบจำลองนี้ เช่น กระบวนการปักลุมของก๊าซที่ได้รับการไอออนในชี [10, 11] และประจุซึ่งเกี่ยวพันกับกระแสไฟฟ้าพื้นหลัง [14] การศึกษาปรากฏการณ์ต่างๆ ที่เกิดขึ้นผ่านกระบวนการวัดความหนาแน่น

อุณหภูมิ มิติ ได้ถูกศึกษาในหลายสภาวะ (วัสดุที่ใช้ในการทำเชือเพลิงแข็ง เช่น เงินไบพลาสma ในหลากหลายเครื่องปฏิกรณ์) ทำให้ได้มาซึ่งชุดข้อมูลในปัจจุบันเพื่อทดสอบการเข้ากันได้กับแต่ละแบบจำลองซึ่งสามารถศึกษาได้จากการศึกษาของมิโรลาร์(Milora S.L.) [20] ซึ่งประเด็นในการศึกษามุ่งศึกษาเกี่ยวกับการเพิ่มความหนาแน่นตรงใจกลางของพลาสma และศึกษาปรากฏการณ์ “การสูญเสียมวลอ่ายกระทันหัน” ซึ่งนำมาสู่ข้อจำกัดเกี่ยวกับประสิทธิภาพของการยิงเม็ดเชือเพลิงแข็งสู่ใจกลางของพลาสma ซึ่งเกี่ยวพันกับการเลื่อนตำแหน่งมวลเมื่อเทียบกับเส้นทางการเปลี่ยนสถานะจากของแข็งเป็นพลาสma

ซึ่งโดยสรุปแล้วงานวิจัยส่วนใหญ่ที่เกี่ยวกับเชือเพลิงแข็งจะมุ่งเน้นไปที่บนวนการแปลงสภาพจากของแข็งไปเป็นพลาสma โดยนำเสนอผ่านแบบจำลองการเสียดกร่อนชนิดต่างๆเพื่อทำความเข้าใจกับปรากฏการณ์ต่างๆที่เกิดขึ้นนำมาซึ่งการนำเชือเพลิงแข็งไปใช้ไม่ว่าในการเติมเชือเพลิงหรือการควบคุมพลาสma ในเครื่องปฏิกรณ์นิวเคลียร์แบบฟิวชัน

2.2 นิยามของพลาสma

พลาสma คือสภาพส่วนที่เป็นกลางชั่วขณะของประจุและอนุภาคซึ่งมีพฤติกรรมต่อต้านการรวมตัว

2.3 สมการของโนบลามันซ์

สมการของโนบลามันซ์ซึ่งกันดีในเรื่องสมการการส่งผ่านของโนบลามันซ์พิสูจน์โดยโนบลามันซ์ใช้ในการบรรยายเกี่ยวกับค่าทางสถิติของการแยกแข่งของอนุภาคเดี่ยวในของไอล

$$\frac{\partial f}{\partial t} + \frac{\partial f}{\partial x} \cdot \frac{p}{m} + \frac{\partial f}{\partial p} \cdot F = \frac{\partial f}{\partial t} \Big|_{coll} \quad (2.1)$$

2.4 สมการของปั๊วของส์

$$\begin{aligned} \nabla^2 \Phi &= -\frac{\rho}{\epsilon} \\ &= \frac{e}{\epsilon} (n_e - n_i) \end{aligned} \quad (2.2)$$

2.5 ความสัมพันธ์ของความหนาแน่นของโบลามานช์

ในพลาสมาระบบที่ความหนาแน่นของโบลามานช์คือ ความสัมพันธ์ระหว่างความหนาแน่นของอิเล็กตรอน n กับศักย์ของพลาสม่า ϕ

$$n = n_0 e^{\left(\frac{e\phi}{kT_e}\right)} \quad (2.3)$$

2.6 ความยาวเดอบายด์

ในการคำนวณความยาวเดอบายด์คือค่าประสิทธิภาพค่าหนึ่งที่พลาสมาระบบที่สามารถถูกปกคลุมด้วยสนามไฟฟ้า พิจารณาสมการปั่วซองส์

$$\begin{aligned} \nabla^2 \Phi &= -\frac{\rho}{\epsilon} \\ &= \frac{e}{\epsilon} (n_e - n_i) \end{aligned}$$

สมมติให้ความหนาแน่นของอิเล็กตรอนในช่วงที่ไม่มีความต่างศักย์มีค่าเท่ากับความหนาแน่นของไอออนดังนี้

$$n_i = n_0$$

นำค่าความหนาแน่นและความสัมพันธ์ของโบลามานช์มาใส่ในสมการปั่วซองส์และขยายด้วยอนุกรม泰勒ร์จะได้

$$\begin{aligned} \nabla^2 \Phi &= \frac{e^2 n_0 \phi}{\epsilon k T} \\ \phi &= \phi_0 \exp\left(\frac{-|r|}{\lambda_{Debye}}\right) \end{aligned}$$

แก้สมการดิฟเฟอร์เรนเชียลได้ผลลัพธ์เป็น

$$\lambda_{Debye} = \left(\frac{e^2 n_0}{\epsilon k T} \right)^{\frac{1}{2}} \quad (2.4)$$

2.7 สมการสถานะ

ในการขยายแบบไอเดียแบบติกของกําชเรานารถอาศัยความสัมพันธ์ทางเทอร์โน่ไนโตริกส์ หากการส่งผ่านความร้อนได้เป็น $\Delta Q = 0$ เราสามารถเขียนความสัมพันธ์ได้เป็น

$$p\Delta V = -\Delta u = -C_v\Delta T \quad (2.5)$$

เมื่อ p คือความดัน V คือปริมาตร n คือพลังงานภายใน T คืออุณหภูมิและ C_v คือค่าความจุความร้อนที่ปริมาตรคงที่
จากกฎของกําชจะได้

$$p\Delta V + V\Delta p = R\Delta T = (C_p - C_v)\Delta T \quad (2.6)$$

เมื่อ R คือค่าคงที่ของกําช และ C_p คือค่าความจุความร้อนที่สภาวะความดันคงที่ รวมสมการ 2.5 และ 2.6 จะได้

$$\frac{\Delta p}{p} = -\gamma \frac{\Delta V}{V} \quad (2.7)$$

เมื่อ อินทิเกรต สมการที่ 2.7 โดยอาศัยผลจากกฎของกําชอุณหกติในสมการที่ 2.5

$$pV^\gamma = \text{constant} \quad (2.8)$$

พิจารณาในกรณีที่ไปแต่ละโมเลกุลของกําชอุณหกติมีค่ารีความเป็นอิสระ q จากทฤษฎี การแบ่งเท่ากันของพลังงาน แต่ละองค่าความเป็นอิสระมีค่าพลังงานเป็น $(1/2)k_B T$ ต่อโมเลกุล เมื่อ k_B คือค่าคงที่โบลมาเนซ์ จะได้ค่าพลังงานภายใน U ของ N โมเลกุล

$$U = qNk_B T = qnRT \quad (2.9)$$

เมื่อ N คือจำนวนโมล, พลังงานภายในต่อโมล U คือ

$$u = \frac{U}{n} = \frac{q}{2} RT \quad (2.10)$$

เพราะว่าความถูกความร้อนจำเพาะที่ความดันคงที่ถูกนิยามเป็น

$$C_v = \left(\frac{\partial u}{\partial T} \right)_v \quad (2.11)$$

จะได้

$$C_v = \frac{q}{2} R \quad (2.12)$$

จากความสัมพันธ์ทางเทอร์โน่ไดนามิกส์

$$C_p = C_v + R \quad (2.13)$$

รวมสมการ 2.11 และ 2.12 จะได้

$$C_p = \frac{q+2}{2} R \quad (2.14)$$

สมการ 2.12 และ 2.13 สามารถรวมกันได้และให้ผลลัพธ์เป็น

$$\gamma = \frac{q+2}{q} \quad (2.15)$$

2.8 สมการของแมกไวล์ส์

เป็นสมการที่อธิบายความสัมพันธ์ระหว่างสนามไฟฟ้ากับสนามแม่เหล็กซึ่งเป็นพื้นฐานที่สำคัญอย่างมากในการคำนวณเกี่ยวกับเครื่องปฏิกรณ์นิวเคลียร์แบบฟิวชัน

$$\left. \begin{array}{l} \nabla \times E = -\frac{\partial B}{\partial t} \\ \nabla \times H = J + \frac{\partial D}{\partial t} \\ \nabla \cdot D = \rho_v \\ \nabla \cdot B = 0 \end{array} \right\} \quad (2.16)$$

2.9 การแยกแจงแบบโนบลามานซ์

ในวิชาฟิสิกส์และคณิตศาสตร์ การแยกแจงแบบโนบลามานซ์คือ พังก์ชันการแยกแจงแบบเจาะจงหรือการวัดความน่าจะเป็นสำหรับการแพร์ของแต่ละสถานะของระบบ ในกรณีพิเศษของการกระจายแบบโนบลามานซ์ สามารถใช้สำหรับรายความเร็วของอนุภาคในสถานะก้าว ซึ่งถูกเรียกว่าการแยกแจงแมกไวล์ส์โนบลามานซ์ ในเชิงคณิตศาสตร์โดยทั่วไป การแยกแจงแบบโนบลามานซ์ ยังรักษาคืนได้ในข้อของการวัดแบบกิฟ การแยกแจงแบบโนบลามานซ์ซึ่งเขียนอยู่ในรูปอัตราส่วนของอนุภาค N_i/N ซึ่งขึ้นจากของอนุภาคของสถานะ i และพลังงาน E_i คือ

$$\frac{N_i}{N} = \frac{g_i e^{-E_i/(k_B T)}}{Z(T)} \quad (2.17)$$

เมื่อ k_B คือค่าคงที่โนบลามานซ์ T คืออุณหภูมิ g_i คือสถานะซ้อนสถานะ (หมายถึงจำนวนสถานะที่มีพลังงาน E_i) N คือจำนวนอนุภาคทั้งหมดและ $Z(T)$ คือพาร์ทิชันพังก์ชัน

$$N = \sum_i N_i$$

$$Z(T) = \sum_i g_i e^{-E_i/(k_B T)}$$

สำหรับระบบโดยเดียวที่อุณหภูมิถูกระบุอย่างชัดเจน ระบบจะให้ความน่าจะเป็นซึ่งอยู่ในสถานะที่เจาะจง การประยุกต์ใช้การกระจายแบบโนบลามานซ์นี้ สามารถใช้ได้ในกรณีที่อนุภาคอยู่

ในสภาวะที่มีอุณหภูมิและความหนาแน่นต่ำเพียงพอ ที่จะลดความสำคัญจากผลกระทบทางความตันและแต่ละอนุภาคที่สอดคล้องกับสถิติแบบแมกเวลล์-โบลามานซ์ การแจกแจงแบบแมกเวลล์-โบลามานซ์ถูกแสดงบ่อยครั้งในเทอมของ $\beta = 1/kT$ เมื่อ β ข้างอิงถึงค่าทางเทอร์โมไนติกส์เบتا

เทอมของ $e^{-\beta E_i}$ หรือ $e^{-E_i/(kT)}$ ให้ความสัมพันธ์กับความน่าจะเป็นของสถานะซึ่งถูกเรียกว่า โบลามานซ์เฟกเตอร์ซึ่งพบบ่อยครั้งในการศึกษาเกี่ยวกับพิสิกส์และเคมีในบางกรณีสามารถประมวลค่าโดยอาศัยความต่อเนื่อง ถ้ามีจำนวนสถานะ $g(E)dE$ ซึ่งมีพลังงาน E ถึง $E+dE$ ดังนั้นการแจกแจงแบบโบลามานซ์ซึ่งทำนายด้วยความน่าจะเป็นของการแจกแจงพลังงานเป็น

$$p(E)dE = \frac{g(E)e^{-\beta E}}{\int g(E')e^{-\beta E'}dE'} dE \quad (2.18)$$

เมื่อ $g(E)$ คือความหนาแน่นของสถานะและスペกตรัมของพลังงานมีค่าต่อเนื่อง อนุภาคในเชิงคลาสสิกที่มีการแจกแจงพลังงานแบบนี้ถือว่าสอดคล้องกับสถิติแบบแมกเวลล์-โบลามานซ์ ในกรณีที่ข้อจำกัดเชิงคลาสสิก เช่น $E/(kT)$ มีค่ามากๆ หรือกรณีค่าความหนาแน่นสถานะมีค่าน้อย เมื่อฟังก์ชันคลื่นของความน่าจะเป็นของอนุภาคอยู่ระหว่างการแจกแจงแบบโบลามานซ์ไอส์ไตน์ หรือเฟอร์มิเดรอกอนุภาคจะมีการแจกแจงแบบแมกเวลล์-โบลามานซ์ การแจกแจงแบบแมกเวลล์-โบลามานซ์ถูกประยุกต์เข้ากับก้าวอุดมคติ ที่เข้าสู่สมดุลย์ทางเทอร์โมไนติกส์ โดยละเอียดผลกระทบทางความตันและความเร็ว ซึ่งไม่ได้เป็นความเร็วแบบสัมพันธภาพ นำมาสู่พื้นฐานทางทฤษฎีจลน์ของก้าว ซึ่งอธิบายหลักผลยุติสมบัติพื้นฐานของก้าว รวมถึงความดันและการแพร่ โดยปกติการแจกแจงแบบแมกเวลล์-โบลามานซ์ถูกใช้เพื่อแสดงรูปแบบการแจกแจงอัตราเร็วของโมเลกุล แต่ก็ยังมีการนำมาอ้างอิงถึงการแจกแจงของความเร็ว โมเมนตัม ขนาดของโมเมนตัมของโมเลกุล ซึ่งมีความแตกต่างกันในแต่ละฟังก์ชันการแจกแจงแต่ทุกรูปแบบก็มีความสัมพันธ์กัน

การแจกแจงของโมเมนตัมสามารถแสดงให้เห็นได้โดยผ่านความสัมพันธ์ของการแจกแจงของพลังงาน

$$\frac{N_i}{N} = \frac{g_i e^{-E_i/(kT)}}{\sum_j g_j e^{(-E_j/kT)}}$$

เพราะว่าทั้งอัตราเร็วและความเร็วสัมพันธ์กับพลังงาน สมการ 2.18 สามารถใช้แสดง ความสัมพันธ์ระหว่างความเร็วและอุณหภูมิของก๊าซ อุดมคติเศษส่วนซึ่งปรากฏในสมการ รู้จักกัน ในนามฟังก์ชันค่าโนนีคอลซึ่งถูกแสดงโดยที่มาแตกต่างกันจากการอธิบายของแมกเวลล์และ โบลมาನซ์ ในกรณีของก๊าซอุดมคติ ซึ่งประกอบด้วยอะตอมที่ไม่มีอัตรากริยาต่อกันในสถานะพื้น พลังงานทั้งหมดอยู่ในรูปของพลังงานจลน์ ความสัมพันธ์ระหว่างพลังงานจลน์และโมเมนตัมของ อนุภาคคือ

$$E = \frac{p^2}{2m}$$

เมื่อ p^2 คือค่ายกกำลังสองของโมเมนตัมเวกเตอร์ $p = [p_x, p_y, p_z]$ เราสามารถเรียบ เรียงสมการ 2.11 ได้ใหม่เป็น

$$\frac{N_i}{N} = \frac{1}{Z} e^{-\left[\frac{p_x^2 + p_y^2 + p_z^2}{2mkT} \right]}$$

การแจกแจงของ N_i/N คือสัดส่วนของฟังก์ชันความหนาแน่นของความน่าจะเป็น f_p ซึ่งสามารถเขียนในรูปฟังก์ชันการแจกแจงของโมเมนตัมได้เป็น

$$f_p(p_x, p_y, p_z) = \frac{c}{Z} e^{-\left[\frac{p_x^2 + p_y^2 + p_z^2}{2mkT} \right]} \quad (2.19)$$

ค่าคงที่ปกติ C สามารถหาได้โดยความจริงที่ว่า ค่าความน่าจะเป็นของโมเลกุลที่มี โมเมนตัมแต่ละค่ารวมกันต้องเท่ากันหนึ่ง ดังนั้นการอินทิเกรตสมการ การแจกแจงของโมเมนตัม p_x, p_y และ p_z จำเป็นต้องเท่ากันหนึ่ง

$$c = \frac{Z}{(2\pi mkT)^{3/2}}$$

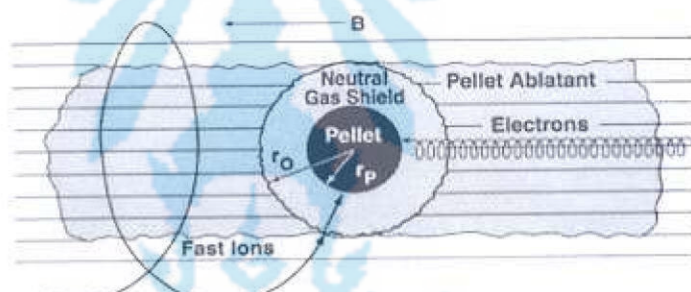
จะได้นำมาซึ่ง

$$f_p(p_x, p_y, p_z) = \left(\frac{1}{2\pi mkT} \right)^{3/2} \quad (2.20)$$

ซึ่งแสดงให้เห็นว่า ขีนอุบัติปัจจิ p_x, p_y และ p_z ด้วยความประพันของ mkT และแสดงให้เห็นถึงขนาดของ โนเมนตัมจะแยกแจงแบบแมกเวลล์โดยสามารถคำนวณได้ด้วยค่า $a = \sqrt{mkT}$ คล้ายกันกับการแยกแจงของ โนเมนตัม การแยกแจงของความเร็วที่สามารถพิสูจน์ได้ด้วยวิธีที่คล้ายกัน สำหรับการแยกแจงของความเร็วของอนุภาคในทิศ V คือ

$$f_v(v_i) = \sqrt{\frac{m}{2\pi kT}} e^{-\frac{mv_i^2}{2kT}} \quad (2.21)$$

2.10 แบบจำลองการเสียดกร่อนของชื้อเพลิงแข็ง



ภาพที่ 2.1 แผนภาพแสดงแบบจำลอง NGS กระบวนการเสียดกร่อนและรูปร่าง [14]

2.10.1 แบบจำลองการเสียดกร่อนแบบปักดูมด้วยก้าชที่เป็นกลา (Neutral Gas Shield model) เป็นแบบจำลองไฮโตรไดนามิกส์ที่ได้รับการพัฒนาจากไฮโตรไบปองเชื้อเพลิงแข็งไฮโตรเจนโดยสมมติให้เกิดอันตรภิษำในสภาวะที่มีเสถียรภาพไม่มีกั่นกระแทกในการให้แบบทราบใช้นิยมคูลในเชิงทรงกลมทั้งพลังงานที่กระบวนการเสียดกร่อนเชื้อเพลิงแข็ง กั่นหมอกและการขยายตัวของเชื้อเพลิงแข็งที่ได้รับการเสียดกร่อน โดยมีแบบจำลองที่ได้รับการพัฒนาคล้ายกัน คือแบบจำลองของมิรอลาร์และคันบักของパーค (Parks P.B.) และเทิร์นบูลล์ (Turnbull R.J.) [24-27] ในโมเดลนี้โดยปกติสมการอนุรักษ์ไฮโตรไดนามิกส์ของมวล โนเมนตัมและพลังงานแสดงผ่านในรูปแบบของความร้อนที่ได้รับการถ่ายเทในกั่นหมอกโดยการขนแลกเปลี่ยนพลังงานและส่งผ่านอนุภาคเป็นกลาที่ได้รับการเสียดกร่อนจากแบบจำลองนี้หลังจากที่เชื้อเพลิงแข็งได้รับผลกระทบพลังงานของพลาสมາอิเล็กตรอนจะเกิดการก่อตัวของกั่นหมอกที่เป็นกลาของอนุภาคเพื่อป้องกันผลกระทบจากพลาสมາอิเล็กตรอน เกิดการชนทั้งแบบบีดหุ้นสมบูรณ์และบีดหุ้นไม่สมบูรณ์ของอิเล็กตรอนจากกระแสพลาสม่า กระบวนการเหล่านี้ทำให้พลาสมາอิเล็กตรอนเดินทาง

ข้างลงและเกิดการกระจายของพลาสม่าอิเล็กตรอนที่ชนกับอนุภาคเป็นกลางในกลุ่มหมอกที่มาปักคุณทำให้เวลาของการเสื่อมสภาพของเชื้อเพลิงแซ่บแข็งยานานขึ้นหรืออาจกล่าวได้ว่ากลุ่มหมอกที่เกิดขึ้นจากการเสียดกร่อนเป็นตัวกลางในการปักป้องเชื้อเพลิงแซ่บแข็งโดยการหยุดการเคลื่อนที่ของพลาสม่าอิเล็กตรอน อย่างไรก็ตามกลุ่มหมอกที่ปักคุณนี้แตกต่างกันกับตัวกลางการขัดขวางที่เป็นของแข็ง เพราะว่าความสามารถในการขัดขวางขึ้นอยู่กับกลุ่มหมอกอิเล็กตรอนนี้ ความหนาแน่นของตัวกลางภายในได้ก่อให้เกิดการขยายตัวแบบไฮโคล ไดนามิกส์ การขยายตัวของกลุ่มหมอกขึ้นอยู่กับทิศทางของพลังงานที่ตัดกระแทบที่ผิวของเชื้อเพลิงแซ่บแข็ง ด้วยเหตุผลนี้อาจจะคาดการณ์ได้ย่างชัดแจ้งว่าการกลایเป็นໄโอที่ผิวของเชื้อเพลิงแซ่บแข็งมีผลกระแทบท่อระบบการขยายตัวของการเสียดกร่อนซึ่งหลังจากนั้นจะส่งอิทธิพลต่อการดูดซับพลังงานของกลุ่มหมอกเพื่อจะให้การปักคุณที่มีประสิทธิภาพฟลักซ์พลังงาน q_p ของอิเล็กตรอนที่ผิวของเชื้อเพลิงแซ่บแข็งได้รับถือว่ามีค่าน้อยขณะที่การขยายตัวใกล้กับผิวของเชื้อเพลิงแซ่บแข็ง อุณหภูมิ T_v ของการขยายตัวที่ผิวถือว่ามีค่าต่ำเมื่อเปรียบเทียบกับค่า q^* และ T^* ของการขยายตัวที่รัศมีโซนิก สมมติให้ $\hat{q} = q_p/q^* = 0$ และ $\hat{T} = T_v/T^* = 0$ เป็นขอบเขตภายในของเงื่อนไขของการขยายตัวจากสมการของแบบจำลองการปักคุณเงื่อนไขขอบเขตนี้สามารถแสดงให้เห็นว่ากระบวนการระเบยของเชื้อเพลิงแซ่บแข็งตกลงได้กระบวนการดูดความร้อนโดยมีเงื่อนไขขอบเขตและสมการบังคับค่าคงที่ที่จะแสดงให้เห็นต่อไปโดยข้อสมมติฐานหลักของแบบจำลองของปาร์คและเทร์นบูล มีดังนี้

2.10.1.1 การแยกແຈງແບບແນກເວລີ່ມຂອງພลาສມາອີເລັກຕຣອນຄູກແທນທີ່ດ້ວຍລຳພລັງຈານແບບເຊີງເດືອວ່າມີຟລັກຊີ່ພລັງຈານແລະຄວາມໜານແນ່ນຂອງອີເລັກຕຣອນຄົງທີ່

2.10.1.2 ນວລທີ່ຄູກເສີດກຮ່ອນທີ່ກຳຫັນດີໃຫ້ເປັນກໍາຊຸດມຄດທີ່ອັຕຣາສ່ວນຂອງຄວາມຈຸຄວາມຮ້ອນໃນໝະທີ່ຄວາມດັນຄົງທີ່ແລະປຣິມາຕຣຄົງທີ່ມີຄ່າຄົງທີ່ γ

2.10.1.3 ກາຮຢາຍຕົວເກີດຂຶ້ນແບບສົມນາຕຽນສກວະສົມຄຸດຂໍ້ວໝະ

2.10.1.4 ອັຕຣາສ່ວນຟລັກຊີ່ພລັງຈານຂອງອີເລັກຕຣອນທີ່ຄູກໃຫ້ໃນກາຮໄກ້ຄວາມຮ້ອນໃນກາຮເສີດກຮ່ອນແລະກາຮຢາຍໃນແນວຮັກມີ

ດ້ວຍສົມນີຫຼານເຫັນເຖິງກາຮຢາຍຕົວຂອງນວລທີ່ໄດ້ຮັບກາຮເສີດກຮ່ອນສາມາດແສດງໄດ້ດ້ວຍຮະບນສົມກາຮ້າງລ່າງເຫັນ

$$P = \rho \frac{kT}{m} \quad (2.22)$$

$$\rho v r^2 = G/4\pi \quad (2.23)$$

$$\rho v dv/dr + dp/dr = 0 \quad (2.24)$$

$$\rho v \frac{d}{dr} \left[\frac{\gamma}{\gamma-1} \frac{kT}{m} + \frac{v^2}{2} \right] = \frac{dq}{dr} \quad (2.25)$$

$$\frac{dq}{dr} = \frac{\rho}{m} q \Lambda(E) \quad (2.26)$$

$$\frac{dE}{dr} = 2 \frac{\rho}{m} L(E) \quad (2.27)$$

$$\Lambda(E) = 2 \frac{L(E)}{E} + \sigma(E) \quad (2.28)$$

จากระบบสมการนี้ m คือมวลของโมเลกุลไไซโตรเจน

G คืออัตราการเสียดกร่อนของมวลของเชื้อเพลิงแทร็ง

$L(E)$ คือฟังก์ชันการสูญเสีย

$\Lambda(E)$ คือประสิทธิภาพของภาคตัดขวาง สำหรับพลังงานที่มารับกวนระบบ

ประกอบด้วย 2 ส่วนคือ

$2L(E)/E$ สำหรับภาคตัดขวางหยุดนิ่งแสดงผ่านการชนแบบยึดหยุ่นไม่สมบูรณ์

$\sigma(E)$ สำหรับภาคตัดขวางการกระจายแสดงผ่านการชนแบบยึดหยุ่นสมบูรณ์ โดยที่

$$\begin{aligned} \sigma(E) [cm^2] &= 8.8 \times 10^{13} E^{-1.71} - 1.62 \times 10^{-12} E^{-1.932} && \text{สำหรับ } E > 100eV \\ &= 1.13 \times 10^{-14} E^{-1} && \text{สำหรับ } E < 100eV \end{aligned} \quad (2.29)$$

$$L(E) [eV - cm^2] = \{ 2.35 \times 10^{14} + 4 \times 10^{11} E + 2 \times 10^{17} E^{-2} \}^{-1} \quad (2.30)$$

โดยค่าพารามิเตอร์ที่รักมีความเร็วเสียงถูกแสดงโดยสัญลักษณ์ดอกจันทร์สมการทั้งหลายที่ได้กล่าวแล้วข้างบนนี้สามารถแสดงให้สอดคล้องกันในตัวแปร ไรเมิติได้ดังนี้ เช่น $r' = r/r^*$, $\rho' = \rho/\rho^*$, $\Lambda(E)/\Lambda(E^*)$ โดยการคำนวณ ρ' และ p' เราสามารถแทนที่สมการ โนเมนตัมและ

พลังงานด้วยคู่ของสมการที่บรรยายถึง v' และ T' โดยแสดงผ่านการเปลี่ยนแปลงของอุณหภูมิ และพลังงานคงที่ของการไหลที่ถูกเสียดกร่อนดังนี้จะได้

$$2\pi \left(\frac{\gamma-1}{\gamma} \right) \frac{q^* \rho^* r^{*3} \Lambda^*}{kT^* G} - 1 = 0 \quad (2.31)$$

$$4\pi r^{*2} q^* = 2 \frac{G}{\rho^* \Lambda^* r^* \gamma - 1} \frac{\gamma k T^*}{\gamma - 1} \quad (2.32)$$

$$\lambda^* = \rho^* \Lambda^* r^* / m \quad (2.33)$$

$$\frac{dq}{dr} = 2\lambda^* \left(\frac{L}{E^* \Lambda^*} \right) \frac{1}{r^2 v} \quad (2.34)$$

ในเชิงพิสิกส์ $m\lambda^*$ สามารถแสดงถึงตัวกลางการหดตัวรัศมีโซนิก เพราะ $T^* = v^* = 1$ ที่ $r^* = 1$ ที่จะให้ค่า dv'/dr' ถูกนิยาม จำเป็นต้องจำกัดเทอมในวงเล็บสี่เหลี่ยมจะได้

$$\frac{A^* \lambda^*}{2} = 1 \quad (2.35)$$

หรือ

$$2\pi \left(\frac{\gamma-1}{\gamma} \right) \frac{q^* \rho^* r^{*3} \Lambda^*}{kT^* G} - 1 = 0 \quad (2.36)$$

ความหมายของสมการที่ 2.3.7 จะชัดเจนยิ่งขึ้นถ้าเขียนในอิฐปูแบบหนึ่ง

$$4\pi r^{*2} q^* = 2 \frac{G}{\rho^* \Lambda^* r^*} \frac{\gamma k T^*}{\gamma - 1} \quad (2.37)$$

เพราะว่า $\rho^* \Lambda^* r^*$ คือมวลทั้งหมดของวัสดุที่ถูกเสียดกร่อนของรัศมีโซนิกเป็นส่วนหนึ่งของเฟกเตอร์ 2 ดังนั้นข้างหนึ่งของสมการจึงแสดงถึงเทอมของพลังงานความร้อน ที่รัศมีโซนิกหรืออาจจะกล่าวได้ว่าการไหลจะเป็นการไหลแบบโซนิกเมื่อเทอมของพลังงานความร้อนเท่ากับเทอมของพลังงานคงที่ดังนั้นสมการ 2.37 จึงเป็นอย่างอื่นเสียไม่ได้นอกจากแสดงให้เห็นถึงการอนุรักษ์ของพลังงานที่รัศมีโซนิกโดยที่

$$\frac{dv}{dr} = 2 \frac{vT}{T-v^2} \left[\frac{\Lambda q}{Tv} - \frac{1}{r} \right] \quad (2.38)$$

$$\frac{dT}{dr} = 2 \frac{\Lambda q}{v} - (\gamma - 1)v \frac{dv}{dr} \quad (2.39)$$

$$\frac{dq}{dr} = \lambda^* \frac{\Lambda q}{r^2 v} \quad (2.40)$$

$$\frac{dq}{dr} = 2\lambda^* \left(\frac{L}{E^* \Lambda^*} \right) \frac{1}{r^2 v} \quad (2.41)$$

$$\rho v r^2 = 1 \quad (2.42)$$

$$P = \rho T \quad (2.43)$$

ค่าตัวเลขสำคัญของการ ไอลคีอ

$$M = (v^2/T)^{1/2} \quad (2.44)$$

ค่าพารามิเตอร์ของการ ไอลทุกตัวยกเว้นพลังงาน E ของระบบสมการข้างบนถูกทำให้เป็นปกติโดยเทียบกับค่ารัศมีของการ ไอลตรงรัศมีโซนิก พลังงานของอิเล็กตรอนที่ต่อกระบทของรัศมีการ ไอลโซนิกที่ $r=1$ ถูกทำให้เป็นปกติแสดงโดยค่า E^* ดังนี้ $E' = E/E^*$ คือพลังงานของอิเล็กตรอนที่ถูกทำให้เป็นปกติจาก $L(E)/E^*$ มีมิติอยู่ในรูปของภาคตัดขวาง $L(E)/E^* \Lambda^*$ ไม่มีหน่วย สมการข้างบนซึ่งประกอบไปด้วยค่าพารามิเตอร์สองตัวคือ λ^* และ Λ^* ถูกนิยามเป็น

$$\lambda^* = \rho^* \Lambda^* r^* / m \quad (2.45)$$

$$\Lambda^* = \Lambda(E) \quad (2.46)$$

โดยที่ λ^* และ Λ^* ขึ้นอยู่กับ E^* ค่าพลังงานของอิเล็กตรอนที่ต่อกระบทที่รัศมีโซนิกถูกระบุโดยสมการที่ 2.28, 2.29 และ 2.30 เมื่อค่า E^* ถูกเลือก $\Lambda^* = \Lambda^*(E^*)$ จะถูกบังคับอย่างไรก็ตาม ค่า λ^* จะถูกแสดงในลำดับตัวมาซึ่งมีหลายค่าในช่วงที่จำกัด

ที่ทรงรัศมีโซนิก $r=1$ ทุกพารามิเตอร์ของการไฟลและ Λ' มีค่าเป็น 1 ขณะที่ค่า dv/dr ไม่สามารถระบุได้ เมื่อรู้ค่า E^* จะให้ออนุพันธ์ $(dv/dr)_{r=1} = Z_s$ มีค่าดังแสดงโดยขึ้นอยู่กับพารามิเตอร์ λ^* ซึ่งสามารถพิจารณาโดยค่าไอกนของปัญหาจากสมการที่ 2.39-2.41 ซึ่ง $r=1$

$$\frac{dT}{dr} = 2 - (\gamma - 1) Z_s \quad (2.47)$$

$$\frac{dq}{dr} = \lambda^* \quad (2.48)$$

$$\frac{dE}{dr} = 2 \frac{\Lambda^* L(E^*)}{E^* \Lambda^*} \quad (2.49)$$

โดยที่ Z_s สามารถหาได้จากสมการ 2.38 โดยการประยุกต์กฎของโลปิตาล ทำให้เกิดสมการความต่อเนื่องของ Z_s ซึ่งคำตอบของสมการแสดงให้เป็น

$$Z_s = \left(\frac{3-\gamma}{1+\gamma} \right) \left\{ 1 \pm \sqrt{1 - 2 \frac{1+\gamma}{(3-\gamma)^2} \left[\lambda^* - 1 \left(\frac{d\Lambda}{dr} \right)_{r=1} \right]} \right\} \quad (2.50)$$

เพื่อความสะดวกในการแก้สมการ จึงแทนค่า λ^*

$$K = \lambda^* + \left(\frac{d\Lambda}{dr} \right)_{r=1} \quad (2.51)$$

โดยในเบื้องต้นจะเห็นได้ว่าค่า Z_s จะเป็นจำนวนจริงอย่างไรก็ตามในกรณีที่เราต้องการคำตอบ $dv/dr > 0$ ในการไฟล Z_s จำเป็นต้องมีค่าเป็นบวก ยิ่งกว่านั้นถ้าเราต้องการค่าที่เป็นบวกได้ดังแสดงไว้แล้วหลังจากค่าของ E^* ถูกกำหนดเพื่อให้ได้ค่าที่สอดคล้องของ λ^* จำเป็นจะต้องเลือกค่าของ K ให้อยู่ใน 0 -1

ในมุมมองของพลังงาน การกล้ายเป็นไอที่ต่ำของดิวเทอเรียมแข็งเพื่อแสดงค่าคาดหวังของกลไกการปักลูมตัวของเงื่อนไขที่ขอบเขตของเชื้อเพลิงแร่แข็ง $\hat{r} = r_p/r^*$ อาจเปลี่ยนได้เป็น

$$q(\lambda^*, E^*) = 0 \quad (2.52)$$

$$T(\lambda^*, E^*) = 0 \quad (2.53)$$

เมื่อนำไปขอนเบตที่ระยไกจากทางผิวนากๆ $r \geq r_m$ สามารถแสดงได้เป็น

$$q(\lambda^*, E^*) \rightarrow \tilde{q} \approx q_0/q^* \quad (2.54)$$

$$E(\lambda^*, E^*) \rightarrow \tilde{E} \approx E_0/E^* \quad (2.55)$$

หรือเขียนในรูปแบบหนึ่งได้เป็น

$$\frac{dq}{dr} \rightarrow 0, \frac{dE}{dr} \rightarrow 0 \text{ สำหรับ } r \geq r_m \quad (2.56)$$

โดยการระบุเมื่อนำไปขอนเบตเหล่านี้และกำหนดให้ออนุภาคเทอมอยู่ในเทอมของค่าที่กำหนดให้ E^* และค่าที่ได้รับจาก λ^* หลังจากนั้นเรารายจะจัดหาคำโดยการอินทิเกรตจากพื้นผิวส่วนหนึ่งเข้ามาเพื่อที่จะหาค่าของเบตภายในที่สอดคล้องกับพิวของเชื้อเพลิง เช่น สำหรับค่าคงที่กำหนดให้ E^* หลังจากนั้นจะดำเนินการหาค่า λ^* จนกระทั่งสอดคล้องกับเงื่อนไขกับสมการที่ 2.53 และ 2.54 โดยแท้จริงแล้วสมการที่ 2.53 และ 2.54 ใช้เพื่อระบุตำแหน่งที่พิวของเชื้อเพลิง เช่น ในทำนองเดียวกันเรารายจะพิจารณาเมื่อนำไปขอนเบตจากภายนอกในความหมายระบุถึงตำแหน่งของเบตของกลุ่มหมอกที่ถูกเสียบกร่อน

เพราะว่าพารามิเตอร์ของการไฟลที่ห่างออกไปจะพิจารณาโดยเทียบกับรัศมีโซนิก การได้มามาซึ่งค่าที่แท้จริงนี้ทางฟิสิกส์เป็นสิ่งที่จำเป็นในการพิจารณาค่าที่รัศมีโซนิกเป็นอันดับแรกโดยความจริงที่ว่าการไฟลที่ความเร็วเสียงมวลแบบอนุรักษ์และสถานะของวัสดุที่ถูกเสียบกร่อนสามารถกำหนดให้เป็นก้าชุดมคติเราจึงมีสมการทางคณิตศาสตร์ที่เกี่ยวข้องสามสมการ

$$v^* = \left(\frac{\gamma k T^*}{m} \right)^{\frac{1}{2}} \quad (2.57)$$

$$\rho^* \Lambda^* r^{*2} = \frac{G}{4\pi} \quad (2.58)$$

$$p^* = \frac{\rho^* k T^*}{m} \quad (2.59)$$

และสมการช่วย 2 สมการคือ

$$\left(\frac{\gamma-1}{\gamma}\right) q^* \rho^* \Lambda^* r^{*3} = k T^* \frac{G}{2\pi} \quad (2.60)$$

$$\lambda^* m = \rho^* \Lambda^* r^* \quad (2.61)$$

จากระบบของสมการที่ 5 สมการมีตัวแปรไม่ทราบค่า 8 ตัวແປຣ; G , ρ^* , p^* , T^* , v^* , r^* , q^* และ E^* (ทั้ง λ^* และ Λ^* ขึ้นอยู่กับ E^*) ถ้าเราพิจารณาให้ค่า E^* , r^* และ q^* ได้รับการกำหนดสมการทั้งห้าสมการสามารถแก้ได้เป็น

$$\frac{G}{4\pi} = \frac{\lambda^* m^{*2/3} (q^*)^{1/3} r^{*4/3}}{(2\Lambda^*)^{1/3}} \quad (2.62)$$

$$\rho^* = \frac{\lambda^* m}{\Lambda^* r^*} \quad (2.63)$$

$$k T^* = \frac{m^{1/3}}{\gamma} \left[\frac{(\gamma-1) q^* r^* \Lambda}{2} \right]^{2/3} \quad (2.64)$$

$$v^* = \left[\frac{(\gamma-1) q^* r^* \Lambda}{2m} \right]^{1/3} \quad (2.65)$$

$$\gamma P^* = \left(\frac{m}{\Lambda^* r^*} \right)^{1/3} \left[\frac{(\gamma-1) q^*}{2} \right]^{2/3} \lambda^* \quad (2.66)$$

จาก r^* และ E^* ซึ่งมีความสัมพันธ์กับรัศมีของเชื้อเพลิง เช่น r_p และพลังงานของอิเล็กตรอนที่ไม่ถูกรบกวนจากระบบ E_0 หรือเขียนในรูปแบบของอุณหภูมิพลาสม่าเป็น $2kT_0$ โดยที่

$$r^* = r_p / \hat{r} \quad (2.67)$$

$$E^* = E_0 / \tilde{E} \quad (2.68)$$

$$q^* = q_0 / \tilde{q} = [n_0 (4\pi m_e)^{-1/2} (2kT_0)^{3/2}] / \tilde{q} \quad (2.69)$$

สมการ (2.62-2.69) ที่ถูกแสดงตามลำดับเหล่านี้ สามารถเข้ามายิงกับพลาสma พารามิเตอร์ n_0 , kT_0 และรัศมีของเชือเพลิงแซ่เบ็ง r_p ซึ่งสามารถแสดงได้เป็น

$$G = 8.4125 \times 10^{-17} (\gamma - 1)^{1/3} \frac{\lambda^*}{\Lambda^{*2/3}} \frac{n_0^{1/3} (kT_0)^{1/2}}{\tilde{q}^{1/3}} \left(\frac{r_p}{\hat{r}} \right)^{4/3} \quad (2.70)$$

$$\rho^* = \frac{m\lambda^*}{r^*\Lambda^*}, \lambda^* = \lambda^*(E^*), \Lambda^* = \Lambda^*(E^*) \quad (2.71)$$

$$\rho^* = 3.3452 \times 10^{-24} \left(\frac{\lambda^*}{\Lambda^*} \right) \frac{\hat{r}}{r_p} \quad (2.72)$$

$$kT^* = \frac{m^{1/3}}{\gamma} \left[\frac{(\gamma - 1)r^*\Lambda^*q^*}{2} \right]^{2/3} \quad (2.73)$$

$$kT^* = \frac{8.3592}{\gamma} \left[(\gamma - 1)n_0 \left(\frac{r_p}{\hat{r}} \right) \frac{\Lambda^*}{\tilde{q}} \right]^{2/3} (kT_0) \quad (2.74)$$

โดยปริมาณทั้งหมดถูกแสดงในหน่วย C.G.S. ยกเว้น kT_0 และ kT^* แสดงในหน่วย eV การคำนวณจะขึ้นอยู่กับ \tilde{q} , λ^* , Λ^* และ \hat{r} ใน E^* สมการเหล่านี้ระบุให้เห็นว่าเมื่อกำหนดค่ารัศมีของเชือเพลิงแซ่เบ็งเงื่อนไขของสภาพแวดล้อมเป็นศูนย์ n_0 และ kT_0 อัตรามวลของการเสียครรชั่น G สภาวะการเสียครรชั่น p^* และ kT^* ยังคงไม่สามารถหาค่าได้ในทางปฏิบัติ อาจหาได้จากค่าคาดหวัง \tilde{E} โดยอันดับแรกจำเป็นต้องสูญค่าที่เหมาะสม E^* ($E^* = 2kT_0/E^*$) และการคำนวณค่า \tilde{q} , \hat{r} และ \tilde{E} อันซึ่งนำมาซึ่งการคำนวณค่า r , q และ kT ตามลำดับ

ซึ่งกระบวนการนี้ต้องมีการทำซ้ำจนกระทั่ง ค่าจากการคำนวณของ r_p , q_0 และ kT_0 เข้ากันได้อย่างถูกต้องกับค่าเริ่มต้นที่กำหนดให้ อัตราการเสียคร่องแบบกฎอัตราที่ได้รับการใช้อ้างกว้างของจากแบบจำลองการปักคลุมด้วยก๊าซที่เป็นกลาง (NGS) ถูกแสดงโดยปาร์คและคณะในปี 1970 สำหรับพลาสม่าที่มีอุณหภูมิอยู่ในช่วง 1–30 keV ซึ่งผลลัพธ์สามารถแสดงได้ดังสมการด้านล่าง

$$N = G/m = 1.854 \times 10^7 \frac{\lambda^*}{\Lambda^{*2/3}} \frac{n_0^{1/3} (kT)^{1/2}}{\tilde{q}^{1/3}} \left(\frac{r_p}{\hat{r}} \right)^{4/3} \quad (2.75)$$

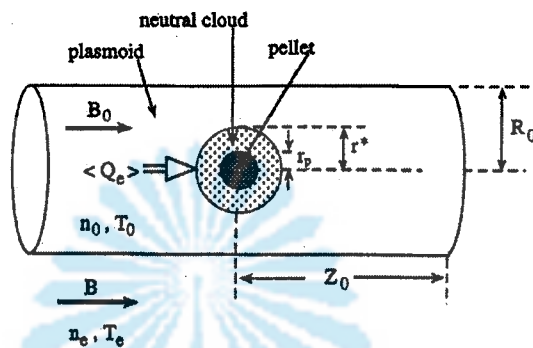
$$\frac{dN}{dt} = 1.12 \times 10^{16} n_e^{333} T_e^{1.64} r_p^{1.333} M_i^{0.333} \quad (2.76)$$

มีการปรับปรุงรูปแบบและขยายแบบจำลองการเสียคร่องการปักคลุมด้วยก๊าซที่เป็นกลางซึ่ง ได้รับการเสนออีกหลายแบบ เพราะว่าพลังงานของพลาสม่า ได้รับการส่งผ่านโดยอนุภาคที่ มีสัดส่วนฟังก์ชันการเปลี่ยนแปลงที่มีพลังงานสูงและผลกระทบของการแยกแยะของพลังงาน ได้รับการวิเคราะห์โดยหากลายในการวิเคราะห์ของคูทีฟ ได้สมมติไว้ให้พลังงานของพลาสม่า อิเล็กตรอนมีการแยกแยะแบบแมกнетิก โดยได้คำนวณผลกระทบของการแยกแยะพลังงานของ อิเล็กตรอนกับอัตราการเสียคร่อง จากการวิเคราะห์แบบ 2 มิติ โดยให้อัตราการเสียคร่อง ได้รับผลกระทบจากการแยกแยะของพลังงานและปรับปรุงรูปร่างของเชือเพลิง เช่น ระหว่างเกิดการเสียคร่องในการคำนวณ โดยกฎอัตราซึ่งได้ผลลัพธ์เป็น

$$\frac{dN}{dt} = 3.465 \times 10^{14} n_e^{0.453} T_e^{1.72} r_p^{1.443} M_i^{-0.283} \quad (2.77)$$

โดยสมการ 2.76 และ 2.77 dN/dt คืออัตราการเสียคร่องในหน่วยอะตอมต่อวินาที n_e และ T_e คือความหนาแน่นของอิเล็กตรอนในหน่วย และอุณหภูมิในหน่วย eV ตามลำดับ r_p คือ รัศมีของเชือเพลิง เช่น ในหน่วยของ cm และ M_i คือหน่วยของเชือเพลิง เช่น ในหน่วย amu

2.9.1 แบบจำลองการเสียดกร่อนโดยการปักลุ่มด้วยก้าชที่เป็นกลางและพลาสม่า



ภาพที่ 2.2 แผนภาพแสดงแบบจำลอง NPGS กระบวนการเสียดกร่อนและรูปร่าง [14]

แบบจำลองในยุคถัดไปของการเสียดกร่อนซึ่งถูกเรียกว่าแบบจำลองการเสียดกร่อนโดยการปักลุ่มด้วยก้าชที่เป็นกลางและพลาสม่า สารเสียดกร่อนที่ถูกไอօอในซึ่งถูกนำมาคำนวณด้วยการขยายตัวแบบสมมาตรทรงกลมถูกแทนที่ด้วยแบบจำลองแบบท่อทรงกระบอกมีทรงกลมวงของทรงกลาฯ แต่อัตราการเสียดกร่อนยังคงถูกคำนวณ บนพื้นฐานของการสมดุลแบบทรงกลมโดยเพิ่มผลกระบวนการอนุภาคที่ถูกไอօอในซึ่งเข้ามาปักลุ่มอีกชั้นหนึ่ง แบบจำลองชนิดนี้ถูกเผยแพร่ครั้งแรกโดยคุฟمانและคพอะ (Kaufmann, M., et al.) ในการศึกษานี้รัศมีของการไหหลอกเลือกโดยพื้นฐานของการสังเกตและประมาณค่า รัศมีที่ถูกไอօอในซึ่งและการส่งผ่านพลังงานกับสีนแรงแม่เหล็ก อัตราการเสียดกร่อนถูกคำนวณผ่านแบบจำลองของปาร์คและเทร์นบูลโดยขึ้นอยู่กับอุณหภูมิและความหนาแน่นของแต่ละตำแหน่ง ในลำดับถัดมาแบบจำลองนี้ได้รับการเผยแพร่โดยชัลเบิร์ก (Houlberg, W.A., et al.) ซึ่งทำผ่านแบบจำลองของมิลอร์ร่าและโลฟลทเตอร์ (Milora, S.L., and Foster, C.A.) โดยเพิ่มผลกระบวนการในรูปสัดส่วนของการปักลุ่มด้วยส่วนที่ถูกไอօอในซึ่โดยรัศมีของภาคตัดขวางของช่องการไหหลอกในแบบจำลองนี้เท่ากับรัศมีของเชือเพลิงแท้และมากกับค่าคงที่ที่ถูกเลือกแบบอิเมเนเพอร์ริคอล 1 นม.

แบบจำลองการเสียดกร่อนในลำดับถัดมาถูกพัฒนาและเผยแพร่โดยเปกูรี (Pegourie, B.) ซึ่งพัฒนานบนพื้นฐานแบบจำลองของชัลเบิร์กและคพอะ การไหหลอกสารที่ได้รับการเสียดกร่อนซึ่งมีการสมมาตรในขณะหนึ่งได้รับการรับกวนโดยสามารถแม่เหล็กขึ้นอยู่กับสัดส่วนของการไอօอในซึ่ และตกลอยู่ใต้อิทธิพลภายในของสนามแม่เหล็กในที่สุด การขยายตัวของพลาสม่าที่หนาแน่นและเย็นก็จะเคลื่อนตัวไปบนานกับสนามแม่เหล็กดังภาพที่ 2.2 โดยแบบจำลองได้แยกส่วนที่ปักลุ่ม

ออกเป็นสองส่วน คือส่วนของก้าชที่เป็นกลางและส่วนของพลาสม่าที่เย็นคุณลักษณะของส่วนที่เป็นพลาสม่าที่เย็นซึ่งล้อมรอบส่วนก้าชที่เป็นกลางอยู่นั้น ได้ถูกคำนวณโดยอาศัยแบบจำลองกลางค์เกรียนของตัวแปลมวลดแบบสมมาตรทรงกระบอก โดยอาศัยการเปรียบของแหล่งเจลย์ (Lengyel L.L.) [11] ระบบสมการประกอบไปด้วยกฎของไอห์น สมการแมกเวลล์ สมการก้าชอุดุมคติ กฎการอนุรักษ์ไฮโตรีไนโนมิกส์ (มวลโนเมนตัม พลังงาน) สมการการแพร่ของสนามแม่เหล็ก และสมการอัตราการไอออนในซุกใช้ในการคำนวณในแบบจำลองนี้ โดยสมการอัตราการเกิดไอออนในซุกบรรยายผ่านสมการของชาหา (Saha Equation) เพราะว่าการชนกันมีพลังงานสูงพอที่จะทำให้พลาสม่าที่เย็นเข้าสู่สมดุลทางความร้อน โดยอาศัยพื้นฐานสี่ข้อสำหรับอธินายส่วนที่ปักกลุ่มด้วยก้าชที่เป็นกลางคือ

2.10.2.1. รัศมีของการปักกลุ่มโดยพลาสม่าซึ่งถือว่าเป็นพารามิเตอร์หลักสำหรับการหาค่าความแข็งแรงของพลาสม่าที่มาปักกลุ่มโดยตัวห้อย 0 และ ∞ อ้างถึงพลาสม่าเย็นและพลาสม่าที่ไม่ถูกควบคุมโดยปฏิกริยาตามลำดับ

2.10.2.2. ค่าเฉลี่ยของการอินทิเกรตตามเส้นของความหนาแน่นของพลาสม่าที่เย็นซึ่งปักกลุ่มด้วยก้าชที่เป็นกลางในทิศทางของฟลักซ์ของพลาสม่าอิเล็กตรอนที่มากระทบคือ

$$\langle nl_0 \rangle = \frac{V_p}{2R_0} \int_0^{2R_0/V_p} n_0 z_0 dt = \frac{4n_s r_p^2 \dot{r}_p}{V_p R_0} \quad (2.78)$$

2.10.2.3. อัตราส่วนของสนามแม่เหล็กของพลาสม่าที่เย็นที่ปักกลุ่มและพลาสม่าที่ไม่ถูกควบคุมคือ $Q_B = B_0/B_\infty$ ซึ่งมีสัดส่วนสำคัญในการปักกลุ่มโดยเกี่ยวกับสนามแม่เหล็ก

2.10.2.4. ฟลักซ์ความร้อนโดยเฉลี่ยที่เข้าสู่ส่วนที่ปักกลุ่มโดยพลาสม่าด้วยค่าพารามิเตอร์ที่จำกัด = 0.3-0.6

$$\langle Q_e \rangle = \frac{V_p}{2R_0} \int_0^{2R_0/V_p} 2T_0 f_c (n_0 v_0 / 4) dt \quad (2.79)$$

ซึ่งคุณลักษณะเหล่านี้สอดคล้องกับการให้ผลของพลังงานที่ส่งผ่านโดยพลาสม่าอิเล็กตรอนเข้าสู่ก้าชที่เป็นกลาง

การคำนวณ r อยู่บนพื้นฐานของแบบจำลองแบบคลาสสิก NGS ของปาร์คและเทร์นบูล [19] โดยให้เชื่อเพลิงแห่งแข็งถูกปักกลุ่มโดยกลุ่มหมอกรัศมี $r^* = \alpha r_p \leq R_0$ และค่าประสิทธิภาพความหนาแน่น $L_p = \delta r_p$ โดยที่ผิวของกลุ่มหมอกมีความหนาแน่น n^* อุณหภูมิ T^* ซึ่งขยายด้วย

ความเร็ว v^* โดยอาศัยสมการการคงตัวร่วมกันสามสมการซึ่งอนุญาตให้คำนวณ r โดยผลของการอนุรักษ์มวลที่ผ่านกลุ่มหมอกและผิวของเชื้อเพลิงแข็งเมื่อเพียงแค่พารามิเตอร์ ($\alpha = r^*/r_p$) และ $\delta = L_p/r_p$ ซึ่งได้รวมรวมรายละเอียดของการขยายตัวของกลุ่มหมอกซึ่งไม่สามารถหาค่าได้โดยตรง ค่าเหล่านี้สามารถหาค่าได้โดยการสมนติให้เชื้อเพลิงแข็งถูกห่อหุ้มด้วยกลุ่มหมอกซึ่งมีรัศมี $r^* = \alpha r_p \leq R_0$ (ข้อเท็จจริงนี้เกิดจากรัศมีของก้าชที่เป็นกลาง) r^* จำเป็นต้องเล็กกว่าค่ารัศมีของพลาสมาที่นาไปกลุ่ม R_0 ของพื้นผิวที่มีความหนาแน่นของอะตอม n^* อุณหภูมิ T^* และความเร็วในการขยายตัว $v^* = \sqrt{\gamma T^* / m}$

ผลลัพธ์ของสมการการอนุรักษ์มวลที่ผ่านผิวของกลุ่มหมอกคือ

$$\alpha^2 n^* v^* = 2\dot{r}_p n_s \quad (2.80)$$

โดยสมดุลของพลังงานอาศัยพื้นฐานความรู้สາມส่วน ส่วนแรกคือ ฟลักซ์ที่ส่งออกไปสู่ภายนอกกลุ่มหมอกบนพื้นผิว ($4\pi r^2$)

$$n^* v^* \left(\frac{\gamma}{\gamma-1} T^* + \frac{mv^{2*}}{2} \right) + \frac{\varepsilon_D}{\alpha} \dot{r}_p n_s \quad (2.81)$$

ซึ่งแสดงถึงพลังงานและเอนโทรปีถูกใช้เพื่อให้ความร้อนแก่โนเลกูลที่ถูกเสียกร่อน ($\varepsilon_D = 4.48 \text{ eV/molecule}$) ยิ่งกว่านั้นยังแสดงให้เห็นได้ว่าการขยายตัวของพลาasmaที่ปักกลุ่มภายในเป็นไปในทันทีที่อัตราส่วนการไอออนในที่มีค่าประมาณสิบเบอร์เท็นต์ของการไอออนในที่เกือบทั้งหมดจะเกิดขึ้นเมื่อการขยายอยู่ในแนวขวาง มีเพียงแค่พลังงานในการแบ่งแยกโนเลกูลซึ่งถูกคำนวณในส่วนของกลุ่มหมอกที่เป็นกลาง

ส่วนที่สองคือ $\langle Q_e \rangle$ (บนพื้นผิว $4\pi r^2$) ซึ่งแสดงถึงฟลักซ์ที่มากระแทบจากส่วนที่ปักกลุ่มโดยพลาasma ส่วนที่สามคือ ฟลักซ์ที่ผ่านเข้ามายังพลาasmaสู่ส่วนที่ปักกลุ่มโดยพลาasma (บนพื้นผิว $2\pi r^2$)

$$\frac{Q_B n_\infty}{\Lambda} \int f_{T_\infty} f_c v_\infty \Delta E^* dE \quad (2.82)$$

ซึ่ง f_{T_∞} คือการแจกแจงแบบแมกเวลล์ที่อุณหภูมิ T_∞ ของพลาasmaที่ไม่ถูกควบคุมและค่า ΔE^* คือค่าความแตกต่างของการเลื่อนของพลังงานในกลุ่มหมอกโดยอิเล็กตรอนที่ไม่ถูกควบคุม

โดยระบบที่มีพลังงาน E_∞ ซึ่งส่วนหลังสามารถคำนวณได้โดยภายในส่วนที่ปักลุ่มโดยพลาสมา การกระเจิงแบบคูลอมป์ตอบสนองการรีดักชั่นโดยอิเล็กตรอนที่มากระทบโดยสามารถแสดงได้ดังนี้

$$\frac{dE}{dz} = \frac{1}{\langle \cos \theta \rangle} \frac{dE}{ds} = -\frac{C_b n_0}{E \langle \cos \theta \rangle} \quad (2.83)$$

เมื่อ $C_b = (1.3 \times 10^{-17}) \ln \Lambda (eV^2 \times m^2 / \text{electron})$ ($\ln \Lambda$ คือ ค่าลอกรากิซึ่งของคูลอมป์) และ $(\cos \theta)$ คือค่าเฉลี่ยมุนพิทักษ์ของความเร็วของอิเล็กตรอนเทียบกับสนามแม่เหล็กทันทีที่อิทธิการตามความยาวครึ่งหนึ่งของความยาวของพลาสมายืนที่ปักลุ่มตามสมการที่ได้แสดงพลังงานที่คงอยู่ในสวนกลุ่มหมอกที่เป็นกลางคือ

$$E_0 = \sqrt{E_\infty^2 - 2C_b \langle nl_0 \rangle / \langle \cos \theta \rangle} \quad (2.84)$$

อิเล็กตรอนที่มีพลังงานเริ่มต้นน้อยกว่า $E_{0\infty} = \sqrt{2C_b \langle nl_0 \rangle / \langle \cos \theta \rangle}$ ไม่สามารถผ่านเข้าสู่ผิวซึ่งมีก้าชที่เป็นกลางปักลุ่มอยู่ได้ พลังงานที่อิเล็กตรอนสูญเสียผ่านส่วนที่ปักลุ่มโดยพลาสมาที่เย็นและใช้ส่วนต่างๆ ถูกรวมเข้าไปในการคำนวณในส่วนของ $\langle Q_e \rangle$

ข้างในกลุ่มหมอกเส้นแสดงการลดลงของฟลักซ์พลังงานเกิดขึ้นเนื่องจากการชนแบบยึดหยุ่นไม่สมบูรณ์และการกระเจิงสะท้อนกลับให้ผลตามการแสดงการสูญเสียพลังงานแบบเทียบเท่าเป็นดังนี้

$$\frac{dE}{dz} = \frac{1}{\langle \cos \theta \rangle} \frac{dE}{ds} = -\frac{Cn_*}{E^\beta \langle \cos \theta \rangle} \quad (2.85)$$

เมื่อ $\beta = 0.71$ และ $C = 2.25 \times 10^{-17} eV^{\beta+1} m^2 / \text{atom}$ อินทิเกรตสมการ (2.85) ตามค่าประสิทธิภาพความหนาแน่นของก้าชที่เป็นกลาง δ_{rp} สามารถแสดงเทอมของพลังงานที่กระทบผิวของเชื้อเพลิงแข็งแข็งได้เป็น

$$E^* = [E_0^{\beta+1} - (\beta+1) CL_p n^* / \langle \cos \theta \rangle]^{1/(\beta+1)} \quad (2.86)$$

ในทำนองเดียวกับที่ได้กล่าวมาแล้วมีเพียงอิเล็กตรอนที่มีพลังงาน E_0 มากกว่า $E_0 = [(\beta+1)CL_p n^* / \langle \cos\theta \rangle]^{1/(\beta+1)}$ ที่สามารถผ่านเข้าสู่ผิวของเชือเพลิงแข็ง เมื่อการรวมสมการ 2.83 และ 2.85 จะได้ผลลัพธ์ที่แสดงในรูป ΔE^* เป็น

$$\begin{array}{ll} E^* \leq E_{0\infty} & \Delta E^* = 0 \\ E_{0\infty} \leq E_\infty \leq \sqrt{E_{0\infty}^2 - E_{00}^2} & \Delta E^* = E_0 \\ \sqrt{E_{0\infty}^2 - E_{00}^2} < E_\infty & \Delta E^* = E_0 - E^* \end{array} \quad (2.87)$$

สำหรับสมดุลของพลังงานที่ผ่านผิวของกลุ่มหมอกสามารถเขียนเทอมของอุณหภูมิ T^* ในรูปแบบพังก์ชัน n^* ได้เป็น

$$T^* = \left[\frac{1}{n^* \sqrt{\frac{\gamma}{m}} \left(\frac{\gamma}{\lambda-1} + \frac{\gamma}{2} \right)} \times \left(\langle Q_e \rangle + \frac{n_\infty Q_\infty}{8} \int f_{T\infty} f_c v_\infty \Delta E^* dE - \frac{\dot{r}_p n_s \epsilon_D}{\alpha^2} \right) \right]^{2/3} \quad (2.88)$$

ความสัมพันธ์สุดท้ายนี้ให้รูปสมการในระบบปิดซึ่งก็คือ สมดุลของพลังงานที่ผิวของเชือเพลิงแข็งฟลักซ์ของพลังงานสามารถแสดงได้แตกต่างกันระหว่างฟลักซ์ที่ผิว r^* และฟลักซ์ที่นำไปใช้ในการให้ความร้อนแก่กลุ่มหมอกเพื่อขยายตัว สมดุลนี้สามารถบรรลุผลได้โดยที่ค่าพลังงานที่ต้องใช้ในการยกายเป็นไอของเชือเพลิงแข็งมีค่าเป็น

$$\dot{r}_p = \frac{\alpha^2 n_\infty Q_B}{8 n_s g_a} \int f_{T\infty} f_c v_\infty E^* dE \quad (2.89)$$

เมื่อ g_a คือเอนตราปีของกระบวนการการเสียดกร่อนซึ่งอยู่ในช่วงของพลังงานการระเหิดต่อโมเลกุล $E_s = 10^{-2} eV$

โดยที่พารามิเตอร์อิสระตามที่ได้แสดงมาแล้วมีค่า $\alpha = r^*/r_p$ และ $\delta = L_p/r_p$ ซึ่งได้รวมรายละเอียดของการขยายตัวทั้งหมดไว้แล้วค่าเหล่านี้สามารถหาได้โดยพิจารณาสมนติฐานทั้งหมด [25] การคำนวณทั้งหมดจะต้องให้ค่าตามกฎอัตราที่ได้รับ เช่นเดียวกับแบบจำลองแบบคลาสสิก NGS ในสมนติฐานดังกล่าวเหล่านี้คือ อิทธิพลของสนามแม่เหล็กที่ถูกนำมาร้านในรูปของตัวประกอบส่วนลด Q_B พลังงานของอิเล็กตรอนทั้งหมดถูกดูดซับด้วยกลุ่มหมอกที่ปักกลุ่ม

โดยที่พื้นที่ของกลุ่มหมอกที่ได้รับผลกระทบจากฟลักซ์ความร้อนของพลาสมานี้ค่าเท่ากับ ซึ่งสมมูล กับสมการ 2.88 $\vartheta = 0$ และ $E^* = 0$ การแยกແຈງແບບແນກເວລີດໆຖືກແທນທີ່ໂດຍລຳພັດງານຄົງທີ່ມີ ສມມຸລກັນ f_{T_∞} ຖືກແທນທີ່ໂດຍ $\delta(E - 2T_\infty)$ ໂດຍທີ່ $v_\infty = \sqrt{8T_\infty/\pi m_e}$ ໄນມີການປົກຄຸມຕ້ວຍ ພລາສມາ ($\Delta E^* = 2T_\infty$) ແລະ ($Q_e = 0$) ກາຣເສີຍຄອງອໝູ່ໃນຮູບໂພນເລຸດຈາກ ($\varepsilon_D = 0$ ແລະ $\gamma = 7/5$) ໃຊ້ສມກຳ 2.79 ແລະ 2.87 ຈະໄດ້ສມກຳດັ່ງນີ້ ซິ່ງສາມາດແສດງໄດ້ເປັນ

$$\dot{r} = \frac{1}{n_s} \left(\frac{f_c Q_B \gamma 2^{2\beta+1} \sqrt{8/\pi m_e}}{(\beta+1)^2 C^2 m \left(\frac{\gamma}{\gamma-1} + \frac{\gamma}{2} \right)} \right) \times \left(\frac{\alpha^3 \langle \cos \theta \rangle / r_p}{\delta} \right)^{2/3} n_\infty^{1/3} T_\infty^{(\gamma+4\beta)/6} \quad (2.90)$$

ໂດຍທີ່ $f_c = 1$, $Q_B = 0.65$, $m(D_2) = 6.7 \times 10^{-27} \text{ kg}$ ແລະ $n_s = 2.98 \times 10^{28} \text{ m}^{-3}$ ซິ່ງ ສາມາດແສດງໄດ້ເປັນ

$$\dot{r}_p (\text{m/s}) = 3.1 \times 10^{-14} \frac{\alpha^2}{\delta^{2/3}} \times r_p^{-2/3} (m) n_\infty^{-1/3} (m^{-3}) T_\infty^{1.64} (\text{eV}) \quad (2.91)$$

ซິ່ງຈະໄດ້ພົລັບພົບເປັນທີ່ມີຫນ່ວຍເໜືອນກັນຄ່າຄອງທີ່ທາງຕົວເລຂຂອງກຸງອັຕຣາ NGS ອີ່ອ 5.6×10^{-14} ເພື່ອທີ່ຈະຫາຄ່າຄອງທີ່ທີ່ເໜາະສົມແລະສອດຄລຶ່ງກັບກຸງອັຕຣາຂອງຄ່າ $r_p n^*$ ແລະ T^* ທີ່ໄດ້ ແສດກາຣຄໍານວນຜ່ານ [25] ຈຳເປັນຕົ້ນໃຫ້ຄ່າ $\delta = 1.13$ ແລະ $\alpha = 1.4$ (ອັຕຣາສ່ວນ $\delta/(\alpha-1)$) ແສດ ອຸນລັກຍພະຕາມກຸງອັຕຣາຄວາມໜານແນ່ນກາຍໃນກຸລຸມໜົມທີ່ເປັນກາງໂດຍຄ່າ α ຈຳເປັນຕົ້ນ ເບີຍນເທິຍກັບອັຕຣາສ່ວນຂອງ r^*/r_p ຊິ່ງໄດ້ຮັບໂດຍກາຣຄໍານວນເກີ່ວກັນໄຊໂໂຣໄຄນາມິກສ໌ ຊິ່ງອໝູ່ ໃນຊ່ວງຮະຫວ່າງ 1.5 ປຶ້ງ 1.65 ສໍາຮັບ $\gamma = 7/5$ ຊິ່ງສາມາດດູ້ໄດ້ຈາກກາພທີ່ 4 ຂອງ [25] ພັສງານທີ່ມາ ກຣະທບສ່ວນໄໝໝ່ຖຸກຄູດຂັບອ່ຍ່າມມີປະສິທິກາພໃນຊ່ວງແຄບ່າ ໂດຍປົກທີ່ວ່າໄປມີຄ່າຄວາມໜານແນ່ນເປັນ $r_p/3$ ໄກລິກັນຜົວອອງເຊື້ອເພີ້ງແຂ່ແໜ້ງ (ຊື່ມີຄ່າໄກລີເຄີຍກັນກັນຄ່າທີ່ໃຫ້ໃນກາຣປະນາມໃນນິ້ງຈຸບັນ)

ແບບຈຳລອງຂອງເປົກງົງທີ່ໄດ້ຖືກນຳມາເຮົບເຮົາແລະພັດນາໄໝ່ໂດຍກາຣ໌ຂອດຕີ [39] ສໍາຮັບ ເຄື່ອງປົງກິຣົດທີ່ໃຫ້ອໝູ່ໂດຍທີ່ວ່າໄປ ຮະບາທາງທີ່ທະຖະຄວງໄດ້ໂດຍກາຣຄໍານວນແບບ NGPS ມີຄ່ານີ້ຍ ກວ່າແບບຈຳລອງ NGS ປະນາມ 15 ເປົ້ອງເຊີນຕໍ່ໂດຍແບບຈຳລອງຂອງກາຣ໌ຂອດສາມາດເຂີຍເປັນ ແພນກາພໄດ້ເຊັ່ນເຄີຍກັນກັນ 2.2 ວັດນີ້ຂອງເຊື້ອເພີ້ງແຂ່ແໜ້ງ r_p ຖືກວາງໃນພລາສມາທີ່ມີເນື້ອເຄີຍກັນ ຄວາມໜານແນ່ນ n_e ອຸນຫຼຸມ T_e ສາມາແມ່ເໜີກ B ໂດຍທີ່ສມມຸລືໃຫ້ແລ່ງພັດງານຂອງພລາສມາມີຄ່າ ອ່າງໄໝ້ຈຳກັດ

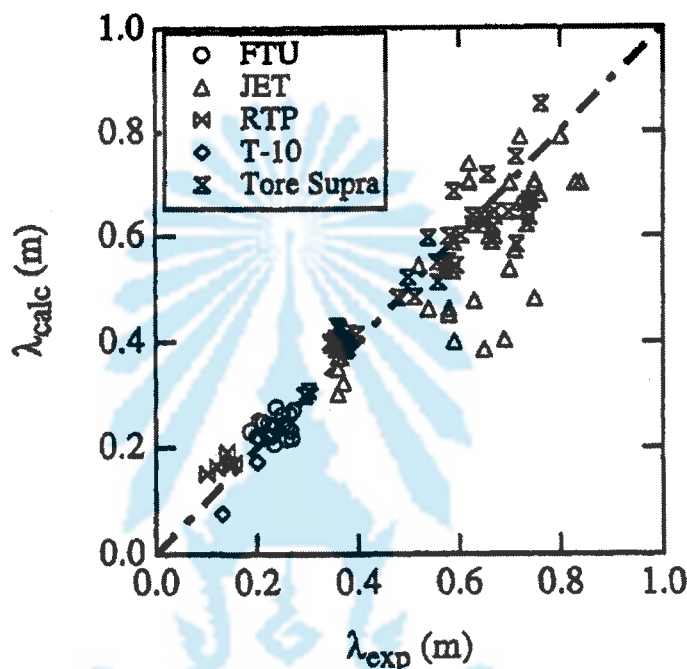
พื้นผิวที่มีอัตราส่วนเท่ากันหรือใกล้กับพิวของเชือเพลิงแข็งและการเสียดกร่อนมีการไฟลที่สามารถในเชิงทรงกลมและมีการขยายของกลุ่มหมอกที่เป็นกลางที่รัศมี r^* ความหนาแน่นเฉลี่ย n^* อุณหภูมิ T^* ระหว่างการขยายตัวนี้กับกลุ่มหมอกที่เป็นกลางได้รับความร้อนและเกิดการไอลอน ในช่วงเมื่อสักส่วนการไอลอนในช่วงอยู่ที่ประมาณ 5 ถึง 10 เปอร์เซ็นต์ ค่าการนำของกลุ่มหมอกมีค่าสูงพอที่สามารถแม่เหล็กจะหยุดการเสียดกร่อนและการขยายตัวในแนวรัศมีหลังจากนั้นสารที่ได้รับการเสียดกร่อนจะถูกกักอย่างสมบูรณ์ในหลอดรัศมี R_0 ในช่วงขณะนี้มีเพียงแค่ความขาว Z_0 ของพลาสมาเย็นที่ปักกลุ่มมีค่าเพิ่มขึ้น ปริมาณกายภาพอื่นๆ ที่แสดงคุณลักษณะของพลาสมานี้คือค่าความหนาแน่น n_0 อุณหภูมิ T_0 สถานะแม่เหล็ก B_0 ค่าประสิทธิภาพของเวลาที่เหลือของมวลยังคงอยู่ในกลุ่มหมอก เป็นค่าสำคัญค่าหนึ่งของแบบจำลอง ในเวอร์ชันที่แล้ว [41] เวลาช่วงขณะในการเลื่อนตำแหน่งมวลของสารที่ถูกเสียดกร่อนถูกสมมติให้สอดคล้องกับเวลา $\tau_d = R_0/v_p$ อย่างไรก็ตามเมื่อไม่นานมานี้ ข้อมูลจากการทดลองในเครื่อง ASDEX-U ของเยอรมันแสดงให้เห็นว่า ค่าการทะลุทะลวงความร้อนค่าเพิ่มขึ้นเป็นสองเท่าเมื่อยิงเชือเพลิงแข็งจากส่วนที่สามารถแม่เหล็กมีความเข้มสูง [42] ซึ่งแสดงให้เห็นอย่างแจ้งชัดว่า สารที่ได้รับการเสียดกร่อนจะเดื่อนไปในทิศการเพิ่มขึ้นของรัศมีหลัก รูปแบบของการทดลองของเครื่องแสดงให้เห็นใน [43] ดังนั้นจึงได้เวลาที่ใช้ในการเคลื่อนที่เป็น $\tau_d = R_0/\langle v \rangle$ ซึ่ง $\langle v \rangle$ คือความเร็วแกนของการเสียดกร่อนในกรอบอ้างอิงของเชือเพลิงแข็ง [44] ซึ่ง $\langle v \rangle \approx C_0 \sqrt{R_0/R}$ ความเร็วโอนิกในการเสียดกร่อนของกลุ่มหมอก R กีรัศมีหลัก โดยทั่วไปค่า $R_0 \approx 1 \text{ cm}$, $T_0 \approx 1.5 \text{ eV}$ ดังนั้น $C_0 \approx 1.5 \times 10^4 \text{ m/s}$ และ $\langle v \rangle \approx 10^3 \text{ m/s}$ สำหรับ $R = 3 \text{ m}$

การสอดคล้องกันได้ระหว่างค่าการทะลุทะลวงที่ได้จากการทดลองและการทำนายผลโดยแบบจำลอง NGPS เทียบกับการทำนายผลโดยแบบจำลอง NGS ทำให้คาดการได้ว่า แบบจำลองทั้งสองสามารถใช้ได้ในช่วงพาราเตอร์ที่กว้างทั้งของพลาasma และเชือเพลิงแข็ง การเปรียบเทียบสามารถทำได้โดยการพล็อตค่า dr_p/dt จากการคำนวณด้วยแบบจำลอง NGPS โดยสามารถแสดงได้เป็น

$$\frac{dr_p}{dt} \propto T_e^{\alpha(T_e)} n_e^{\alpha(n_e)} r_p^{\alpha(r_p)} \quad (2.92)$$

ซึ่งข้อมูลที่ได้แสดงในตาราง 2.1 จากการทำของค่าของข้อมูลที่ได้จาก IPADB BASE ในส่วนของค่า α_s มีค่าเข้าใกล้แบบจำลอง NGS ($|\alpha_{NPGS} - \alpha_{NGS}|/\alpha_{NGPS} < 20\%$) โดยทั่วไปค่าจากการทะลุทะลวงแบบจำลอง NGS ถือว่าประสบความสำเร็จ เพราะมีค่าใกล้กับค่าการทะลุทะลวงจากผลการทดลอง อย่างไรก็ตามค่าความแตกต่างเกิดขึ้นในขณะที่พิจารณาตัวอย่างอุบัติ

โดยmenเล็กๆ ในพารามิเตอร์ของพลาสม่าและเชื้อเพลิงแทร็ง จากการเปรียบเทียบ α_s แบบเครื่องต่อเครื่องนำมานำสู่ความแตกต่าง 50 เปอร์เซ็นต์



ภาพที่ 2.3 แสดงถึงค่าที่คำนวณได้จากแบบจำลอง NGPS เปรียบเทียบกับค่าจากการทดลอง

ถึงแม้ว่าไม่ง่ายนักที่จะเขียนค่า dr_p/dt ในรูปแบบการถูกลักขโมยของตัวแบบกำลังโดยข้อมูลอันหลากหลายของเชื้อเพลิงแทร็งในภาพที่ 2.3 แสดงถึงความสามารถของแบบจำลอง NGPS ที่สามารถจะเขียนให้อยู่ในรูปแบบอัตราโดยทั่วไปได้ในการจำลองแบบการใช้เชื้อเพลิงแทร็งในพลาสม่าที่มีการแยกแรงแบบแมกнетิกฟิลด์ ซึ่งทำให้ในช่วงของความลักษณะประมาณ 7000 ช่อง โดยมีข้อจำกัดของพลาสม่า พารามิเตอร์และเชื้อเพลิงแทร็งดังนี้

| | | | | |
|----------------|-----|-----------|-----|-----------------|
| T, (eV) | จาก | 30 | ถึง | 3×10^4 |
| $n_e (m^{-3})$ | จาก | 10^{18} | ถึง | 10^{21} |
| B (T) | จาก | 0.3 | ถึง | 10 |
| R (m) | จาก | 1 | ถึง | 10 |
| r_p (mm) | จาก | 0.03 | ถึง | 3 |

ตารางที่ 2.1 แสดงค่ายกกำลังที่ได้ของ ความหนาแน่นอุณหภูมิ และรัศมีสำหรับ แบบจำลอง NGS และ แบบจำลอง NGPS โดยข้อมูลจากฐาน IPADBASE โดยแยกตามเครื่องปฏิกรณ์ JET, Tore Supra, RTP, FTU และ T-10

| | $\alpha(T_e)$ | $\alpha(n_e)$ | $\alpha(r_p)$ |
|-----------------|---------------|---------------|---------------|
| NGS | 1.64 | 0.33 | -0.67 |
| NGPS,IPADBASE | 1.71 | 0.40 | -0.59 |
| NGPS,JET | 1.81 | 0.52 | -0.59 |
| NGPS,Tore Supra | 1.85 | 0.43 | -0.65 |
| NGPS, RTP | 1.52 | 0.66 | -0.53 |
| NGPS,FTU | 2.00 | 0.37 | -0.73 |
| NGPS,T-10 | 1.71 | 0.48 | -0.68 |

การกำหนดจุดค่าที่ได้จากการคำนวณของ dr_p/dt ให้ผลลัพธ์ดังแสดงข้างล่าง ซึ่งค่าความชันช้อนของตัวยกกำลังที่ได้จากแบบจำลอง NGPS นั้นไม่สามารถวิเคราะห์ได้ไม่มีความหมายในเชิงฟิสิกส์ต่างจาก แบบจำลอง NGS ซึ่งสามารถวิเคราะห์ได้จากกฎสมดุลต่างๆ กฎอัตราของ NGPS นี้สามารถใช้คำนวณการทะลุทะลวงได้อย่างเพียงพอในช่วงกว้างของพลาสม่าพารามิเตอร์ ทั้งในแง่ของความหนาแน่นและอุณหภูมิซึ่งสามารถแสดงเป็นสมการที่ใช้ในการคำนวณได้เป็น

$$dr_p/dt = 1.2882 \times \prod_i P_i^{\left(\alpha_i + \sum_j \beta_{ij} P_j\right)} \quad (2.93)$$

เมื่อ T_e แสดงถึงอุณหภูมิในหน่วย keV, n_e ในหน่วย m^{-3} , B ในหน่วย Teslas, R ในหน่วย m และ r_p ในหน่วย mm, P_i , α_i และ β_{ij} ในรูปเวกเตอร์สามารถแสดงได้ดังนี้

$$P = \begin{bmatrix} T_e \\ n_e \\ B \\ R \\ r_p \end{bmatrix}; \quad \alpha = \begin{bmatrix} 1.7153 \\ 0.4022 \\ -0.0189 \\ -0.0940 \\ -0.5949 \end{bmatrix}$$

$$\beta = 10^{-3} \begin{bmatrix} -10.1 & -1.5 & 29.0 & 3.7 & 6.7 \\ -4.1 & 0.1 & -3.5 & 17.6 & 6.7 \\ 0.2 & 5.1 & -21.9 & 15.4 & 6.4 \\ 4.9 & -5.2 & 10.2 & -9.7 & 5.4 \\ 6.8 & -4.9 & -2.5 & -5.8 & -19.1 \end{bmatrix}$$

ค่า $\sum_j \beta_{ij} P_j$ มีค่าที่น้อยมากจึงทำให้เราสามารถใช้กฏอัตราของแบบจำลอง NGPS ได้เป็นอย่างดี โดยมีค่าการกระจายประมาณ $\sigma = 5\%$

2.11 การทะลุทะลวงของเชือเพลิงแซ่บเบ็ง

ผลเฉลยของสภาวะสมดุลของสมการไฮโตรไนโอมิกส์ สำหรับการขยายตัวของกลุ่มหมอกที่เป็นกลาสถูกบังคับโดยแหล่งของกําชีที่เป็นกลาสที่ผิวของเชือเพลิงแซ่บเบ็ง (อัตราการกัดกร่อนของเชือเพลิงแซ่บเบ็ง) ความร้อนที่เข้ามาระบทกลุ่มหมอกของกําชีที่เป็นกลาสที่มาจากการพลาสมາอิเล็กตรอน แหล่งของกําชีที่เป็นกลาสที่ผิวของเชือเพลิงแซ่บเบ็งการถูกทำให้ขยายโดยพลาสมາอิเล็กตรอนที่มากระบทสามารถทำให้อยู่ในรูปความสัมพันธ์อย่างง่ายระหว่างอัตราการกัดกร่อนที่ผิว r_p ค่าประสิทธิภาพของรัศมี r_p ค่าความหนาแน่นของโนเมกุลไฮโตรเจนเบ็ง n_m ค่าเลขมวลของสารเสียกร่อน A_p และค่าความหนาแน่นของพลาสมາพื้นหลัง n_e ค่าอุณหภูมิ T_e โดยมีค่าประมาณ [21, 25])

$$\dot{r} \equiv \frac{dr_p}{dt} \propto \frac{n_e^{1/3} T_e^{5/3}}{A_p^{1/3} n_m r_p^{2/3}} \quad (2.94)$$

$$n_m = 2.12 \times 10^{28} + 6.30 \times 10^{27} A_p - 8.66 \times 10^{26} A_p^2 m^{-3} \quad (2.95)$$

เพื่อให้ง่ายในการอินทิเกรต สมมติให้ค่าความหนาแน่นของอิเล็กตรอนพลาสมาและค่าอุณหภูมิรูปแบบเป็น $n_e(x) = n_{e0}(1-x)^{\alpha n}$ และ $T_e(x) = T_{e0}(1-x)^{\alpha T}$ ตามลำดับ โดยที่ n_{e0} และ T_{e0} คือค่าการออกแบบที่มุมของพลาสมา $x = r/a_0$ คือตัวแปรไร้มิติเทียบกับรัศมีร่องและค่า a_0 คือ ระยะทางจากมุมถึงใจกลางของพลาสมา โดยค่าของเวลาสามารถแทนที่โดยความสัมพันธ์ของตำแหน่งของเชือเพลิงแซ่บเบ็งในพลาสมาโดยสมมติให้ความเร็วคงที่: $dt = -a_0 dx/v_p$ เมื่อ v_p คือความเร็วของเชือเพลิงแซ่บเบ็งซึ่งตั้งฉากกับพลาสมาที่ยิงจากกึ่งกลางจากขอบด้านนอก (ซึ่งเป็นตำแหน่งที่ใช้โดยทั่วไปในการทดลอง) มีเพียงทางเดียวที่จะทราบค่าการทะลุทะลวงของการแซ่บเบ็ง คือ การแปลงค่า dt ให้อยู่ในรูป dx แล้วอินทิเกรตตลอดช่วงระยะเวลาที่เชือเพลิงแซ่บเบ็งอยู่ dr

รัศมีเริ่มต้นจาก 0 และ dx จากจุดที่เชื่อเพลิงแซ่เบ็งเริ่มเข้าสู่พลาสม่าที่ x เท่ากับ 1 ถึง $1 - \lambda/a_0$ เมื่อ λ คือระยะทางสุดท้ายที่เชื่อเพลิงแซ่เบ็งสามารถทะลุทะลวงเข้าไปได้) จะได้

$$\frac{\lambda}{a_0} \propto \left(\frac{v_p n_m A_p^{1/3} r_{p0}^{2/3}}{a_0 n_{e0}^{1/3} T_{e0}^{5/3}} \right)^{\beta_{ngs}} = (C_p v_p)^{\beta_{ngs}} \quad (2.96)$$

เมื่อ $\beta_{ngs} = 3/(3 + \alpha_n + 5\alpha_T)$ เราจึงนิยามค่ากุณพารามิเตอร์ในวงเล็บเป็น $C_p v_p$ และสำหรับการเคลื่อนที่เชิงเส้นตรง ($\alpha_n = \alpha_T = 1$) $\beta_{ngs} \equiv 1/3$ จากข้อสังเกตของปาร์คและเทร์นบูล การยิงจากจุดอื่นที่ไม่ได้ยิงจากจุดตรงกลางข้างนอก ก็สามารถหาค่าได้โดยการปรับปรุงค่ากุณสมบัติต่างๆ ทั้งมิติและความสัมพันธ์ระหว่างตำแหน่งของเชื่อเพลิงแซ่เบ็งและค่าพารามิเตอร์ของพลาasma ซึ่งไม่ยกนักในการผสมผสานรายละเอียดกันแบบจำลองการเสียดกร่อน

ในการวิเคราะห์ผลลัพธ์ของเครื่องปฏิกรณ์ ASDEX ปัจจุบันและขณะ [45] โดยการจำกัดให้ $\alpha_n = \alpha_T = 1$ และค่าอุณหภูมิที่เพเดสทอล $T_e(x)$ ที่เหมาะสมสำหรับการแสดงค่าที่ไม่ลึกเกินไป ของผลกระทบ ปัจจุบันและขณะได้นิยามพารามิเตอร์ของกฏอัตราเป็น

$$Z \equiv \frac{d_p^{5/3} (mm) v_p (km/s)}{n_{e0}^{1/3} (10^{13} cm^{-3}) T_{e0}^{5/3} (keV)} \quad (2.97)$$

เมื่อค่า d_p เป็นค่าเส้นผ่านศูนย์กลางของเชื่อเพลิงแซ่เบ็ง Z คือค่าอย่างง่ายที่มีความเกี่ยวพันกับค่า $C_p v_p$ ในหน่วย mks - keV โดยที่ $Z = 1.79 \times 10^{-21} a_0 C_p v_p$ เพราะว่าทั้ง JET และ ASDEX ใช้เชื่อเพลิงแซ่เบ็งที่ทำจากดิวเทอเรียม มีเพียงค่าที่แตกต่างกันคือ a_0 ใน $C_p v_p$ ค่าที่เพเดสทอลที่มุ่งที่เป็นการทำให้สมดุลในการทะลุทะลวงสำหรับค่าโดยทั่วไปในการให้ความร้อนด้วยกระแสอิเล็กตรอนในโหมด H ของ ASDEX รูปแบบของการทะลุทะลวงโดยอาศัยแบบจำลองของปาร์คและเทร์นบูล [25] ซึ่งได้จากปัจจุบันและขณะที่

$$\frac{\lambda_{0H}}{a_0} = 0.858 Z^{1/3} - 0.085 \quad (2.98)$$

$$\frac{\lambda_{NBI}}{a_0} = 0.905 Z^{1/3} - 0.176 \quad (2.99)$$

ตามลำดับโดยค่า $a_0 = 0.40 \text{ m}$ ถูกใช้ในการทำให้เป็นปกติในค่าการทะลุทะลวงของ การใช้การแยกแจงของอิเล็กตรอนแบบแมกเวล์จากพลาสมานั้นหลังให้ค่าอัตราการเสียดกร่อนที่ สูงขึ้นกว่าการใช้ค่าพลังงานเฉลี่ยเชิงเดี่ยว $3T_e/2$ เพราะว่าค่า $1/E$ ขึ้นอยู่กับค่าภาคตัดขวางของ อิเล็กตรอนซึ่งมากกว่า 1 keV [19] การขยายแบบจำลอง NGS โดยการแยกแจงความเร็วของ อิเล็กตรอนแบบแมกเวล์จึงให้ค่าการทะลุทะลวงน้อยกว่าค่าจากการทดลอง มีการเพิ่มการปักคุณ ที่สำคัญเข้าไปในแบบจำลองอีกแบบหนึ่ง โดยมีรูปแบบของก้าวที่ถูกไอลอนในช่วง ถูกกักอยู่ที่ห่อที่ ถัดจากเชื้อเพลิงแข็ง เช่น จีบเริกแบบจำลองนี้ว่า แบบจำลองการปักคุณด้วยก้าวที่เป็นกลางและ พลาสม่า (NGPS) คุณลักษณะของแบบจำลองนี้ขาดความเป็นอิสระจากความเร็วของเชื้อเพลิงแข็ง เพื่อที่จะแบ่งแยกความแตกต่างระหว่างแบบจำลอง NGS และ NGPS จึงเกิดแรงจูงใจที่ทำให้ เกิดการทดลองที่ JET ประเทศอังกฤษ

กฎอัตราของค่าความลึกในการทะลุทะลวงในแบบจำลองปักคุณด้วยก้าวที่เป็นกลางและ พลาสม่า (NGPS) เมื่อการปักคุณมีความสำคัญสามารถแสดงผ่านภาคตัดขวางการหยุดสำหรับ พลังงานของอิเล็กตรอนในพลาสมาที่เย็น โดยการนิยามรัศมีของท่อพลาสมาที่เย็นผ่านความเข้มและ การไอลอนในช่วง [47] การอินทิเกรตเชิงสันของความหนาแน่นของพลาสม่า (โดยการอินทิเกรต ผ่านแกนของหลอดที่ต่อจากเชื้อเพลิงแข็ง) ซึ่งต้องการเพื่อหยุดอิเล็กตรอนที่มีพลังงาน $E_e \propto T_e$ คือ $\int n_e dl \propto T_e^2$ จำนวนไอลอนเย็นในหลอดให้มีค่าเป็น $A_c \int n_e dl$ ซึ่ง $A \equiv 2\pi r_c^2$ คือพื้นที่ ภาคตัดขวางของหลอดรัศมี r_c จำนวนทั้งหมดของไอลอนเย็นในหลอดสามารถเขียนได้เป็นรูปแบบ หนึ่งเป็น $N = n_m 4\pi r_D^2 r$ และเวลาที่เชื้อเพลิงแข็งที่ผ่านความเร็วของหลอดคือ $t_p = 2r_c/v_p$ อัตราการเสียดกร่อนที่ผิวของเชื้อเพลิงแข็งจึงสามารถแสดงได้เป็น

$$\frac{dr_p}{dt} \propto \frac{v_p r_c T_e^2}{n_m r_p^2} \quad (2.100)$$

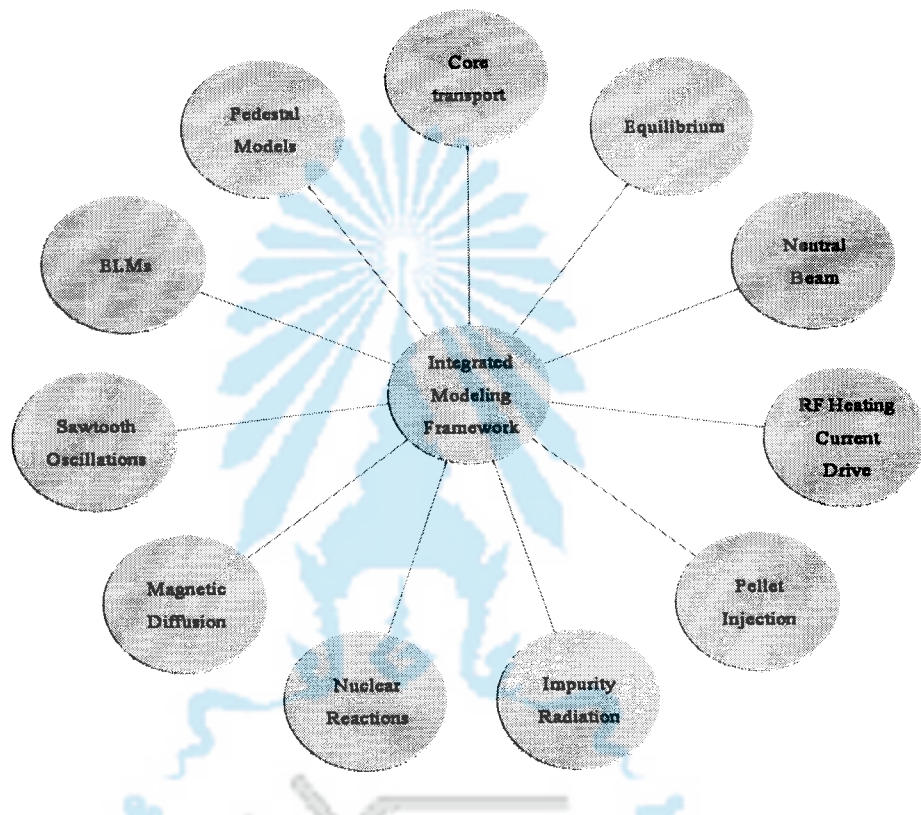
ความสัมพันธ์ระหว่างเวลาและตำแหน่งของเชื้อเพลิงแข็งโดยที่เชื้อเพลิงแข็งมี ความเร็วคงที่จึงสามารถทำให้เป็นอิสระจากความเร็วเมื่อ $r_c \propto r_D$ และสมการที่ถูกอินทิเกรต สำหรับความหนาแน่นของอิเล็กตรอนและรูปแบบของอุณหภูมิสมมติให้เหมือนกับแบบจำลอง NGS กฎอัตราความลึกของการทะลุทะลวงจึงกลายเป็น

$$\frac{\lambda}{a_0} \propto \left(\frac{n_m r_{p0}^2}{a_0 T_{e0}^2} \right)^{\beta_{ps}} \quad (2.101)$$

เมื่อ $\beta_{ps} = 1/(1+2\alpha_r)$ สำหรับรูปแบบของอุณหภูมิเชิงเส้นก็อตตราของขนาดและอุณหภูมิของอิเล็กตรอนมีค่าใกล้กับค่าที่ได้จากแบบจำลอง NGS มาก มีทางเดียวที่จะให้ก็อตตราของความเร็วสามารถใช้ได้ผ่านแบบจำลองแบบ NGPS คือการให้ความเร็วขึ้นอยู่กับค่ารัศมีประสีทวิภาคของการกัก $r_c = r_c(v_p)$



2.12 โปรแกรมจำลองแบบในการทำนายผลแบบรวม



ภาพที่ 2.4 แผนภาพแสดงการทำงานของโปรแกรมจำลองแบบในการทำนายผลแบบรวม

แผนภาพอย่างง่ายอธิบายส่วนประกอบของแบบจำลองที่ถูกรวมมาในภาพที่ 2.4 โดยพื้นฐานโปรแกรมทำนายผลแบบรวม รวบรวมโมดูลเกี่ยวกับพิสิกส์ต่างๆ เช่น โมดูลการให้ความร้อนด้วยลำแสงที่เป็นกลาง โมดูลการให้ความร้อนด้วยคลื่นความถี่วิทยุ การเติมเชื้อเพลิงด้วยก๊าซที่เป็นกลาง การใช้เชื้อเพลิงแทร็ฟฟิ่ง โมดูลการส่งผ่านพลังงานหลัก โมดูลการแผ่รังสีของสารเจือปนซึ่งแต่ละโมดูลตอบสนองต่อวัตถุประสงค์เฉพาะ โมดูลเหล่านี้ส่งผลกระทบต่อแต่ละโมดูลด้วยการคำนวณที่ซับซ้อนโดยทั่วไปข้อมูลที่ป้อนเข้าไปสำหรับโปรแกรมจำลองแบบในการทำนายแบบรวมคือ ค่าพารามิเตอร์ที่ได้จากการทดลอง เช่น ค่าสนามแม่เหล็ก ค่าพลังงานในการให้ความร้อนทั้งหมด ค่ากระแสของพลาสม่า ด้วยพารามิเตอร์ของพลาสมาเหล่านี้แบร์พันตามเวลาของการจำลองแบบของพลาสม่า ซึ่งถูกคำนวณตามโมดูลที่ถูกเลือก

2.12.1 โปรแกรม BALDUR คือรหัสภาษาทางคอมพิวเตอร์ที่เขียนโดยใช้ภาษาฟอร์TRAN ซึ่งเป็นโปรแกรมส่งผ่านแบบ 1.5 มิติ ออกแบบมาเพื่อจำลองแบบเพื่อการจำลองในช่วงเงื่อนไขกว้างของพลาสม่า ในเครื่องปฏิกรณ์นิวเคลียร์ฟิวชันแบบโทคาแมก โปรแกรม BALDUR สามารถประเมินค่าของอุณหภูมิของไออกอน อิเลกตรอน และความหนาแน่นของอนุภาคประจุตามเวลา (ขึ้นอยู่กับชนิดของไฮโครเจน 2 ชนิด และสารเจือปน 4 ชนิด) ความหนาแน่นของฟลักซ์แม่เหล็กในแนวโพลาเรอข์ในรูปแบบของสนามแม่เหล็กที่ผิวปูร่องของฟลักซ์ที่ผิวหาค่าได้โดยการแก้ปัญหาที่ไม่สมมาตรของสมการสามคูลของแรงซึ่งค่าของเขตที่ได้มาอาจเปลี่ยนแปลงตามเวลา โปรแกรม BALDUR นำมาซึ่งรายละเอียดเกี่ยวกับการถ่ายทอดของไฮโครเจนที่เป็นกลางและการส่งผ่านสารเจือปน (ในรูปแบบที่เป็นกลาง) จากผนังของเครื่องปฏิกรณ์หรือจากแหล่งผลิตข้างในผลกระทบจากการหลาຍชนิด (โดยการรวมการขยายลักษณะทางกายภาพชุดของอะตอมต่างๆ) หลากหลาຍรูปแบบของพลังงานที่ช่วยในการให้ความร้อน การเคลื่อนที่แบบเร็วของอนุภาคแลดฟ้า และการให้ความร้อนโดยปฏิกริยาฟิวชัน ผลกระทบจากการอัดของพลาสม่า การสูญเสียแบบริน เปี้ลและผลของผิวตรงรอยต่อ ซึ่งมีหลากหลาຍแบบจำลอง การส่งผ่านให้เลือกใช้ บังจุนใช้แบบจำลองการส่งผ่านจากทฤษฎีมัตติโนมด ยิ่งกว่านั้นยังมีวิธีการแก้ปัญหาหลากหลาຍวิธีที่ส่งผลกระทบต่อความไม่สมมาตรในอัตราส่วนของความไม่เสถียรภาพที่สูง เช่น โนมค่าสั่นแบบฟินเลื่อย โนมดไอบอนลูนนิ่ง

บทที่ 3

วิธีดำเนินการวิจัย

โปรแกรม BALDUR ถูกใช้ในการจำลองแบบของระบบเติมเชื้อเพลิงด้วยเรือเพลิงแข็ง แข็งโดยพารามิเตอร์ที่ใช้ในการออกแบบ ($R = 6.2 \text{ m}$, $a = 2.0 \text{ m}$, $I_p = 15 \text{ MA}$, $B_T = 5.3 \text{ T}$) ในแบบมาตรฐาน โหนด H หลังจากแบบจำลองการเสียดกร่อนทั้งสองแบบ (NGS และ NPGS) ได้รับการติดตั้งหลังจากนั้นจึงมีการแปรค่ารัศมีและความเร็วของเชื้อเพลิงเพื่อศึกษาพฤติกรรมของพลาสma และการเสียดกร่อนที่เกิดขึ้นหลังจากใช้เชื้อเพลิงแข็งแข็ง

3.1 การจำลองแบบโดยแบบจำลองการเสียดกร่อนแบบปักคลุมด้วยก้าชที่เป็นกลาง

การจำลองแบบโดยแบบจำลองการเสียดกร่อนโดยปักคลุมด้วยก้าชที่เป็นกลางถูกใช้ในการจำลองแบบในการยิงเชื้อเพลิงแข็งแข็ง โดยการใช้แบบจำลองการทะลุทะลวงรวมกับแบบจำลองการเสียดกร่อนซึ่งมีแบบจำลองการปักคลุมด้วยก้าชที่เป็นกลางสองแบบที่ใช้อย่างพร้อมทั้งแบบจำลองแบบแรกได้รับการพัฒนาโดยปาร์ค

$$\frac{dN}{dt} = 1.12 \times 10^{16} n_e^{0.333} T_e^{1.64} r_p^{1.33} M_i^{-0.333} \quad (3.1)$$

เมื่อ N , $n_e(\text{m}^{-3})$, $T_e(\text{eV})$, $r_p(\text{m})$ และ $M_i(\text{amu})$ คือจำนวนอนุภาคเชื้อเพลิงแข็ง แข็ง ความหนาแน่นของอิเล็กตรอน, อุณหภูมิของอิเล็กตรอน, รัศมีของเชื้อเพลิง, เลขมวลของเชื้อเพลิงแข็งแข็งตามลำดับ จำนวนอะตอมของในเชื้อเพลิงแข็งสามารถแสดงได้เป็น

$$N = 2n_s \left(\frac{4\pi r_p^3}{3} \right) \quad (3.2)$$

เมื่อ n_s คือ ความหนาแน่นของโนมเลกูลของไไซโตรเจนในสถานะของแข็ง ($n_s = 3.12 \times 10^{28} \text{ m}^{-3}$)

แบบจำลองอีกแบบจำลองหนึ่ง คือ แบบจำลองที่ได้รับการพัฒนาโดยคูทีฟเป็นแบบจำลองแบบสองมิติ ซึ่งสมมติได้ให้พลังงานของอิเล็กตรอนและไอออน มีการแจกแจงแบบ

แมกнетิกฟิลด์ที่ปรับเปลี่ยนจากการเสียดกร่อนได้รับการปรับปรุงให้มีรูปร่างต่างจากแบบจำลองของปาร์คโดยสามารถเขียนอยู่ในรูปกฎอัตราอุณหภูมิได้เป็น

$$\frac{dN}{dt} = 3.465 \times 10^{14} n_e^{0.453} T_e^{1.72} r_p^{1.443} M_i^{-0.283} \quad (3.3)$$

3.2 การจำลองแบบโดยแบบจำลองการเสียดกร่อนแบบปักคลุมด้วยก้าชที่เป็นกลางและพลาสม่า

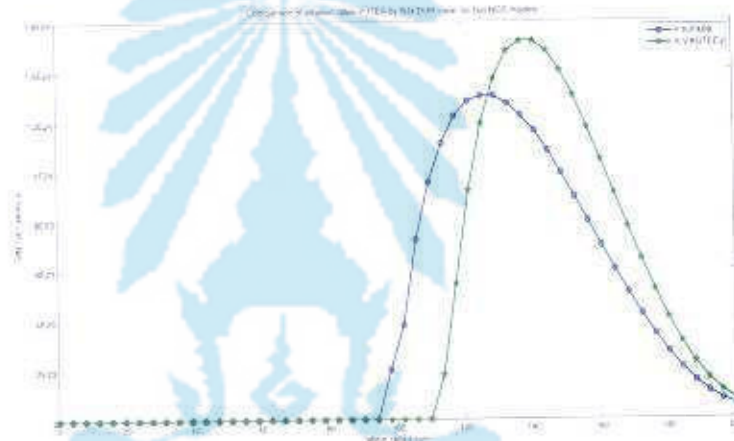
โปรแกรม BALDUR ได้ถูกใช้ในการจำลองแบบการเดิมเชื้อเพลิงแข็งด้วยแบบจำลองการทะลุทะลวง ร่วมกับแบบจำลองการเสียดกร่อน สารที่ถูกเสียดกร่อนที่ตกอยู่ภายใต้สนามแม่เหล็กได้ถูกนำมาคำนวณด้วย การขยายตัวแบบทรงกลมถูกแทนที่โดยแบบจำลองที่ประกอบไปด้วยสองส่วนคือ ส่วนที่เป็นทรงกลมวงอยู่ในท่อแบบหลอด ผลของสนามแม่เหล็กทำให้สารเสียดกร่อนส่วนถูกไถออกในชั้ปักคลุมเชื้อเพลิงแข็งอีกชั้นหนึ่งแบบจำลองเชื้อเพลิงแข็งที่ปักคลุมด้วยก้าชที่เป็นกลางและพลาสม่าที่ใช้ในงานวิจัยนี้สามารถเขียนได้เป็น

$$\frac{dr_p}{dt} = 5.286 \times 10^{-18} \cdot B^{-0.02} [T] \cdot V_p^{0.05} [m/s] \cdot n_e^{0.57} [m^{-3}] \cdot T_e^{1.61} [eV] \cdot r_p^{-0.48} [m] \quad (3.4)$$

บทที่ 4

ผลและการอภิปรายผล

4.1 ผลและการอภิปรายผลการจำลองแบบจากการใช้แบบจำลองการเสียดกร่องแบบ NGS



ภาพที่ 4.1 การเปรียบเทียบอัตราการเสียดกร่องของแบบจำลอง NGS ของปาร์คและคูทีฟ

4.1.1 เปรียบเทียบผลจากการจำลองแบบของแบบจำลอง NGS 2 รูปแบบ เนื่องจากความแตกต่างของการนักแทจริงของพัฒนาการให้รู้ปัจจุบันของแบบจำลอง NGS ของห้องปาร์คและคูทีฟ แลกท่างกัน ดังแสดงในภาพที่ 4.1 แสดงให้เห็นว่าแบบจำลองคูทีฟที่ใช้การเพร์เซอร์ฟลัตช์งาน ของอิสีก์หรือนแบบแม่กล้าสามารถพัฒนาหลังเข้าสู่ให้ถูกกว่าแบบจำลองของปาร์คซึ่งสมมุติให้พัฒนาของอิสีก์หรือนแบบเชิงเดี่ยวให้ก่อการเสียดกร่องที่สูงกว่า และจากการจำลองแบบ แสดงให้เห็นว่าการทดสอบความคงทนของเพลทิโนที่เข้าสู่แบบจำลองของคูทีฟจะถูกทดสอบเข้าไปได้ดีกว่าแบบจำลองของปาร์คจะห่างระหว่างชุดสูงสุดของอัตราการเสียดกร่องห่างกันประมาณ 15% ในส่วนของการลดลงของอุณหภูมิของพลาสม่าและการเพิ่มขึ้นของความหนาแน่นของ พลาสม่าแบบจำลองทั้งสองที่ให้ค่าที่ใกล้เคียงกัน แต่ในส่วนของรูปร่างของกราฟของอัตราการเสียดกร่องท่อนข้างต่างกัน อัตราส่วนการเสียดกร่องของคูทีฟสูงกว่าปาร์คประมาณสองเท่าและค่าอนข้างซึ่นในช่วงสุดท้ายแต่ร่วมกันที่ได้ทราบทั้งสองมีขนาดเท่ากันสอดคล้องกับข้อเท็จจริงที่ว่า จำนวนอนุภาคจะลดอยู่ภายใต้กฎการอนรักษามิใช่ขนาดเท่ากันสอดคล้องกับข้อเท็จจริงที่ว่า

คำนวณสำหรับ เชื้อเพลิงแซ่บเบ็งชนิดเดียวกันในพลาสมาเดียวกัน อย่างไรก็ตามแบบจำลองของปาร์ค ค่อนข้างสอดคล้องกับผลการทดลองแม้ว่ามีหลายส่วนที่เกี่ยวข้องในกระบวนการเสียดกร่อนไม่ได้ถูกนำมาใช้คำนวณ [32]

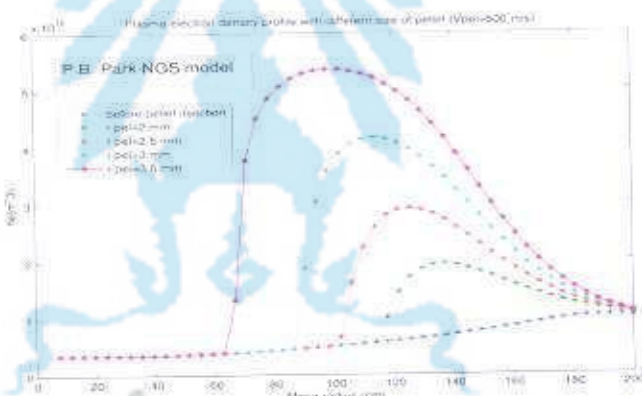
มีความเป็นไปได้อย่างหนึ่งคือเนื่องจากคุณของประจุไฟฟ้าที่มีประจุลบได้ปกคลุมเชื้อเพลิงแซ่บเบ็งและลดการพลังงานของอิเล็กตรอนที่มาตกระบบความหนาแน่น n_{∞} และฟลักซ์ความร้อน ($\sim T_{\infty}$) ด้วยตัวประกอบของโบสมานซ์ $e^{-e\phi/T_{\infty}}$ เมื่อ T_{∞} คืออุณหภูมิของพลาสมาอิเล็กตรอน และค่าพลังงานศักดิ์ที่ทำให้มีค่าเป็นปกติและลดลง [10, 11] ในส่วนที่คุณหนามอกที่เย็นและพลาสมาที่มีอุณหภูมิสูงระบบทกันคือ $e\phi/T_{\infty} = 1.8 - 2$ ดังนั้นค่าจำกัดของฟลักซ์ที่เหมาะสมกับอัตราการเสียดกร่อนคือ $e^1.8$ ถึง e^2 หรือ $0.135 - 0.165$ ค่าความถูกต้องของโบสมานซ์ซึ่งใช้กับความหนาแน่นและฟลักซ์ความร้อนนั้นสัมพันธ์กับการแยกแข่งของแบบแบกเวลล์สำหรับการทำให้เป็นปกติของการแยกแข่งของพลาสติก ไม่ได้ถูกระบุโดยการลดลงของพลาสติกที่ เพราะว่าถูกอัตราการเสียดกร่อนเพิ่มขึ้นได้เป็น $n^{1/3}$ ดังนั้นอัตราการเสียดกร่อนจะลดลงด้วยตัวประกอบ $e^{-e\phi/3T_{\infty}} = 0.51 - 0.55$ อันซึ่งอธิบายได้ว่าตัวประกอบยกกำลังประมาณ ~ 2 ในทำนองเดียวกัน ค่าความดันที่ผิวของเชื้อเพลิงแซ่บเบ็งแปรผันตาม $n^{2/3}$ จึงถูกทำให้ลดลงด้วยค่า $e^{-2e\phi/3T_{\infty}} = 0.26 - 0.30$ จึงสามารถแสดงการขยายความสัมพันธ์ของแบบจำลองของปาร์คโดยอาศัยการกระบวนการแยกแขกเวลล์ ผลกระทบจากความร้อนจากประจุไฟฟ้าให้อยู่ในรูปรัศมี r_p ของอัตราการลดลงของมวลได้เป็น [48]

$$G = \frac{1.36 \times 10^{-8} A^{2/3} r_p^{4/3} n_{\infty}^{1/3} T_{\infty}^{11/6}}{\ln(2T_{\infty}/I^*)^{2/3}} \quad (\text{g/s}) \quad (4.1)$$

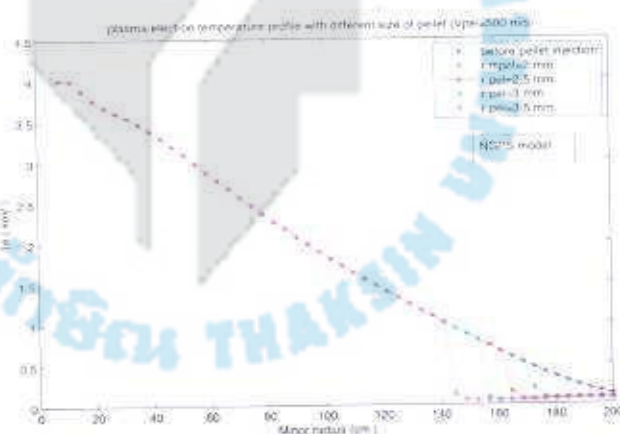
ซึ่ง A คือ มวลอะตอมในหน่วย amu ($A = 2.014$ สำหรับเชื้อเพลิงแซ่บเบ็งที่เป็นดิวเทอเรียม) $I^* = 7.5 \text{ eV}$ คือค่าเฉลี่ยของพลาสติกที่ต้องใช้โดยเงินอะตอม T_{∞} และ n_{∞} คือ อุณหภูมิและความหนาแน่นของพลาสมา โดยที่หน่วยที่ใช้คือ cgs eV ค่าคงที่ซึ่งตัวเลขของค่าคงที่การเสียดกร่อน ที่สามารถหาได้จาก [48] ซึ่งได้รวมรวมค่าที่ได้จากการทดลองจากเครื่องโทรศัพท์มือถือ เครื่องเพื่อหาค่าอัตราการเสียดกร่อน

โดยทั่วไปเชื้อเพลิงแซ่บเบ็งจะอยู่ในรูปทรงลูกเต่าหรือรูปทรงกระบอก แต่เมื่อผ่านไปในท่อ ก็จะเกิดการเสียดสีจนเหลี่ยมนูนต่างๆหายไปทำให้มีรูปร่างใกล้เคียงกับทรงกลม ในแบบจำลองของการเสียดกร่อน โดยทั่วไปจะใช้รัศมีของเชื้อเพลิงที่มีรูปร่างเป็นแบบทรงกลมซึ่งมีค่าเป็น $r_p = (3/16)^{1/3} D$ ในการแปลงค่าอัตราการลดลงของมวล G ไปเป็น dN/dt (atoms/s) สามารถทำได้โดยให้ $dN/dt = N_A G / A$ เมื่อ N_A คือ ตัวเลขอโวกาโดร

4.1.2 ผลการจำลองแบบโดยการแปรค่ารัศมีของเชือเพลิงแท่ง ในการจำลองแบบนี้จะมี การศึกษาถึงความหนาแน่น ของอิเล็กตรอนและอุณหภูมิของพลาสม่า โดยที่ใช้เชือเพลิงแท่งที่ เกิดจากตัวเหอเรียมที่ความเร็ว m/s และมีรัศมีที่แตกต่างกันคือ $2, 2.5, 3, 3.5 \text{ mm}$ โดยภาพที่ 4.2 และภาพที่ 4.3 แสดงความหนาแน่นของอิเล็กตรอนและอุณหภูมิของพลาสมาระหว่างการเติม เชือเพลิงแท่งที่มีขนาดของรัศมีต่างกัน จากการจำลองแบบแสดงไว้เห็นได้ว่า เมื่อรัศมีของ เชือเพลิงแท่งที่มีขนาดเพิ่มขึ้น ความหนาแน่นของอิเล็กตรอนลดลงจากเติมเชือเพลิงแท่งนี้ที่มีขนาดเพิ่มขึ้น ในขณะที่อุณหภูมิของพลาสม่าจะลดลงน้อยเมื่อเทียบกับอุณหภูมิที่ก่อนข้างต่ำของเชือเพลิงแท่ง อย่างไรก็ตามเชือเพลิงแท่งสามารถบรรลุอุณหภูมิสูงๆ ได้ไกลขึ้น เมื่อเพิ่มขนาดรัศมีเนื่อง ผลดังงานจะลดลงของเชือเพลิงแท่งนี้มีค่านากว่า

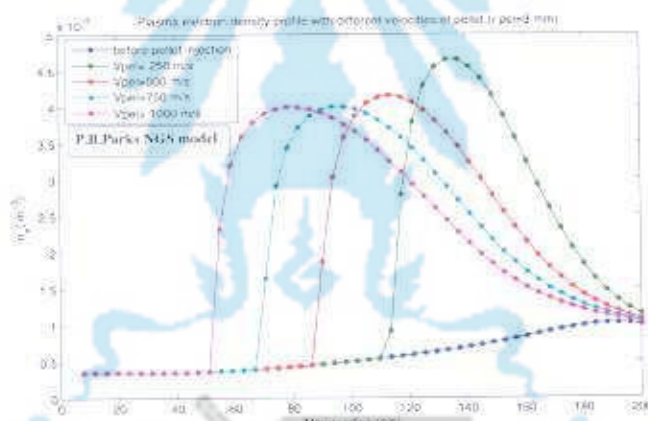


ภาพที่ 4.2 ผลกระทบของรัศมีของเชือเพลิงแท่งที่มีต่อความหนาแน่นของพลาสม่า อิเล็กตรอนจากการจำลองแบบโดยใช้แบบจำลอง NGS ของปาร์ก

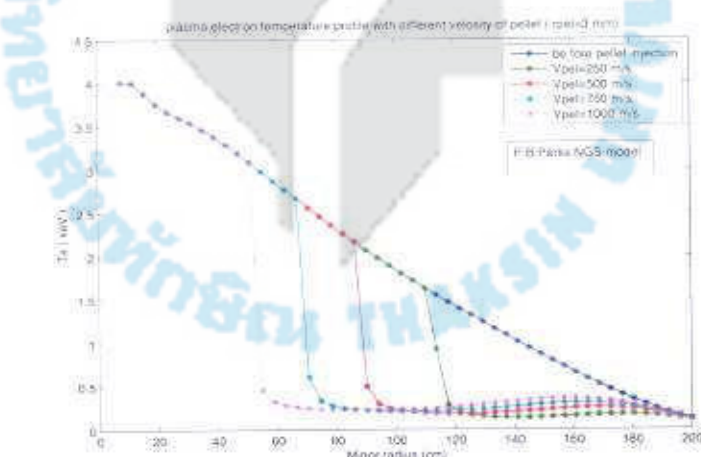


ภาพที่ 4.3 ผลกระทบของรัศมีของเชือเพลิงแท่งที่มีต่ออุณหภูมิของพลาสม่า อิเล็กตรอนจากการจำลองแบบโดยใช้แบบจำลอง NGS ของปาร์ก

4.1.3 ผลการจำลองแบบโดยการเปลี่ยนค่าความเร็วของเชือเพลิงแท่งเที่ยง ในการจำลองแบบนี้จะมีการศึกษาค่าความหนาแน่นและอุณหภูมิของพลาสม่าอิเล็กตรอน โดยที่ใช้เชือเพลิงแท่งเที่ยงที่ทำจากดิวเทอรีนที่รัศมี 3 มม. จะถูกทำให้มีความเร็วในการเดินเชือเพลิงที่ 250, 500, 750, 1,000 m/s. ภาพที่ 4.4 และภาพที่ 4.5 แสดงความหนาแน่นของอิเล็กตรอนของพลาสมาระหว่างที่เดินเชือเพลิงแท่งเที่ยงด้วยความเร็วที่ต่างกัน จากการจำลองแบบจะแสดงให้เห็นได้ว่าเมื่อความเร็วของเชือเพลิงแท่งเที่ยงเพิ่มขึ้นความหนาแน่นของอิเล็กตรอนในพลาสม่าค่อนข้างคงที่ แต่อุณหภูมิของพลาสม่าจะลดลงเนื่องมาจากการอุณหภูมิที่ต่างของเชือเพลิงแท่งเที่ยง อย่างไรก็ตามเมื่อความเร็วของเชือเพลิงแท่งเที่ยงเพิ่มขึ้นเชือเพลิงแท่งเที่ยงสามารถระบายความร้อนได้ดีขึ้นเนื่องจากมีพื้นที่งานที่เพิ่มขึ้น

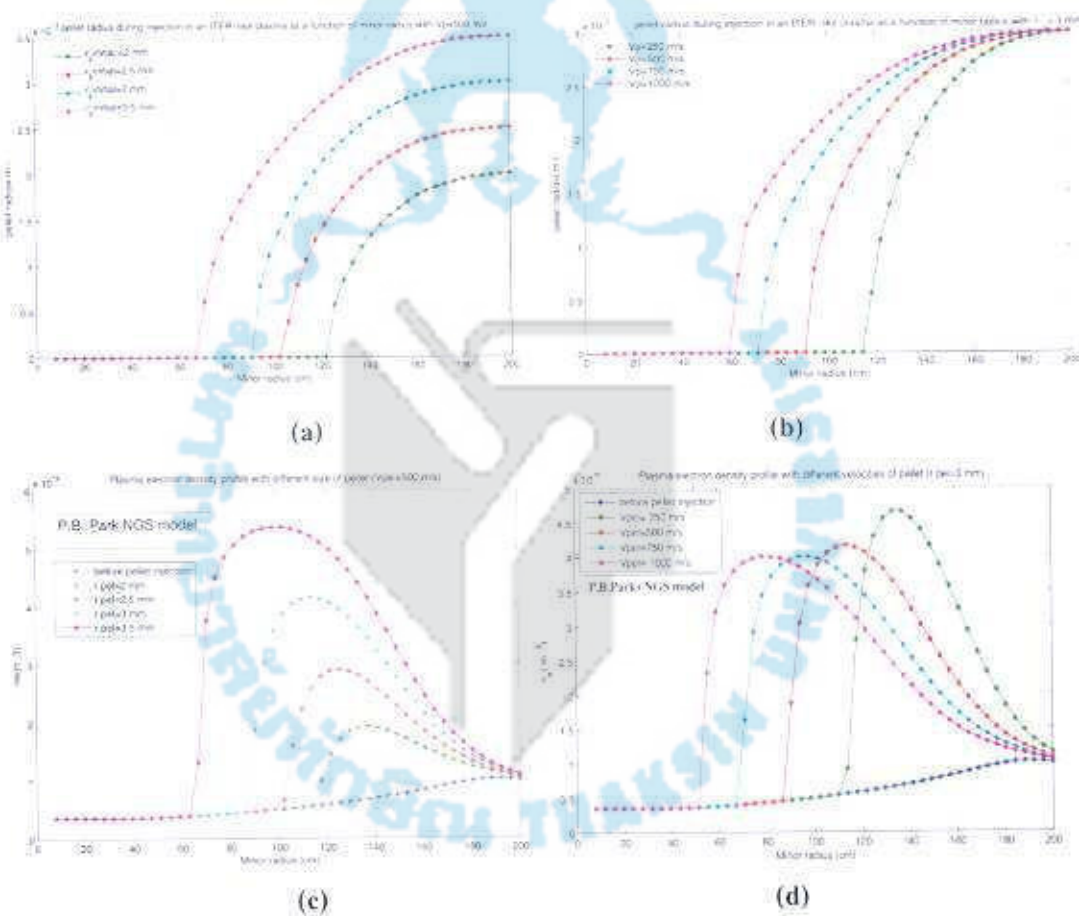


ภาพที่ 4.4 ผลกระทบของความเร็วของเชือเพลิงแท่งเที่ยงที่มีต่อความหนาแน่นของพลาสม่าอิเล็กตรอนจากการจำลองแบบโดยใช้แบบจำลอง NGS ของปาร์ค



ภาพที่ 4.5 ผลกระทบของความเร็วของเชือเพลิงแท่งเที่ยงที่มีต่ออุณหภูมิของพลาสม่าอิเล็กตรอนจากการจำลองแบบโดยใช้แบบจำลอง NGS ของปาร์ค

4.1.4 ความสัมพันธ์ระหว่างรัศมีของเชือเพลิงแท่งขึงขณะระดมเชือเพลิงและอัตราการเสียกร่อนแบบจำลองของปาร์คโดยการแบร์คขนาดและความเร็วของเชือเพลิงแท่ง ภาพที่ 4.6(a) แสดงความสัมพันธ์ระหว่างรัศมีของเชือเพลิงแท่งและอัตราการเสียกร่อน ในส่วนนี้รัศมีของเชือเพลิงเชือแข็งขณะใช้คิมเชือเพลิงผ่านพลาสม่าที่จุดต่างๆจากขอบด้านนอกไปถึงศูนย์กลาง การแบร์ครัศมี 2, 2.5, 3 และ 3.5 mm และความเร็วที่ 500 m/s โดยเชือเพลิงแท่งที่หัวจะถูกดูดซึมเข้าไปในรัศมี 2.5, 3 และ 3.5 mm แต่ความเร็วที่ 500 m/s โดยเชือเพลิงแท่งที่หัวจะถูกดูดซึมเข้าไปในรัศมี 2, 2.5 และ 3.5 mm แยกตามความเร็วที่ 500 m/s โดยเชือเพลิงแท่งที่หัวจะถูกดูดซึมเข้าไปในรัศมี 2, 2.5 และ 3.5 mm แยกตามความเร็วที่ 250, 500, 750, 1,000 m/s โดยที่รัศมีของเชือเพลิงแท่งคงที่ 3 mm. จากข้อมูลในตารางที่ 4.1 และ 4.2 ทำให้เราสามารถหาความหนาแน่นของอิเล็กตรอนที่เกิดสูงสุด ซึ่งจะมีอัตราการเสียกร่อนเกิดสูงสุดเมื่อรัศมีของเชือเพลิงแท่งลดลงเหลือประมาณ 63.2% โดยไม่ขึ้นอยู่กับความเร็วและขนาดของเชือเพลิงแท่งที่ใช้



ภาพที่ 4.6 กราฟแสดงความสัมพันธ์ระหว่างรัศมีของเชือเพลิงแท่งและอัตราการเสียกร่อนสูงสุดระหว่างเคลื่อนที่ผ่านรัศมีของเชือเพลิง

จะได้

$$\frac{dN_{\max}}{dt} = 1.12 \times 10^{16} \times T_e^{1.64} n_e^{0.333} r_p^{1.333} M_i^{-0.333} \quad \text{when } r_p = 0.632r_{p0} \quad (4.2)$$

จากเงื่อนไขเหล่านี้จึงสามารถหาตำแหน่งของจุดที่เกิดอัตราการเสียดกร่อนสูงสุดได้โดย การอินทิเกรตสมการ 2.94 จะได้

$$\int_{r=0.632r_{p0}}^0 r_p^{2/3} dr_p = \int_1^{1-\lambda/a_0} 5.58 \times 10^{-14} n_e^{1/3} T_e^{5/3} (-a_0 dx/v_p) \quad (4.3)$$

ตารางที่ 4.1 ความสัมพันธ์ระหว่างรัศมีของเชือเพลิงแข็งและความหนาแน่นอิเล็กตรอนสูงสุด ขณะที่เชือเพลิงแข็งมีความเร็วคงที่

| ความเร็วต้น (m/s) | รัศมีเริ่มต้น (mm) | รัศมีขยะเกิดอัตรา การเสียดกร่อนสูงสุด (mm) | $\frac{r_{initial}}{r_{peak}}$ | ความหนาแน่นของ อิเล็กตรอนสูงสุด (m^{-3}) | ตำแหน่งที่เกิดอัตรา การเสียดกร่อนสูงสุด (minor radius cm) |
|----------------------|-----------------------|--|--------------------------------|--|---|
| 500 | 3.5 | 2.22 | 0.634 | 5.25×10^{19} | 100 |
| 500 | 3.0 | 1.90 | 0.633 | 4.25×10^{19} | 114 |
| 500 | 2.5 | 1.58 | 0.632 | 3.00×10^{19} | 125 |
| 500 | 2.0 | 1.26 | 0.630 | 2.00×10^{19} | 135 |

ตารางที่ 4.2 ความสัมพันธ์ระหว่างรัศมีของเชือเพลิงแข็งและความหนาแน่นอิเล็กตรอนสูงสุด ขณะที่เชือเพลิงแข็งมีรัศมีคงที่

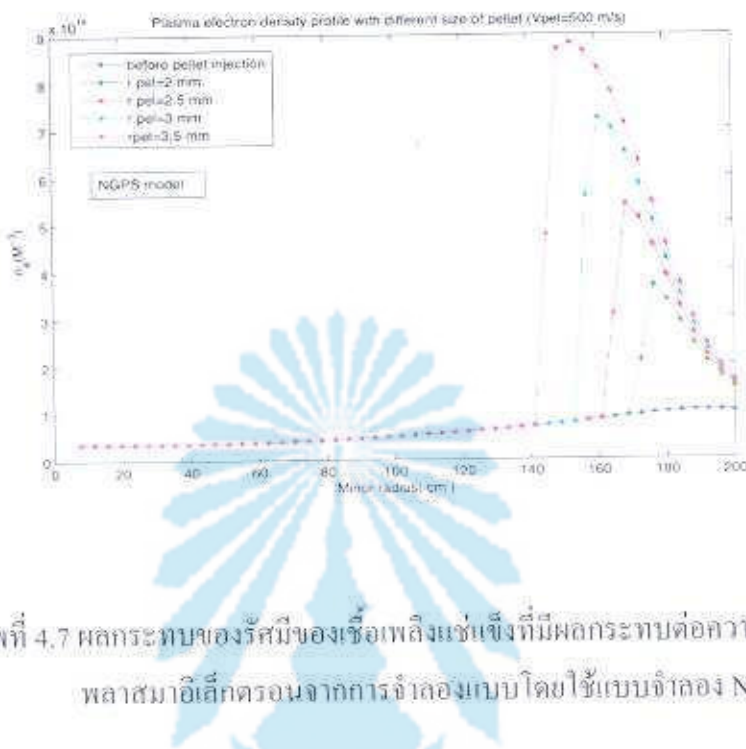
| ความเร็วต้น (m/s) | รัศมีเริ่มต้น (mm) | รัศมีขยะเกิดอัตราการ เสียดกร่อนสูงสุด (mm) | $\frac{r_{initial}}{r_{peak}}$ | ความหนาแน่นของ อิเล็กตรอนสูงสุด (m^{-3}) | ตำแหน่งที่เกิดอัตรา การเสียดกร่อนสูงสุด (minor radius cm) |
|----------------------|-----------------------|--|--------------------------------|--|---|
| 250 | 3.0 | 1.95 | 0.650 | 4.60×10^{19} | 137 |
| 500 | 3.0 | 1.90 | 0.633 | 4.25×10^{19} | 114 |
| 750 | 3.0 | 1.88 | 0.626 | 4.10×10^{19} | 92 |
| 1000 | 3.0 | 1.86 | 0.620 | 4.10×10^{19} | 76 |

4.2 ผลและอภิปรายผลการจำลองแบบโดยใช้แบบจำลองการเสียดกร่อนแบบ NGPS

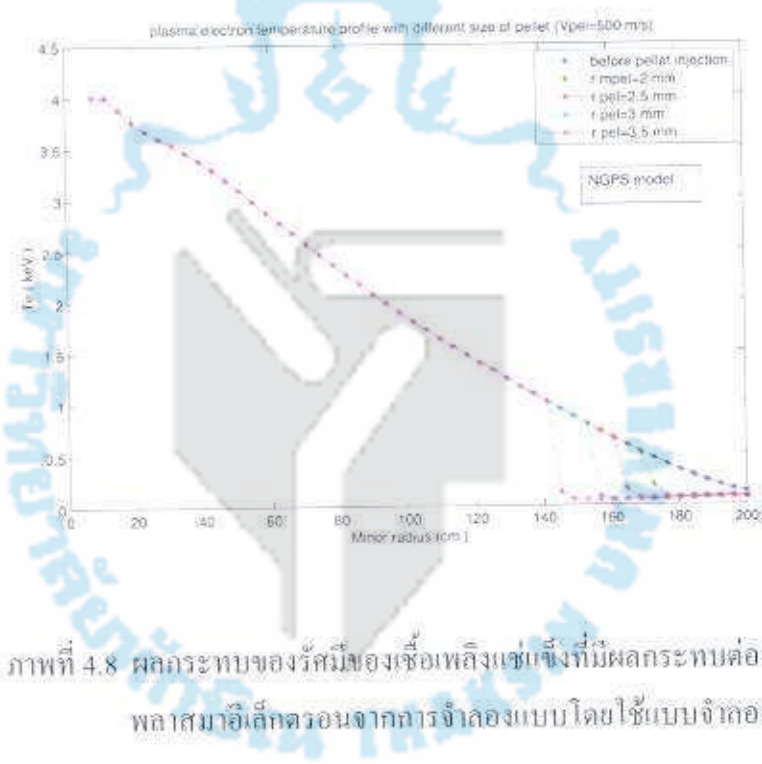
เป็นที่ทราบกันดีว่าแบบจำลอง NGPS เป็นแบบจำลองที่มีความซับซ้อนและยุ่งยากค่อนข้างมาก โดยทั่วไปแล้วแบบจำลอง NGPS จะอธิบายการเสียดกร่อนที่เกิดขึ้นจากการทำอันตรรศิรยา อันเนื่องมาจากพลาสนาและสนานแม่เหล็กที่เกิดขึ้น และการแยกแข่งแบบแมกнетิกของพลังงานอิเล็กตรอน เมื่อเทียบกับแบบจำลอง NGS แล้ว แบบจำลอง NGPS จะมีรายละเอียดทางพิสิกส์เกี่ยวกับ พลักซ์ความร้อนที่ทราบต่ำเมื่อเพลิงมากกว่า ผลลัพธ์ที่ได้จากการจำลองแบบโดยใช้แบบจำลอง NGPS ด้วยโปรแกรม BALDUR โดยมีรายละเอียดดังต่อไปนี้

4.2.1 ผลการจำลองแบบโดยการแบร์คิมของเชื้อเพลิงแทร็ฟฟิ้ง ในการจำลองแบบนี้จะมีการศึกษาค่าความหนาแน่น ของอิเล็กตรอนและอุณหภูมิของพลาสนา โดยที่ใช้เชื้อเพลิงแทร็ฟฟิ้งที่เกิดจากดิวเทอเรียมที่ความเร็ว m/s และมาร์คิมที่แตกต่างกันกือ 2, 2.5, 3, 3.5 mm โดยภาพที่ 4.7 และภาพที่ 4.8 แสดงความหนาแน่นของอิเล็กตรอนและอุณหภูมิของพลาสมาระหว่างการเติมเชื้อเพลิงแทร็ฟฟิ้งที่มีขนาดของรัศมีต่างกัน จากการจำลองแบบแสดงให้เห็นได้ว่าเมื่อรัศมีของเชื้อเพลิงแทร็ฟฟิ้งเพิ่มขึ้น ความหนาแน่นของอิเล็กตรอนหลังจากเติมเชื้อเพลิงแทร็ฟฟิ้งมีค่าเพิ่มขึ้น ในขณะที่อุณหภูมิของพลาสนาจะลดลงเนื่องมาจากการอุณหภูมิที่ค่อนข้างต่ำของเชื้อเพลิงแทร็ฟฟิ้งอย่างไรก็ตามเชื้อเพลิงแทร็ฟฟิ้งสามารถถabilize ไปได้ไกลยิ่งขึ้น เมื่อเพิ่มขนาดรัศมีเนื่องจากพลังงานจลน์ของเชื้อเพลิงแทร็ฟฟิ้งมีมากขึ้น ซึ่งผลที่ได้รับคล้ายกับแบบจำลองแบบ NGS แต่ระบบการทะลุทะลวงที่เกิดขึ้นน้อยกว่าแบบจำลองแบบ NGS

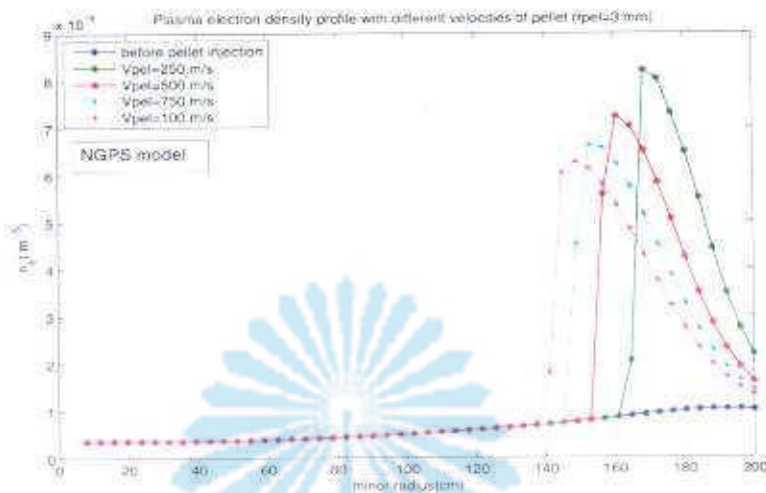
4.2.2 ผลการจำลองแบบโดยการแบร์คิมของเชื้อเพลิงแทร็ฟฟิ้ง ในการจำลองแบบนี้จะมีการศึกษาค่าความหนาแน่นและอุณหภูมิของพลาสนาอิเล็กตรอน โดยที่ใช้เชื้อเพลิงแทร็ฟฟิ้งที่ทำจากดิวเทอเรียมที่รัศมี 3 mm. จะถูกทำให้มีความเร็วในการเติมเชื้อเพลิงที่ $250, 500, 750, 1,000 m/s$ ภาพที่ 4.9 และภาพที่ 4.10 แสดงความหนาแน่นของอิเล็กตรอนของพลาสมาระหว่างที่เติมเชื้อเพลิงแทร็ฟฟิ้งด้วยความเร็วที่ต่างกัน จากการจำลองแบบจะแสดงให้เห็นได้ว่าเมื่อความเร็วของเชื้อเพลิงแทร็ฟฟิ้งเพิ่มขึ้นความหนาแน่นของอิเล็กตรอนในพลาสมาก่อนข้างคงที่ แต่อุณหภูมิของพลาสนาจะลดลงเนื่องมาจากการอุณหภูมิที่ต่ำของเชื้อเพลิงแทร็ฟฟิ้ง อย่างไรก็ตามเมื่อความเร็วของเชื้อเพลิงแทร็ฟฟิ้งเพิ่มขึ้นเชื้อเพลิงแทร็ฟฟิ้งสามารถถabilize หลังจากเติมเชื้อเพลิงแทร็ฟฟิ้งเพิ่มขึ้นเนื่องจากพลังงานจลน์ที่เพิ่มขึ้นแต่ระบบการทะลุทะลวงที่เกิดขึ้นน้อยกว่าแบบจำลองแบบ NGS



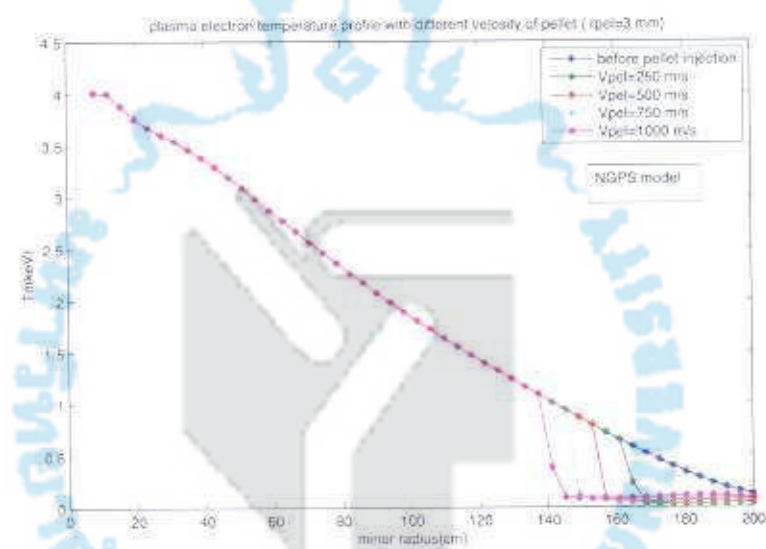
ภาพที่ 4.7 ผลกราฟของรัศมีของเชื้อเพลิงชั่วเบี้ยงที่มีผลกระบวนการต่อความหนาแน่นของพลาสมาระดับต่ำจากการจัดการแบบโดยใช้แบบจำลอง NGPS



ภาพที่ 4.8 ผลกราฟของรัศมีของเชื้อเพลิงชั่วเบี้ยงที่มีผลกระบวนการต่ออุณหภูมิของพลาสมาระดับต่ำจากการจัดการแบบโดยใช้แบบจำลอง NGPS



ภาพที่ 4.9 ผลกราฟทบทองความเร็วของเชือเพลิงแท่งที่มีผลกระทบต่อความหนาแน่นของพลasma อิเล็กตรอนจากการจ้าดองแบบโดยใช้แบบจำลอง NGPS



ภาพที่ 4.10 ผลกราฟทบทองความเร็วของเชือเพลิงแท่งที่มีผลกระทบต่ออุณหภูมิของพลasma อิเล็กตรอนจากการจ้าดองแบบโดยใช้แบบจำลอง NGPS

บทที่ 5

สรุปและข้อเสนอแนะ

โดยภาพรวมแล้วผลจากการใช้การจำลองแบบของแบบจำลองทั้งสองรูปแบบที่มีรูปแบบการเสียดกร่อนที่แตกต่างกัน คือ แบบ NGS และ NGPS โดยการแปรค่าทั้งขนาดเม็ดเชื้อเพลิงและความเร็วจะเห็นได้อย่างชัดเจนว่าการยิงเม็ดเชื้อเพลิงดิวทอเรียม สามารถเพิ่มความหนาแน่นให้กับพลาสma นั่นหมายถึงวิธีการเติมเชื้อเพลิงโดยใช้เชื้อเพลิงแบบแข็งทำให้เกิดประสิทธิภาพของพลาสma ดีขึ้น

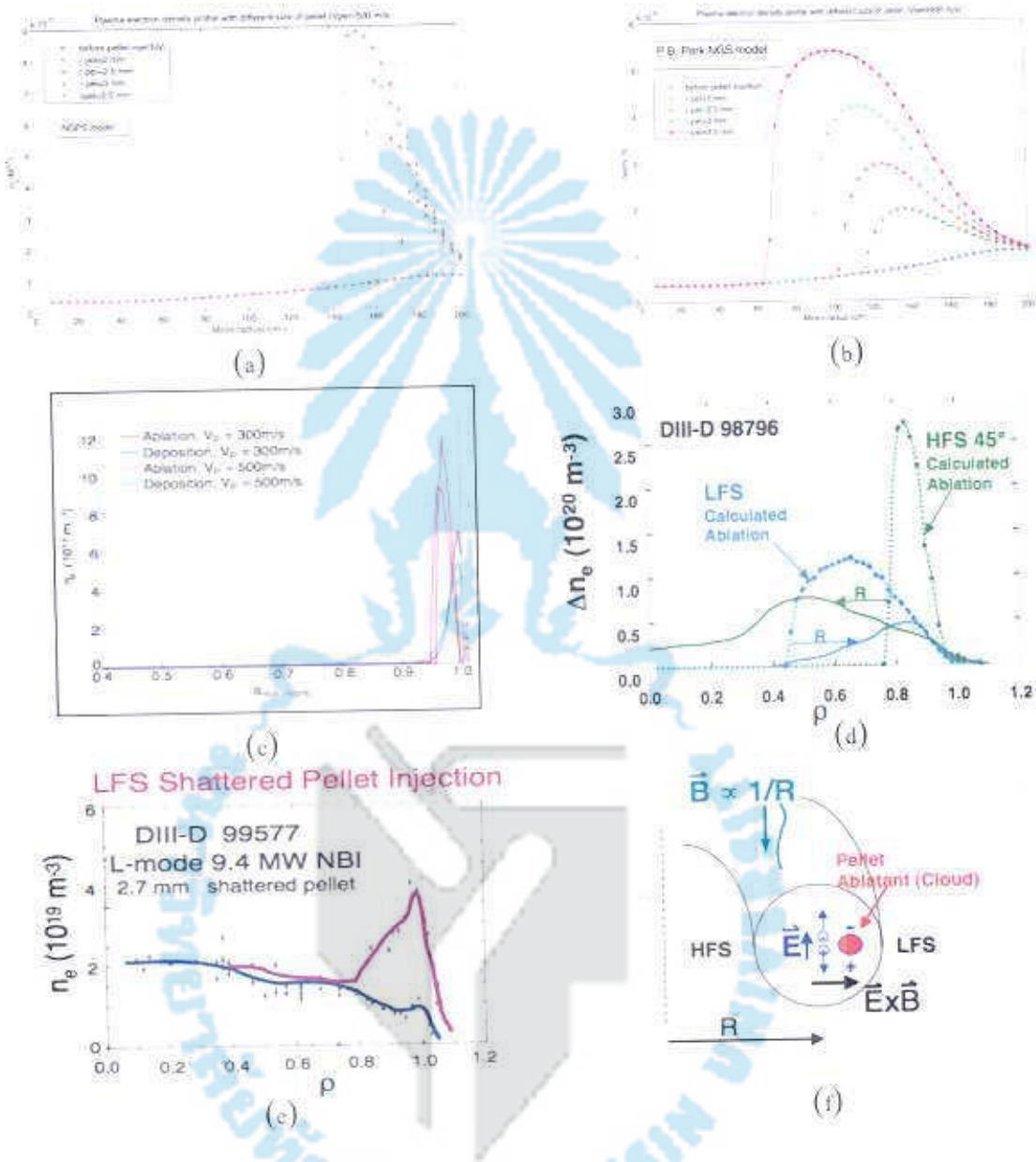
5.1 ผลกระทบของขนาดและความเร็วของเชื้อเพลิงแข็งที่มีต่อแบบจำลอง

จากการจำลองแบบแสดงให้เห็นในแนวทางเดียวกันทั้งสองแบบจำลองในส่วนของความสัมพันธ์ของขนาดของเชื้อเพลิงแข็งและความเร็วเมื่อขนาดของเชื้อเพลิงแข็งเพิ่มขึ้นขนาดใหญ่ขึ้น ความหนาแน่นของพลาสma อิเล็กตรอนก็จะเพิ่มขึ้นหลังจากเชื้อเพลิงแข็งเพิ่มขึ้นเชื้อเพลิงแข็งได้ถูกเติมลงไปในเครื่องปฏิกรณ์ในส่วนของความเร็วนี้ เมื่อความเร็วของเชื้อเพลิงแข็งเพิ่มขึ้นเชื้อเพลิงแข็งก็จะทะลุทะลวงเข้าไปในพลาสma ได้ถูกขึ้นเนื่องจากพลังงานจลน์ที่เพิ่มขึ้น ส่วนอุณหภูมิของพลาสma อิเล็กตรอนนี้จะลดลงเมื่อเชื้อเพลิงแข็งถูกใช้ จากการพิจารณาผลของการจำลองแบบเชื้อเพลิงแข็ง ขนาดความเร็วในการเติม 500 m/s เป็นขนาดที่เหมาะสมที่สุดที่ควรนำมาใช้ในเครื่องปฏิกรณ์นิวเคลียร์ฟิวชันแบบโทคาแมก ITER เพราะว่าสามารถช่วยเพิ่มความหนาแน่นของพลาสma และอุณหภูมิของพลาสma อิเล็กตรอนลดลงไม่นานนัก

5.2 การทะลุทะลวงและรูปร่างของโปรไฟล์อัตราการเสียดกร่อนที่มีต่อแบบจำลอง

จากการจำลองแบบรูปร่างของอัตราการเสียดกร่อนและระยะการทะลุทะลวงของเชื้อเพลิงแข็งของแบบจำลองการเสียดกร่อนทั้งสองแบบให้ผลแตกต่างกัน การทะลุทะลวงจากแบบจำลอง NGS ค่อนข้างจะสอดคล้องกับผลการทดลองแต่อย่างไรก็ตามรูปร่างโปรไฟล์ของอัตราการเสียดกร่อนแบบ NGPS สามารถเข้ากันได้ดีกับผลการทดลองดังนั้นแบบจำลองที่เหมาะสมน่าจะเกิดจากการรวมกันของข้อได้เปรียบของแบบจำลองทั้งสองแบบนี้และแบบจำลองที่พัฒนาขึ้นมาใหม่ควรจะรวมเอาผลจากการเดือนคำแห่งน่องจากความหนาแน่นของสนามแม่เหล็กที่ไม่

สมม์าเสมอ เพื่อที่จะนำไปใช้แบบจำลองที่สอดคล้องกับผลการทดลองมากที่สุด (สามารถศูนย์การจำลองแบบ NGS, NGPS และผลจากการทดลองได้ในภาพที่ 5.1)



ภาพที่ 5.1 ผลของ การเรียดกรวยจากการจำลองแบบและการทดลอง

- ความหนาแน่นของพลาสม่าอิเล็กตรอนที่ค่านวณ ได้จากแบบจำลอง LFS NGPS BALDUR
- ความหนาแน่นของพลาสม่าอิเล็กตรอนที่ค่านวณ ได้จากแบบจำลอง LFS NGS BALDUR
- การเดือนตัวหน่วยของช่องเพลิงเชื้อที่ความเร็วแตกต่างกันที่ค่านวณ ได้จากแบบจำลอง LFS NGPS JETTO

- (d) การเลื่อนตำแหน่งของเชือเพลิงแซ่เบ็งจากการคำนวณ เทียบกับผลการทดลองในเครื่องปฏิกรณ์ DIII-D
- (e) ผลจากการทดลองเดิมเชือเพลิงแซ่เบ็งจาก LFS ในเครื่องปฏิกรณ์ DIII-D
- (f) ผลจากการเลื่อนตำแหน่งโดยอิทธิพลของ $\vec{E} \times \vec{B}$





បរទាន់ករណ

1. The United Nations. Retrieved December 15, 2009, from <http://www.un.org>.
2. U.S.Energy Information Administration (EIA). Retrieved December 15, 2009, from <http://www.eia.doe.gov/emeu/international/contents.html>.
3. Stoft S., et al. Retrieved December 14, 2009, from <http://zfacts.com/>.
4. Campbell, C.J., Laherrére J.H. (1998). "The end of cheap oil," *Sci Am.* 278 (3), 60-65.
5. International Thermonuclear Experimental Reactor (ITER). Retrieved December 15, 2009, from <http://www.iter.org>.
6. Conn, R.W. et al. (1990). "Economic safety and environmental prospects of fusion reactors," *Nucl. Fusion.* 30(9), 1919-1934.
7. Max-Planck-Institut für Plasmaphysik. Retrieved December 17, 2009, from http://www.ipp.mpg.de/de/for/projekte/w7x/for_proj_w7x.html.
8. Princeton Plasma Physics Laboratory. Retrieved January 3, 2010, from <http://www.pppl.gov>.
9. Karlsruhe Institute of Technology. Retrieved January 3, 2010, from <http://iwrwww1.fzk.de/summerschool-fusion/>.
10. Kaufmann, M. (1986). "Review on pellet fuelling," *Plasma Phys. Control. Fusion.* 28(9), 1341-1352.
11. Lengyel, L.L. (1989). "Conference and Symposium: Pellet. Injection and Toroidal Confinement," *Nucl. Fusion.* 29(1), 325- 337.
12. Chang, C.T. et al. (1991). "Pellet-plasma interactions in tokamaks," *Phys. Rep.* 4(1), 143-145.
13. Nagami, M. (1993). "Pellet injection," *Nucl. Fusion.* 33(1), 1583-1587.
14. Milora, S.L., et al. (1995). "Pellet fuelling," *Nucl. Fusion.* 35(6), 657-754.
15. Milora, S.L. (1981). "Review of Pellet Fueling," *J Fusion Energ.* 1(1), 15-48.
16. Milora, S.L. (1989). "Review of Hydrogen Pellet Injection. Technology for Plasma Fueling Applications," *J. Vac. Sci. Technol.* 7(1), 925-928.
17. Combs, S.K. (1993). "Pellet injection technology," *Rev Sci. Instrum.* 64(8), 1679-1698.
18. Chang, C.T. et al. (1980). "The feasibility of pellet re-fuelling of a fusion reactor," *Nucl. Fusion.* 20(2), 859-893.

19. Parks, P.B., Turnbull, R.J. (1978). "Effect of transonic flow in ablation cloud on the lifetime of a solid hydrogen pellet in a plasma," *Phys. Fluids.* 21(3), 1735-1741.
20. Foster, C.A., et al. (1977). "ORNL Neutral Gas Shielding Model for Pellet-Plasma Interactions," *Oak Ridge Natl Lab. Rep. ORNL/TM-5776.*
21. Milora, S.L., Foster, C.A. (1978). "Pellet Fueling Development at Oak Ridge National Laboratory," *IEEE Trans. Plasma Sci.* 6(1), 578.
22. Houlberg, W.A., et al. (1979). "PELLET -A Computer Routine for Modeling Pellet Fueling in Tokamak Plasmas," *Oak Ridge Natl Lab. Rep. ORNL/TM-6549.*
23. Milora, S.L. (1983). "New Algorithm for Computing the Ablation of Hydrogenic Pellets in Hot Plasmas," *Oak Ridge Natl Lab. Rep. ORNLITM-8616.*
24. Parks, P.B., et al. (1977). *Nucl. Fusion.* 17(1), 539.
25. Parks, P.B., Turnbull, R.J. (1978). "Effect of transonic flow in ablation cloud on the lifetime of a solid hydrogen pellet in a plasma," *Phys. Fluids.* 21(3), 1735-1741.
26. Felber, F.S., et al. (1979). "Effects of atomic processes on fuel pellet ablation in a thermonuclear plasma," *Nucl. Fusion.* 19, 1061-1072.
27. Parks, P.B. (1977). "Model of an Ablating Solid Hydrogen Pellet in a Plasma. Thesis PhD," Urbana Champaign : Univ. of Illinois.
28. Kuteev, B.V., Umov, A.P., Tsendin, L.D. (1985). "Two-dimensional kinetic model for the evaporation of hydrogen pellets in a tokamak," *Sov. J. Plasma Phys.* 11(4), 236-240.
29. Pegourie, B., M, Dubois. (1989). *Nucl. Fusion.* 29, 745.
30. Kuteev, B.V., et al. (1984). *Sov. J. Plasma Phys.* 10, 675.
31. Chang, C.T., Hansen, F.R. (1987). "In Controlled Fusion and Plasma Physics," *Eur. Phys.* 11(111), 1208.
32. Ishizaki, R.,et al. (2004). "Nonspherical ablation flow (axial symmetry)," *J. Plasma Phys.* 11, 236.
33. MacAulay, A.K. (1994). "Geometrical, kinetic and atomic physics effects in a two dimensional time dependent fluid simulation of ablating fuel pellets," *Nucl.Fusion.* 34(1), 43-62.
34. Rozhansky, V.A. (1989). *Sov. J. Plasma Phys.* 15, 368.
35. Parks, P.B. (1996). "Theory of pellet cloud oscillation striations," *Plasma Phys. Controlled Fusion.* 38(4), 571-591.
36. Parks, P.B., Rosenbluth, M.N. (1998). *Phys. Plasmas.* 5, 1380.

37. Kaufmann, M., et al. (1986). *Nucl. Fusion*. 26, 171.
38. Houlberg, W.A., et al. (1988). *Nucl. Fusion*. 28, 595.
39. Garzotti, L., et al. (1997). *Nucl. Fusion*. 37, 1167.
40. Kuteev, B.V. (1995). *Nucl. Fusion*. 35, 431.
41. Pegourie, B. (1993). "Pellet ablation studies on Tore Supra," *Nucl. Fusion*. 33(4), 591-600.
42. Lang, P.T., et al. (1996, October). "Pellet Injection into ASDEX Upgrade Plasmas with Improved Scenario from the Magnetic High-Field Side," Max-Planck-Institut für Plasmaphysik Report, IPP 1/304.
43. Peourie, B., Garzotti, L. (1997). "Pellet fuelling efficiency as a function of the launching location," In Conference Controlled Fusion and Plasma Physics (Proc. 24th Eur. Conf. Berchtesgaden, 1997). Geneva : European Physical Society.
44. Rozhansky, V., Veselova, I., Voskoboinikov S. (1995). "Evolution and stratification of a plasma cloud surrounding a pellet," *Plasma Phys. Control. Fusion*. 37(4), 399.
45. Buchl, K., et al. (1987). *Nucl. Fusion*. 27(1), 1939.
46. Watkins, M.L., et al. (1987). "In Controlled Fusion and Plasma Physics," In 14th Eur. Conf, 201. Madrid : European Physical Society.
47. Houlberg, W.A., et al. (1989). "JET/USDOE Pellet Collaboration Team, in Pellet Injection and Toroidal Confinement," 217. Vienna : IAEA.
48. Baylor, L.R., et al. (1997). *Nucl. Fusion*. 37, 445.
49. Auriemma, F., et al. (2007). "Interaction of pellets with plasma in standard and advanced regimes at TPE." In 34th EPS Conf, 1-4. 2 - 6 July 2007. Warsaw : ECA.

ประวัติย่อผู้วิจัย

| | |
|---------------------|--|
| ชื่อ – ชื่อสกุล | ว่าที่ร้อยตรีพลกฤษณ์ คล้ายวิตกัธร |
| วันเดือนปีเกิด | 15 ธันวาคม 2525 |
| สถานที่เกิด | จังหวัดพัทลุง |
| สถานที่อยู่ปัจจุบัน | 4 หมู่ 4 ต. โนนดด้วน อ.ควนขุน จ.พัทลุง 93110 |
| ประวัติการศึกษา | |
| พ.ศ. 2548 | วิศวกรรมศาสตรบัณฑิตสาขาวิศวกรรมเครื่องกล |
| | มหาวิทยาลัยเทคโนโลยีพระจอมเกล้าพระนครเหนือ |
| | กรุงเทพมหานคร |
| พ.ศ. 2552 | วิทยาศาสตรมหาบัณฑิตสาขาวิชาพิสิกส์ |
| | มหาวิทยาลัยทักษิณ |
| | จังหวัดสงขลา |

